

Appendix 4.2 : 居住環境における空間線量率の測定

○調査実施居住施設の詳細

家屋 A

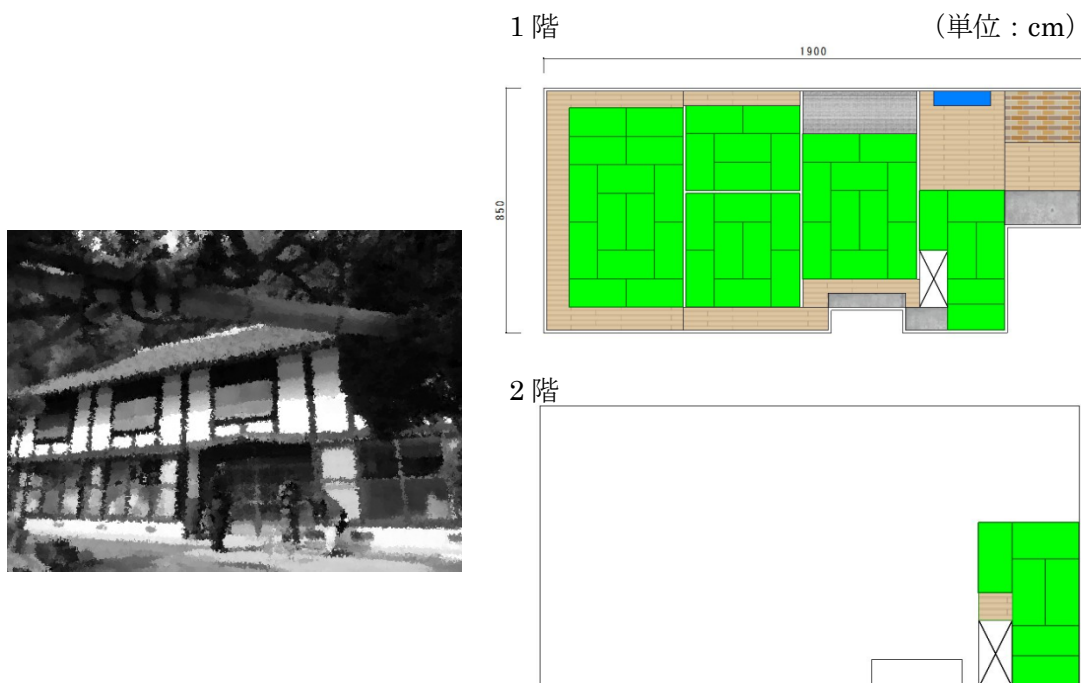


図1 家屋 A (木造 2 階建) の外観と外形寸法



図2 家屋 A の周辺環境

家屋 A の裏手は急こう配の法面（竹林、雑木林）となっており、家屋の正面には道路を挟んで田んぼが広がっている。家屋と道路の間は斜面で、田んぼの方が家屋より 1 段低い配置となっている。このような配置により、1 階の床面に近い位置では田んぼを直接望むことができない。裏手の竹林、雑木林は、家屋に向かってそそり出ているため、家屋 A の居住環境には、周辺環境からの落ち葉を通じた放射性物質の移行（流入）がある。

家屋 B

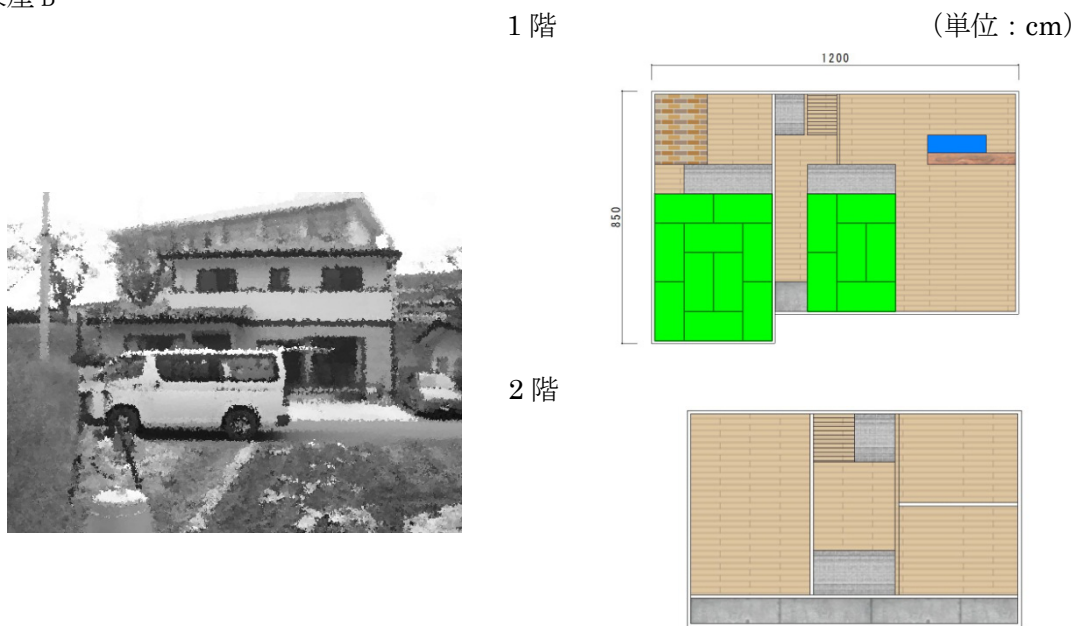


図 3 家屋 B（プレハブ 2 階建）の外観と外形寸法



図4 家屋Bの周辺環境

家屋Bの裏手10mほど離れた位置には急こう配の法面（こう配の上には文教施設）があり、家屋の正面右手には畑が広がっている。家屋の20m以内に隣家が1軒存在する。

家屋C



図5 家屋C（木造2階建）の外観と外形寸法



図6 家屋Cの周辺環境

家屋Cの裏手は急こう配の法面（雑木林）となっており、家屋の正面には田んぼと畑が広がっている。裏手の雑木林は、家屋に向かってそそり出ているため、家屋Cの居住環境には、周辺環境からの落ち葉を通じた放射性物質の移行（流入）がある。

家屋D

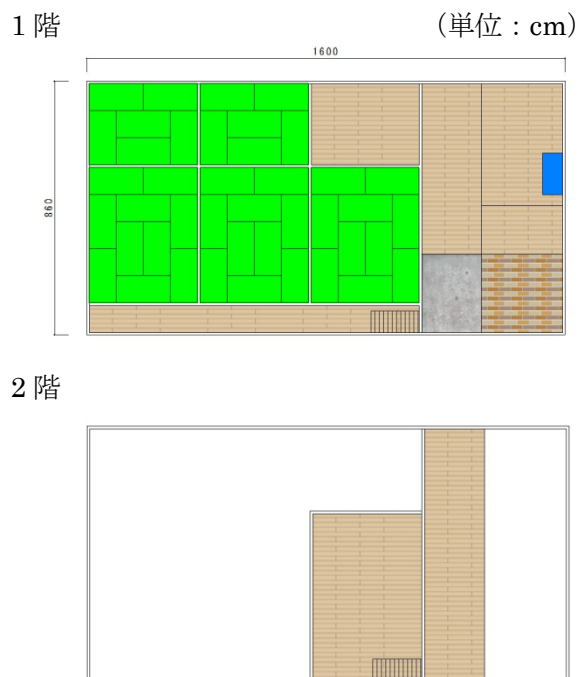


図7 家屋D（木造2階建）の外観と外形寸法



図8 家屋Dの周辺環境

家屋Dは山の中腹に立地しており、裏手は急こう配の法面（雑木林）、正面も約10 m幅の前庭の先は（下り）急こう配となっている。裏手の雑木林は、家屋に向かってそそり出ているため、家屋Dの居住環境には、周辺環境からの落ち葉を通じた放射性物質の移行（流入）がある。

家屋E

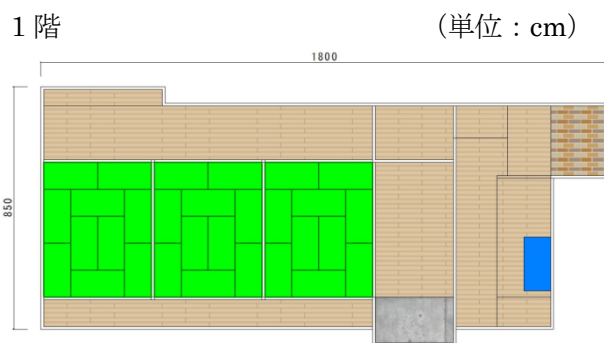


図9 家屋E（木造平屋建）の外観と外形寸法



図 10 家屋 E の周辺環境

家屋 E の裏手は急こう配の法面（雑木林）となっており、家屋の正面には畑が広がっている。背面の雑木林は、家屋に向かってそそり出ているため、家屋 E の居住環境には、周辺環境からの落ち葉を通じた放射性物質の移行（流入）がある。

文教施設 A

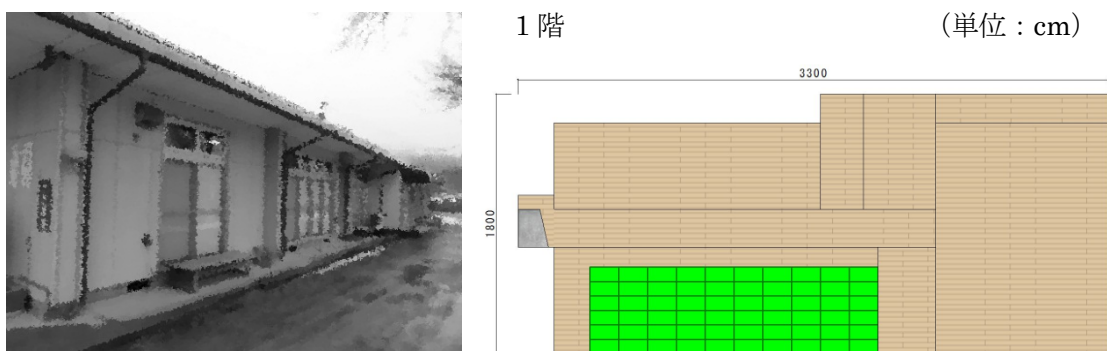


図 11 文教施設 A（プレハブ平屋建）の外観と外形寸法



図 12 文教施設 A の周辺環境

文教施設 A の裏手は急こう配の法面（雑木林）となっており、正面も約 10 m 幅の未舗装道路の先は（下り）急こう配となっている。裏手の雑木林は、施設に向かってそそり出ているため、文教施設 A の居住環境には、周辺環境からの落ち葉を通じた放射性物質の移行（流入）がある。

文教施設 B



図 13 文教施設 B (コンクリート造 2 階建) の外観と外形寸法

文教施設 B は高台に立地しており、周辺は急こう配の法面となっている。正面には校庭が広がっており、正面左手には体育館と文教施設がある。施設は縦・横 50 m を超す大きさで、コンクリート造の現代風な作りとなっている。しかし、施設には雨どいが設置されておらず、雨水は屋根の傾いた方向に流れていく。そのため、施設が大きいこともあり、施設の正面、施設の脇、中庭では校庭と比べて放射性物質の沈着量が高くなっている。



図 14 文教施設 B の周辺環境

商工施設 A

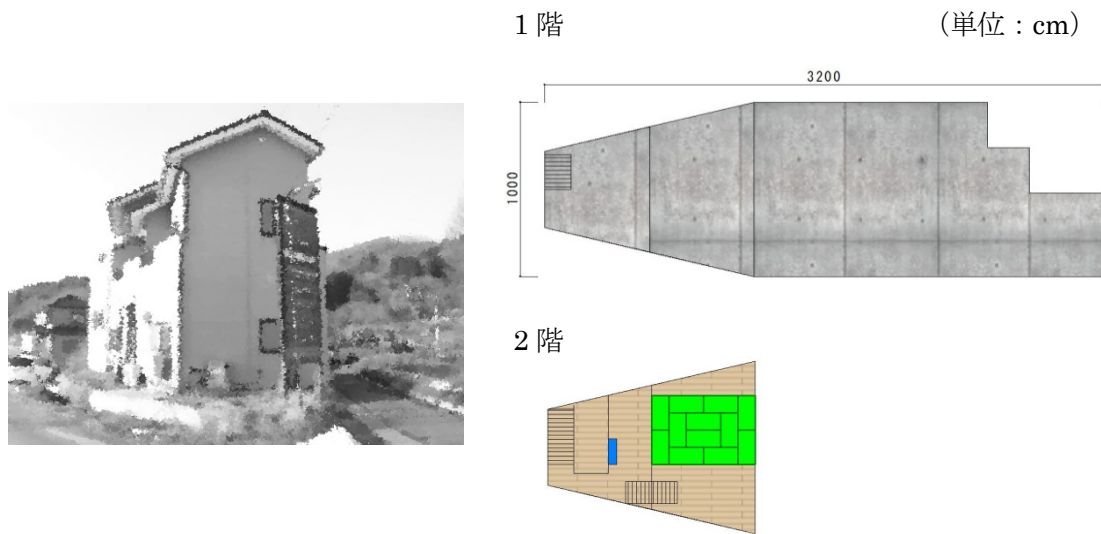


図 15 商工施設 A (コンクリート造 2 階建) の外観と外形寸法

商工施設 A の正面は道路に面しており、道路の向かいは急こう配の法面となっている。また、施設の裏手には田んぼが広がっている。



図 16 商工施設 A の周辺環境

商工施設 B

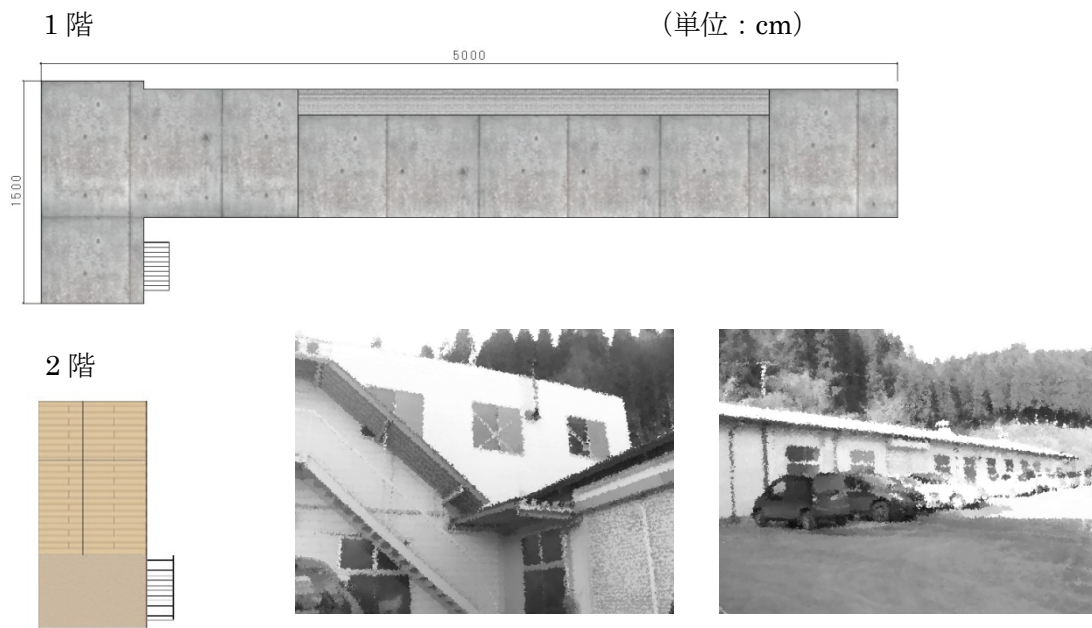


図 17 商工施設 B (プレハブ 2 階建) の外観と外形寸法



図 18 商工施設 B の周辺環境

商工施設 B の裏手は急こう配の法面（雑木林）となっており、正面は緩やかな傾斜となっている。背面の雑木林は、施設に向かってそそり出ているため、商工施設 B の居住環境には、周辺環境からの落ち葉を通じた放射性物質の移行（流入）がある。

○in-situ 測定に使用した Ge 検出器の特性

環境 γ 線場では、 γ 線があらゆる方向から検出器に入射する。地上 1m 高さにおける γ 線のフラックス分布を図 19 に示す。

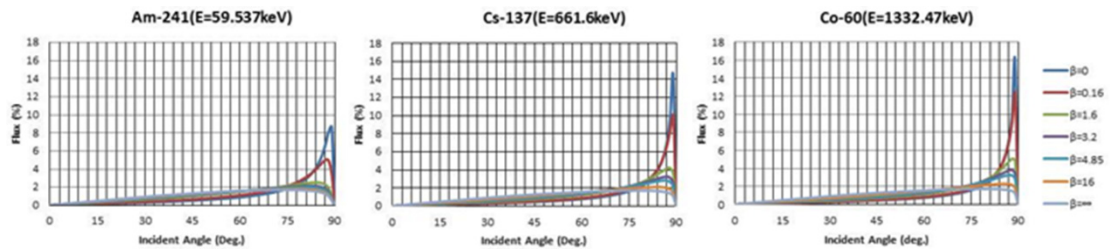


図 19 環境 γ 線場での地上 1m における γ 線のフラックス分布

したがって、in-situ 測定の解析を行う上では検出器固有の方向依存性を明らかにしておく必要がある。in-situ 測定に使用した Ge 検出器の方向依存性を図 20 に示す。

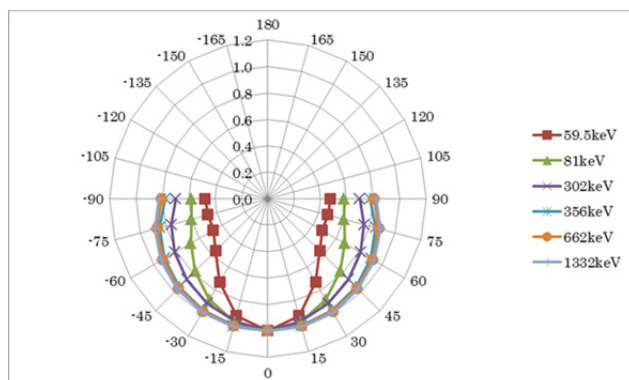


図 20 in-situ 測定に使用した Ge 検出器の方向依存性

○校正パラメータ

Ge 検出器には固有の方向依存性あるため、in-situ 測定に使用した Ge 検出器の方向依存性に関する補正係数を表 21 に示す。

表 21 in-situ 測定に使用した Ge 検出器の方向依存性に関する補正係数

| E (keV) | β =0.16 | β =0.32 | β =0.48 | β =0.64 | β =0.8 | β =1.6 | β =3.2 | β =5 | β =10 | β =16 | β =20 | β =30 | β =50 |
|---------|------------------|------------------|------------------|------------------|-----------------|-----------------|-----------------|---------------|----------------|----------------|----------------|----------------|----------------|
| 59.537 | 0.537 | 0.545 | 0.548 | 0.551 | 0.553 | 0.560 | 0.568 | 0.573 | 0.579 | 0.584 | 0.588 | 0.591 | 0.597 |
| 80.997 | 0.601 | 0.609 | 0.613 | 0.616 | 0.618 | 0.624 | 0.633 | 0.637 | 0.644 | 0.648 | 0.653 | 0.656 | 0.661 |
| 302.85 | 0.800 | 0.808 | 0.811 | 0.815 | 0.816 | 0.822 | 0.831 | 0.835 | 0.840 | 0.845 | 0.850 | 0.852 | 0.858 |
| 356 | 0.815 | 0.824 | 0.827 | 0.830 | 0.832 | 0.837 | 0.847 | 0.850 | 0.856 | 0.860 | 0.865 | 0.867 | 0.873 |
| 475.35 | 0.839 | 0.848 | 0.850 | 0.853 | 0.855 | 0.860 | 0.870 | 0.873 | 0.878 | 0.882 | 0.887 | 0.889 | 0.895 |
| 563.23 | 0.850 | 0.859 | 0.861 | 0.864 | 0.866 | 0.871 | 0.880 | 0.883 | 0.888 | 0.892 | 0.898 | 0.899 | 0.904 |
| 569.32 | 0.851 | 0.860 | 0.862 | 0.865 | 0.866 | 0.871 | 0.881 | 0.884 | 0.889 | 0.892 | 0.898 | 0.900 | 0.905 |
| 604.7 | 0.854 | 0.863 | 0.865 | 0.868 | 0.870 | 0.874 | 0.884 | 0.887 | 0.892 | 0.895 | 0.901 | 0.903 | 0.908 |
| 661.66 | 0.859 | 0.867 | 0.870 | 0.873 | 0.874 | 0.879 | 0.888 | 0.891 | 0.896 | 0.899 | 0.905 | 0.907 | 0.912 |
| 795.85 | 0.866 | 0.875 | 0.877 | 0.880 | 0.881 | 0.886 | 0.895 | 0.898 | 0.902 | 0.906 | 0.911 | 0.913 | 0.918 |
| 801.93 | 0.867 | 0.875 | 0.877 | 0.880 | 0.882 | 0.886 | 0.895 | 0.898 | 0.902 | 0.906 | 0.912 | 0.913 | 0.918 |
| 884.67 | 0.869 | 0.878 | 0.880 | 0.883 | 0.884 | 0.888 | 0.898 | 0.900 | 0.905 | 0.908 | 0.914 | 0.915 | 0.920 |
| 1038.6 | 0.873 | 0.881 | 0.883 | 0.886 | 0.887 | 0.891 | 0.900 | 0.903 | 0.907 | 0.910 | 0.916 | 0.917 | 0.922 |
| 1167.9 | 0.874 | 0.883 | 0.884 | 0.887 | 0.888 | 0.892 | 0.901 | 0.903 | 0.907 | 0.910 | 0.916 | 0.917 | 0.922 |
| 1332.4 | 0.874 | 0.883 | 0.884 | 0.887 | 0.888 | 0.892 | 0.901 | 0.903 | 0.906 | 0.909 | 0.916 | 0.916 | 0.921 |
| 1365.2 | 0.874 | 0.883 | 0.884 | 0.887 | 0.888 | 0.891 | 0.901 | 0.903 | 0.906 | 0.909 | 0.915 | 0.916 | 0.920 |

また、環境 γ 線場は、人工放射性核種および天然放射性核種からの γ 線が混在した場である。したがって、解析を行う上では人工放射性核種および天然放射性核種に対する換算係数が必要となる。人工放射性核種に対する換算係数を表 22 に示す。

表 22 人工放射性核種に対する換算係数

| | Cs-137 E=661.66 | Cs-134 E=475.35 | Cs-134 E=563.23 | Cs-134 E=569.32 | Cs-134 E=604.70 | Cs-134 E=795.85 | Cs-134 E=801.93 | Cs-134 E=1038.6 | Cs-134 E=1167.9 | Cs-134 E=1365.2 | Ag-110m E=884.67 |
|--|--------------------|--------------------|--------------------|--------------------|--------------------|--------------------|--------------------|--------------------|--------------------|--------------------|---------------------|
| Emission Rate (%) | 85.04 | 1.465 | 8.385 | 15.43 | 97.56 | 85.44 | 8.734 | 1.001 | 1.805 | 3.044 | 72.8 |
| Peak Detection Efficiency N_p/Φ | 4.52 | 6.06 | 5.21 | 5.16 | 4.9 | 3.84 | 3.82 | 3.04 | 2.74 | 2.38 | 3.50 |
| Correction factor N_p/N_0 | β | | | | | | | | | | |
| | 0.16 | 0.859 | 0.839 | 0.850 | 0.851 | 0.854 | 0.866 | 0.867 | 0.873 | 0.874 | 0.869 |
| | 0.32 | 0.867 | 0.848 | 0.859 | 0.860 | 0.863 | 0.875 | 0.875 | 0.881 | 0.883 | 0.878 |
| | 0.64 | 0.873 | 0.853 | 0.864 | 0.865 | 0.868 | 0.880 | 0.880 | 0.886 | 0.887 | 0.883 |
| | 1.6 | 0.879 | 0.860 | 0.871 | 0.871 | 0.874 | 0.886 | 0.886 | 0.891 | 0.892 | 0.888 |
| | 3.2 | 0.888 | 0.870 | 0.880 | 0.881 | 0.884 | 0.895 | 0.895 | 0.900 | 0.901 | 0.896 |
| | 10 | 0.896 | 0.878 | 0.888 | 0.889 | 0.892 | 0.902 | 0.902 | 0.907 | 0.907 | 0.906 |
| | 20 | 0.905 | 0.887 | 0.898 | 0.898 | 0.901 | 0.911 | 0.912 | 0.916 | 0.916 | 0.915 |
| 50 | 0.912 | 0.895 | 0.904 | 0.905 | 0.908 | 0.918 | 0.918 | 0.922 | 0.922 | 0.920 | |
| Flux per Unit Activity Concentration Φ/S (Photon/cm ² sec/Ci/km ²) | β | | | | | | | | | | |
| | 0.16 | 5.34 | 0.0891 | 0.522 | 0.963 | 6.14 | 5.57 | 0.569 | 0.0675 | 0.123 | 0.212 |
| | 0.32 | 4.65 | 0.0776 | 0.455 | 0.839 | 5.36 | 4.87 | 0.499 | 0.0592 | 0.106 | 0.187 |
| | 0.64 | 3.97 | 0.0661 | 0.389 | 0.716 | 4.58 | 4.18 | 0.428 | 0.0510 | 0.0933 | 0.161 |
| | 1.6 | 3.06 | 0.0508 | 0.300 | 0.554 | 3.54 | 3.26 | 0.334 | 0.0399 | 0.0735 | 0.127 |
| | 3.2 | 2.37 | 0.0393 | 0.234 | 0.430 | 2.76 | 2.56 | 0.262 | 0.0316 | 0.0585 | 0.101 |
| | 10 | 1.21 | 0.0189 | 0.113 | 0.210 | 1.35 | 1.29 | 0.132 | 0.0166 | 0.0310 | 0.0554 |
| | 20 | 0.73 | 0.0112 | 0.0680 | 0.126 | 0.811 | 0.784 | 0.0804 | 0.0102 | 0.0193 | 0.0344 |
| 50 | 0.34 | 0.00520 | 0.0318 | 0.0586 | 0.380 | 0.373 | 0.0383 | 0.00495 | 0.00940 | 0.0170 | |
| Count Rate per Activity per Unit Area N_p/S (cps/Ci/km ²) | β | | | | | | | | | | |
| | 0.16 | 2074 | 0.453 | 2.31 | 4.23 | 25.7 | 18.5 | 1.89 | 0.179 | 0.296 | 0.441 |
| | 0.32 | 18.23 | 0.399 | 2.04 | 3.72 | 22.6 | 16.4 | 1.67 | 0.158 | 0.262 | 0.392 |
| | 0.64 | 15.67 | 0.342 | 1.75 | 3.20 | 19.5 | 14.1 | 1.44 | 0.137 | 0.227 | 0.340 |
| | 1.6 | 12.16 | 0.265 | 1.36 | 2.49 | 15.2 | 11.1 | 1.13 | 0.108 | 0.180 | 0.269 |
| | 3.2 | 9.52 | 0.207 | 1.07 | 1.96 | 12.0 | 8.81 | 0.896 | 0.0865 | 0.144 | 0.217 |
| | 10 | 4.89 | 0.101 | 0.524 | 0.96 | 5.88 | 4.47 | 0.454 | 0.0458 | 0.0772 | 0.119 |
| | 20 | 2.98 | 0.060 | 0.318 | 0.582 | 3.58 | 2.74 | 0.280 | 0.0284 | 0.0485 | 0.0749 |
| 50 | 1.41 | 0.028 | 0.150 | 0.274 | 1.69 | 1.32 | 0.134 | 0.0139 | 0.0238 | 0.0373 | |
| Dose Rate per Unit Activity Concentration I/S (nGy/h/Ci/km ²) | β | | | | | | | | | | |
| | 0.16 | 85.5 | 219 | 219 | 219 | 219 | 219 | 219 | 219 | 219 | 376 |
| | 0.32 | 77.7 | 199 | 199 | 199 | 199 | 199 | 199 | 199 | 199 | 342 |
| | 0.64 | 70.0 | 180 | 180 | 180 | 180 | 180 | 180 | 180 | 180 | 309 |
| | 1.6 | 56.7 | 146 | 146 | 146 | 146 | 146 | 146 | 146 | 146 | 251 |
| | 3.2 | 45.8 | 118 | 118 | 118 | 118 | 118 | 118 | 118 | 118 | 204 |
| | 10 | 27.9 | 72.2 | 72.2 | 72.2 | 72.2 | 72.2 | 72.2 | 72.2 | 72.2 | 126 |
| | 20 | 18.4 | 47.7 | 47.7 | 47.7 | 47.7 | 47.7 | 47.7 | 47.7 | 47.7 | 83.6 |
| 50 | 9.29 | 24.2 | 24.2 | 24.2 | 24.2 | 24.2 | 24.2 | 24.2 | 24.2 | 42.9 | |
| Count Rate per Dose Rate N_p/I (cps/nGy/h) | β | | | | | | | | | | |
| | 0.16 | 0.243 | 0.00207 | 0.0106 | 0.0193 | 0.117 | 0.0846 | 0.00861 | 0.000818 | 0.00135 | 0.00202 |
| | 0.32 | 0.235 | 0.00201 | 0.0102 | 0.0187 | 0.114 | 0.0822 | 0.00838 | 0.000796 | 0.00132 | 0.00197 |
| | 0.64 | 0.224 | 0.00190 | 0.0097 | 0.0178 | 0.108 | 0.0784 | 0.00799 | 0.000762 | 0.00126 | 0.00189 |
| | 1.6 | 0.215 | 0.00181 | 0.00933 | 0.0171 | 0.104 | 0.0759 | 0.00773 | 0.000741 | 0.00123 | 0.00184 |
| | 3.2 | 0.207 | 0.00175 | 0.00909 | 0.0166 | 0.101 | 0.0747 | 0.00759 | 0.000733 | 0.00122 | 0.00184 |
| | 10 | 0.175 | 0.00139 | 0.00725 | 0.0133 | 0.0815 | 0.0619 | 0.00629 | 0.000635 | 0.00107 | 0.00165 |
| | 20 | 0.162 | 0.00126 | 0.00667 | 0.0122 | 0.0750 | 0.0575 | 0.00596 | 0.000596 | 0.00102 | 0.00157 |
| 50 | 0.152 | 0.00117 | 0.00618 | 0.0113 | 0.0698 | 0.0544 | 0.00554 | 0.000574 | 0.00098 | 0.00154 | |

in-situ 測定に使用した人工放射性核種に対する換算係数を表 23 に示す。

表 23 in-situ 測定に使用した人工放射性核種に対する換算係数

| 換算係数 | γ 線エネルギー (keV) | | | | | | | | | | |
|--------------------|-----------------------|---------|--------|--------|--------|--------|---------|---------|---------|---------|--------|
| | 661.66 | 475.35 | 563.23 | 569.32 | 604.70 | 795.85 | 801.93 | 1038.6 | 1167.9 | 1365.2 | 884.67 |
| $\beta=1$ | | | | | | | | | | | |
| Factor1 N_f/S | 14.0 | 0.304 | 1.56 | 2.85 | 17.4 | 12.6 | 1.29 | 0.123 | 0.204 | 0.306 | 10.0 |
| Factor2 N_f/I | 0.219 | 0.00192 | 0.0095 | 0.0174 | 0.106 | 0.0771 | 0.00786 | 0.00075 | 0.00124 | 0.00187 | 0.0355 |

天然放射性核種に対する換算係数を表 24 に示す。

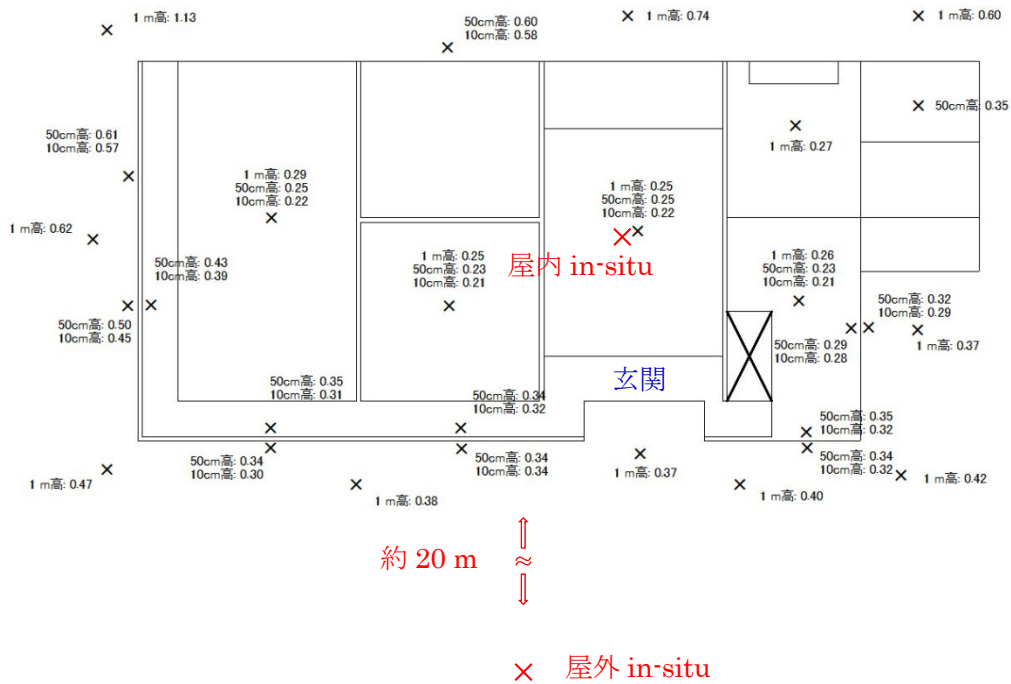
放射性核種に対する換算係数

| Series | Nuclides | Energy (keV) | Emission Rate (%) | Peak Efficiency | Correction | Flux per Unit Activity | CF1 | Air Kerma per Unit Activity | CF2 | |
|--------|----------|--------------|-------------------|--|--------------|---|------------------------------|---|--|-------|
| | | | | cps/ $\gamma \cdot \text{cm}^{-2} \cdot \text{sec}^{-1}$ | Factor Nf/N0 | $\gamma \cdot \text{cm}^{-2} \cdot \text{sec}^{-1} / \text{Bq} \cdot \text{g}^{-1}$ | cps/Bq $\cdot \text{g}^{-1}$ | $\mu \text{Gy} \cdot \text{h}^{-1} / \text{Bq} \cdot \text{g}^{-1}$ | cps/ $\mu \text{Gy} \cdot \text{h}^{-1}$ | |
| K | K-40 | 1460 | 10.7 | 2.25 | 0.926 | 0.971 | 2.02 | 0.0417 | 48.52 | |
| | | 295 | 19.2 | 9.55 | 0.861 | 0.828 | 6.81 | 0.462 | 14.73 | |
| U | Pb-214 | 352 | 36.9 | 7.9 | 0.877 | 1.71 | 11.85 | 0.462 | 25.65 | |
| | | 609 | 46.9 | 4.87 | 0.913 | 2.75 | 12.23 | 0.462 | 26.46 | |
| | | 665 | 1.58 | 4.5 | 0.917 | 0.0965 | 0.40 | 0.462 | 0.86 | |
| | Bi-214 | 768 | 4.97 | 3.96 | 0.921 | 0.325 | 1.19 | 0.462 | 2.57 | |
| | | 934 | 3.19 | 3.33 | 0.925 | 0.229 | 0.71 | 0.462 | 1.53 | |
| | | 1120 | 15.5 | 2.84 | 0.926 | 1.22 | 3.21 | 0.462 | 6.94 | |
| | | 1238 | 6.1 | 2.6 | 0.926 | 0.507 | 1.22 | 0.462 | 2.64 | |
| | | 1378 | 4.1 | 2.36 | 0.926 | 0.361 | 0.79 | 0.462 | 1.71 | |
| | Bi-214 | 1509 | 2.2 | 2.18 | 0.926 | 0.203 | 0.41 | 0.462 | 0.89 | |
| | | 1730 | 3 | 1.93 | 0.926 | 0.298 | 0.53 | 0.462 | 1.15 | |
| | | 1765 | 16.2 | 1.9 | 0.926 | 1.62 | 2.85 | 0.462 | 6.17 | |
| | | 1847 | 2.16 | 1.83 | 0.926 | 0.222 | 0.38 | 0.462 | 0.81 | |
| | | 2204 | 5.25 | 1.56 | 0.926 | 0.592 | 0.86 | 0.462 | 1.85 | |
| | | 2448 | 1.62 | 1.42 | 0.926 | 0.193 | 0.25 | 0.462 | 0.55 | |
| | | 239 | 43.4 | 12.91 | 0.838 | 1.73 | 18.72 | 0.604 | 30.99 | |
| | Th | Pb-212 | 241 | 3.97 | 12.82 | 0.839 | 0.158 | 1.70 | 0.604 | 2.81 |
| | | | 338 | 12 | 8.19 | 0.874 | 0.547 | 3.91 | 0.604 | 6.48 |
| | | Ac-228 | 463 | 4.64 | 6.2 | 0.898 | 0.241 | 1.34 | 0.604 | 2.22 |
| | | | 511 | 8.09 | 5.69 | 0.904 | 0.438 | 2.25 | 0.604 | 3.73 |
| | | Tl-208 | 583 | 30.6 | 5.06 | 0.911 | 1.76 | 8.11 | 0.604 | 13.43 |
| 727 | | | 6.75 | 4.16 | 0.920 | 0.43 | 1.64 | 0.604 | 2.72 | |
| Ac-228 | | 795 | 4.84 | 3.84 | 0.922 | 0.322 | 1.14 | 0.604 | 1.89 | |
| | | 861 | 4.53 | 3.59 | 0.924 | 0.313 | 1.04 | 0.604 | 1.72 | |
| Ac-228 | | 911 | 29 | 3.41 | 0.925 | 2.06 | 6.49 | 0.604 | 10.75 | |
| | | 965 | 5.45 | 3.23 | 0.925 | 0.398 | 1.19 | 0.604 | 1.97 | |
| Tl-208 | | 969 | 17.5 | 3.23 | 0.925 | 1.282 | 3.83 | 0.604 | 6.34 | |
| | | 1588 | 3.71 | 2.09 | 0.926 | 0.352 | 0.68 | 0.604 | 1.13 | |
| | | 2615 | 35.9 | 1.34 | 0.926 | 4.418 | 5.48 | 0.604 | 9.08 | |

ONaI (T1) シンチレーション式サーベイメータによる空間線量率測定結果の詳細
家屋 A

1 階

(単位: $\mu\text{Sv/h}$)



※屋外 in-situ 測定実施場所での空間線量率は $0.88 \mu\text{Sv/h}$

2 階

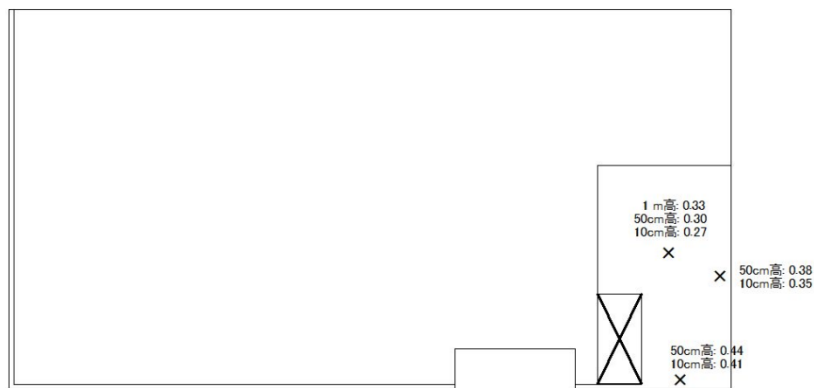
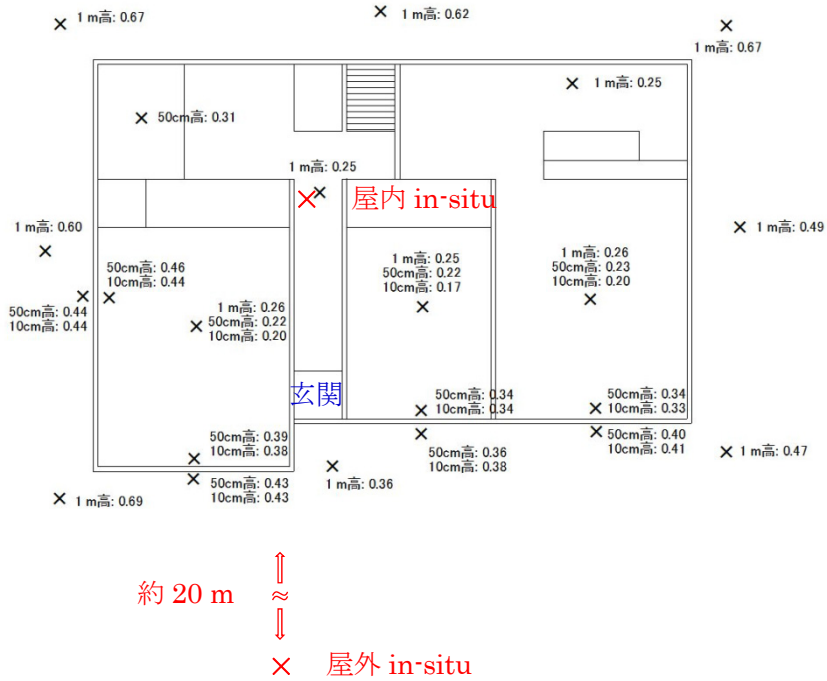


図 25 家屋 A (木造 2 階建) での空間線量率測定結果

家屋 B

1 階

(単位 : $\mu\text{Sv/h}$)



※屋外 in-situ 測定実施場所での空間線量率は $0.72 \mu\text{Sv/h}$

2 階

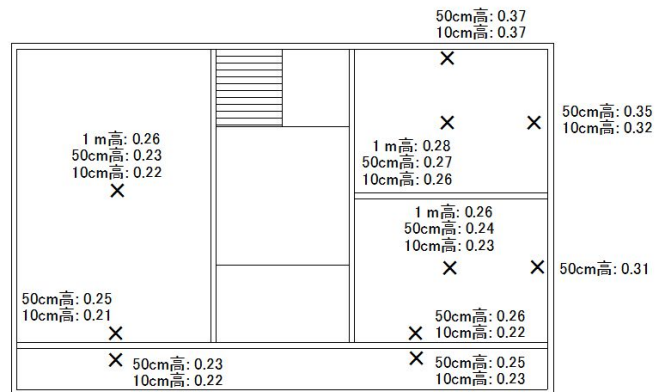
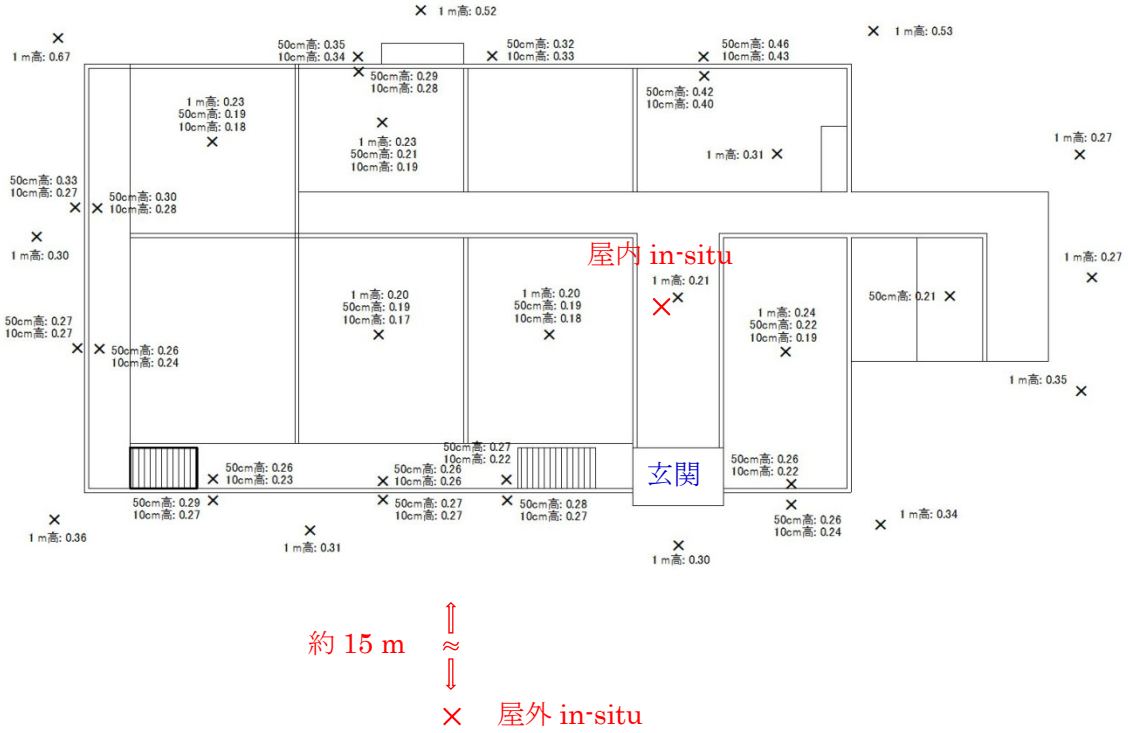


図 26 家屋 B (プレハブ 2 階建) での空間線量率測定結果

家屋 C

1 階

(単位: $\mu\text{Sv/h}$)



※屋外 in-situ 測定実施場所での空間線量率は $0.59 \mu\text{Sv/h}$

2 階

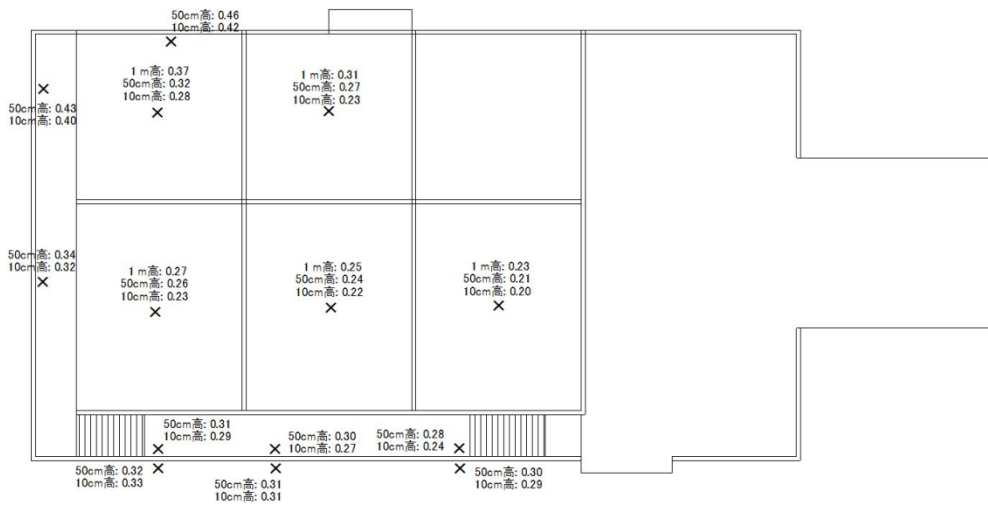
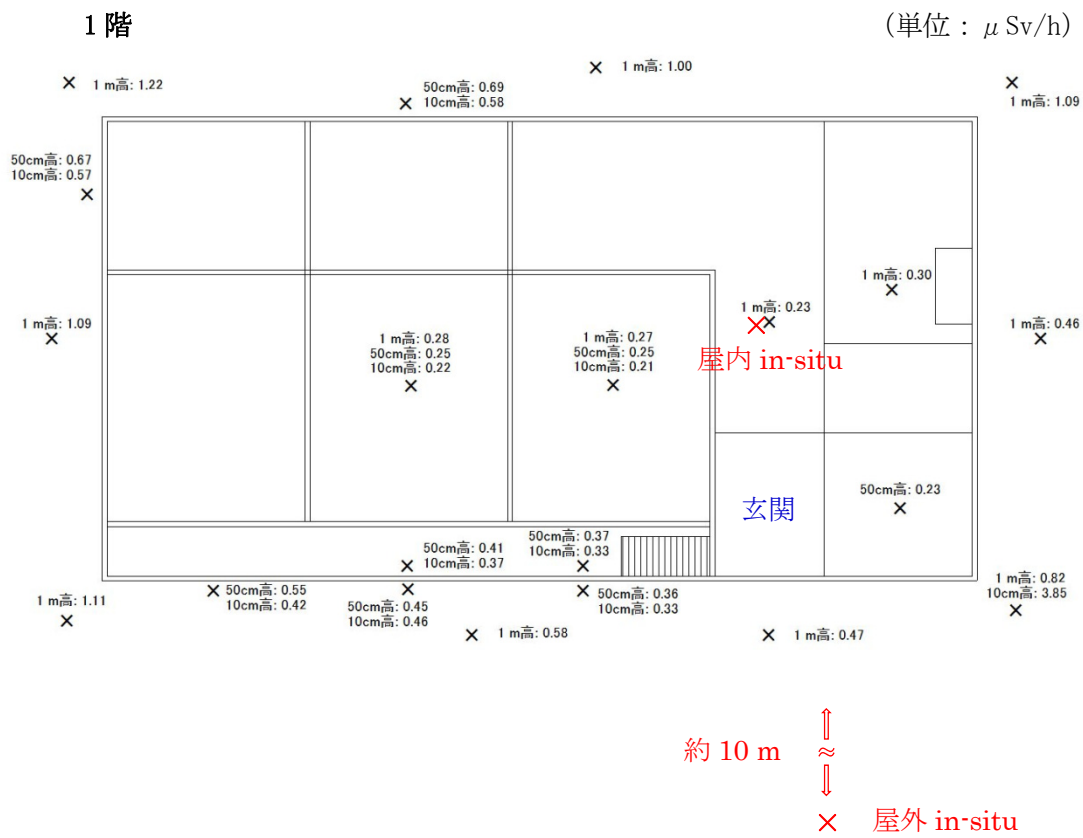


図 27 家屋 C (木造 2 階建) での空間線量率測定結果

家屋 D



※屋外 in-situ 測定実施場所での空間線量率は 0.80 $\mu\text{Sv/h}$

2 階

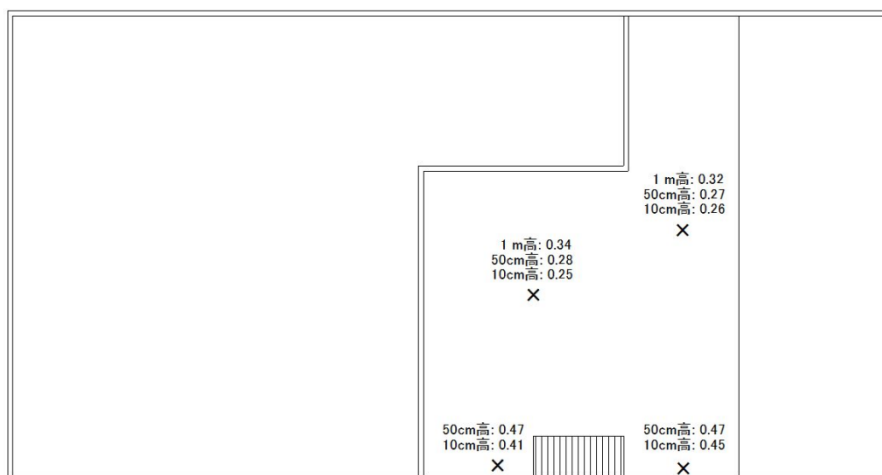
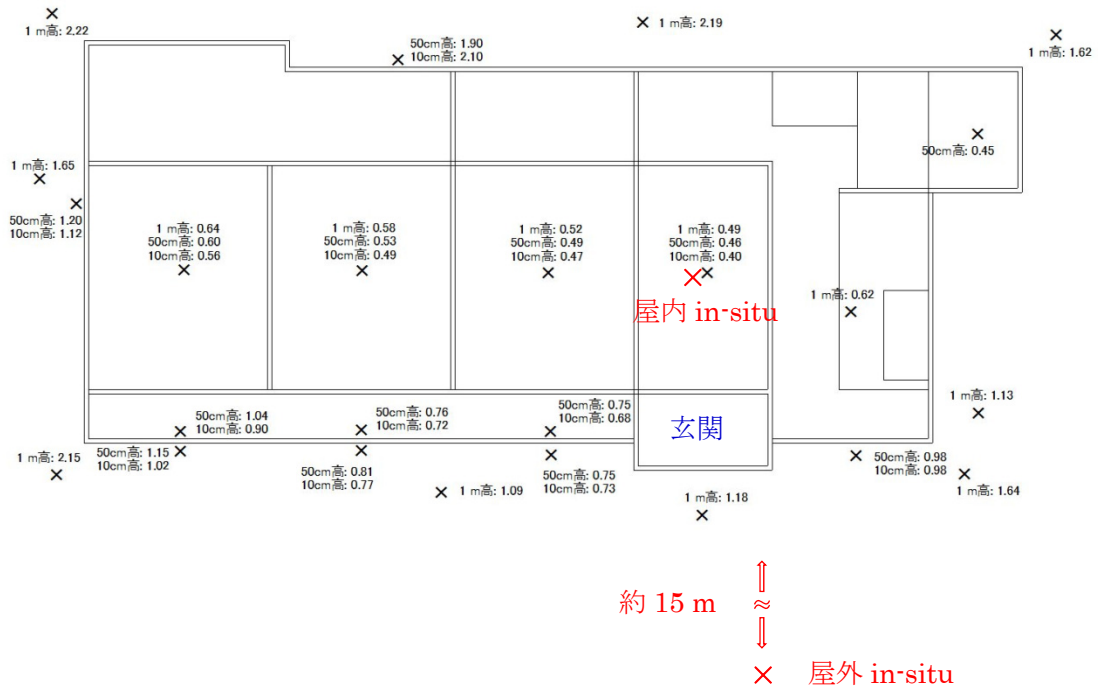


図 28 家屋 D (木造 2 階建) での空間線量率測定結果

家屋 E

(単位： $\mu\text{Sv/h}$)

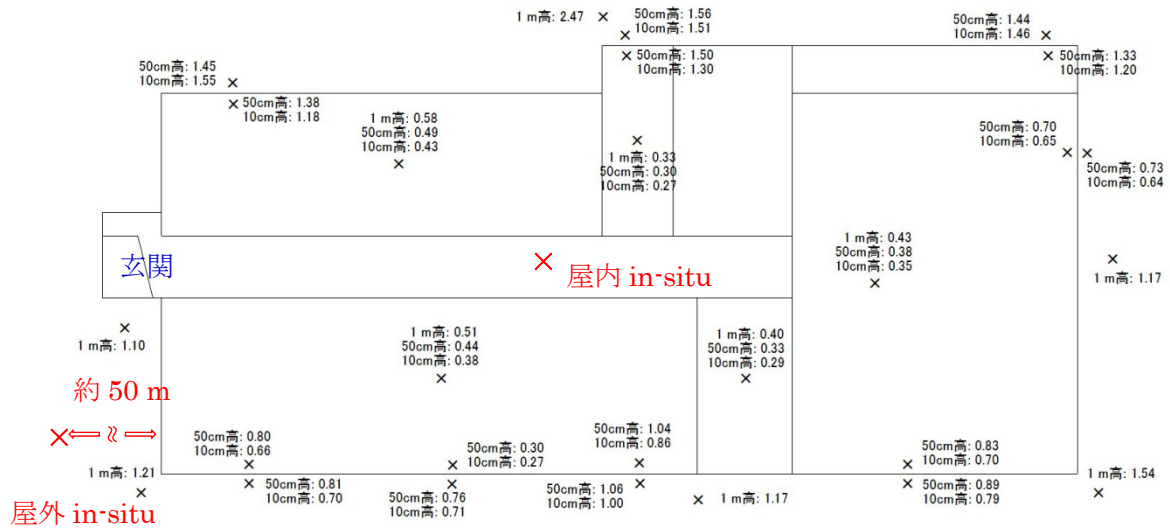


※屋外 in-situ 測定実施場所での空間線量率は $1.35 \mu\text{Sv/h}$

図 29 家屋 E (木造平屋建) での空間線量率測定結果

文教施設 A

(単位： $\mu\text{Sv/h}$)



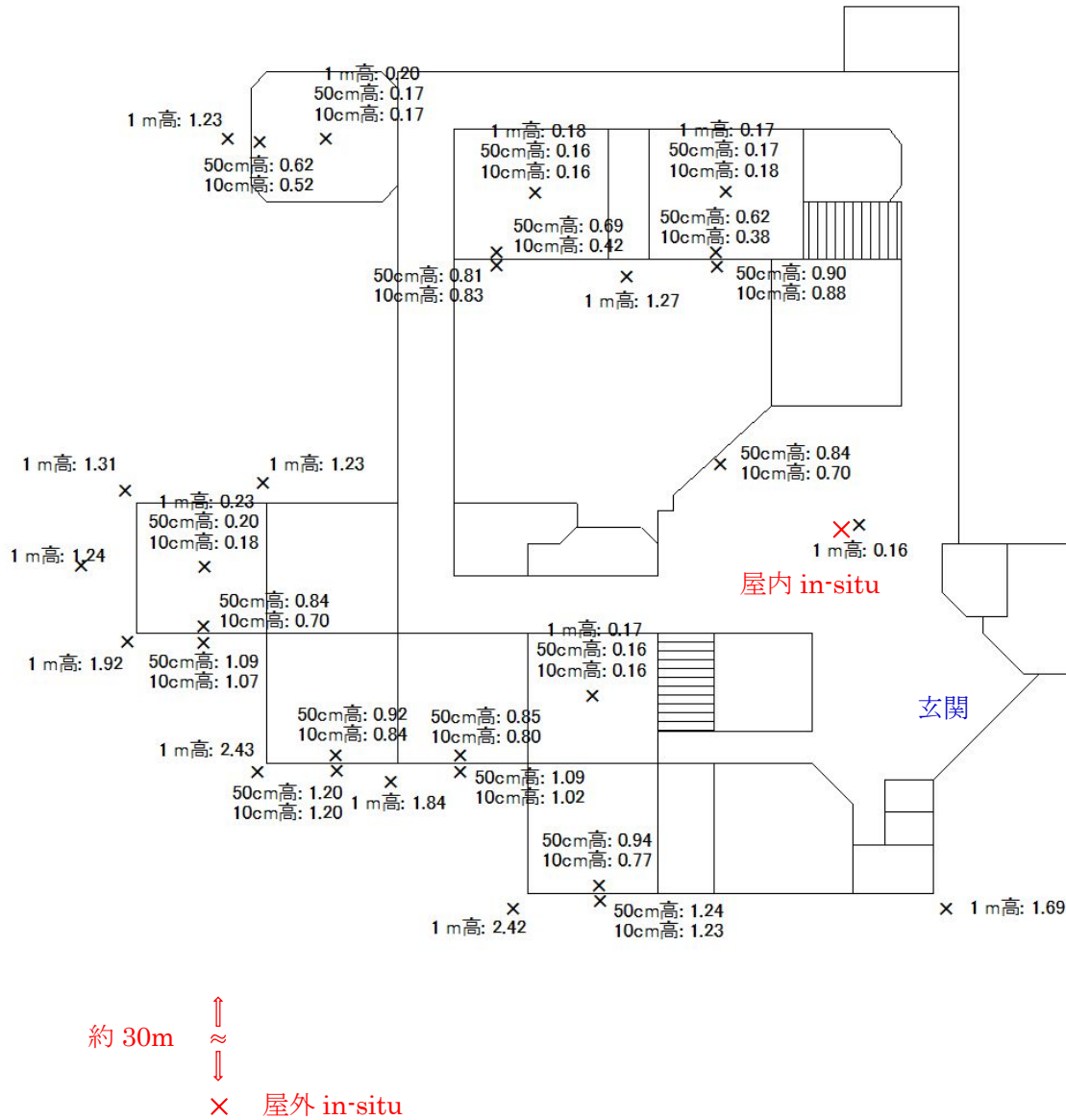
※屋外 in-situ 測定実施場所での空間線量率は 1.83 $\mu\text{Sv/h}$

図 30 文教施設 A (プレハブ平屋建) での空間線量率測定結果

文教施設 B

1 階

(単位 : $\mu\text{Sv/h}$)



※屋外 in-situ 測定実施場所での空間線量率は 1.16 $\mu\text{Sv/h}$

図 31 文教施設 B (コンクリート造 2 階建) での空間線量率測定結果 1/2

2 階

(単位 : μ Sv/h)

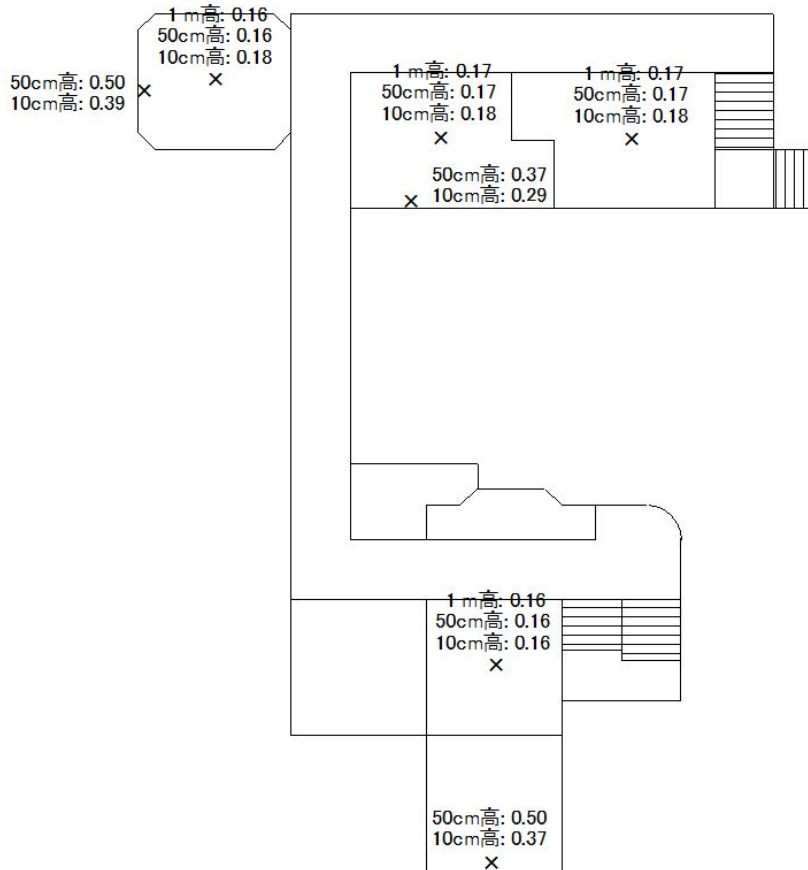
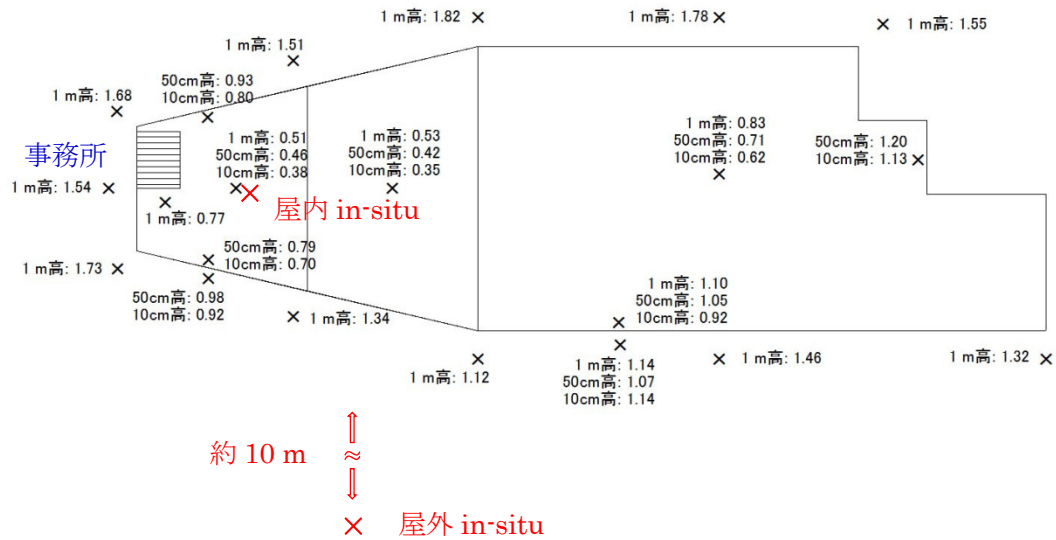


図 32 文教施設 B (コンクリート造 2 階建) での空間線量率の定結果 2/2

商工施設 A

1 階

(単位: $\mu\text{Sv/h}$)



※屋外 in-situ 測定実施場所での空間線量率は 1.13 $\mu\text{Sv/h}$

2 階

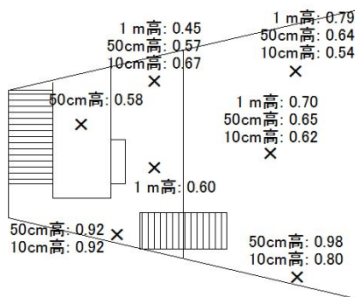
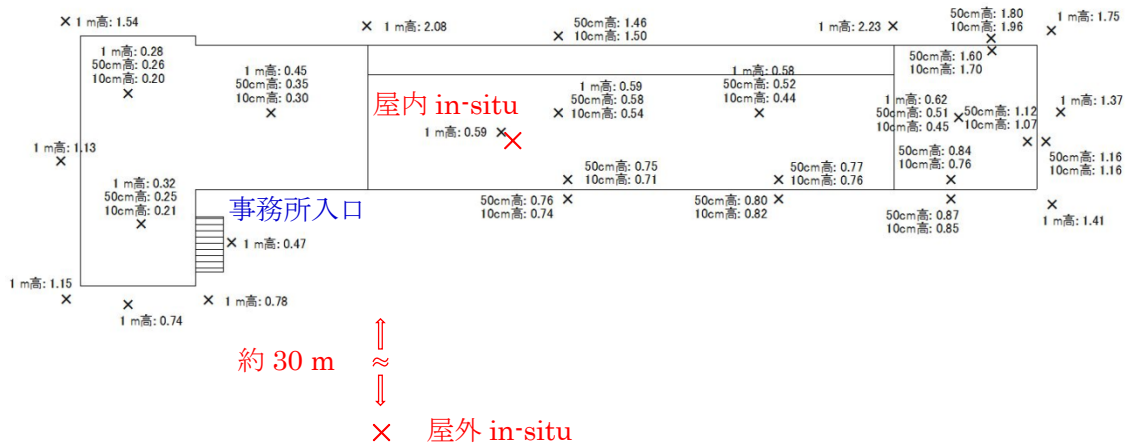


図 33 商工施設 A (コンクリート造 2 階建) での空間線量率測定結果

商工施設 B

1 階

(単位 : $\mu\text{Sv/h}$)



※屋外 in-situ 測定実施場所での空間線量率は 1.29 $\mu\text{Sv/h}$

2 階

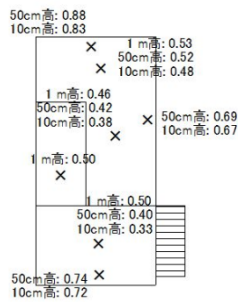


図 34 商工施設 B (プレハブ 2 階建) での空間線量率測定結果

○放射性物質の蓄積個所での測定結果

※居住施設に設けられた雨どい等付随設備を含む生活環境に係る放射性物質の蓄積個所には○雨印を、落ち葉による放射性物質の流入に伴う蓄積個所には○葉印を付した。

家屋 A

1 階

(単位：μSv/h)

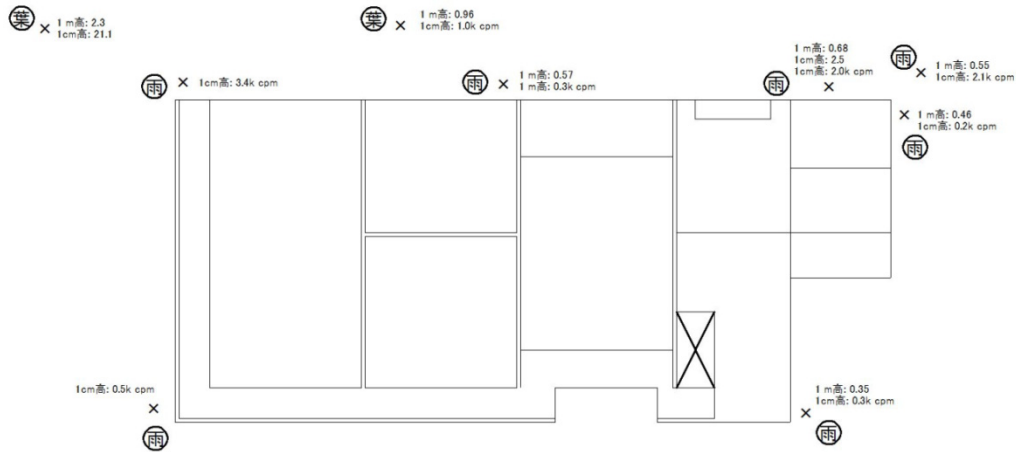


図 35 家屋 A (木造 2 階建) での測定結果

左上○葉印：1 cm 高さの空間線量率 21.1 μSv/h、直上 1 m 高さの空間線量率 2.3 μSv/h
1cm/1m の比は約 1/9.3

家屋 B

1 階

(単位：μSv/h)

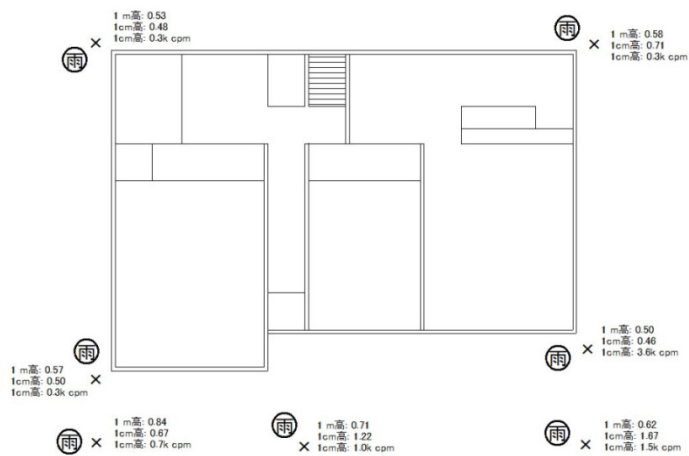


図 36 家屋 B (プレハブ 2 階建) での測定結果

右下○雨印：1 cm 高さの空間線量率 1.67 μSv/h、直上 1 m 高さの空間線量率 0.62 μSv/h
1cm/1m の比は約 1/2.7

家屋 C

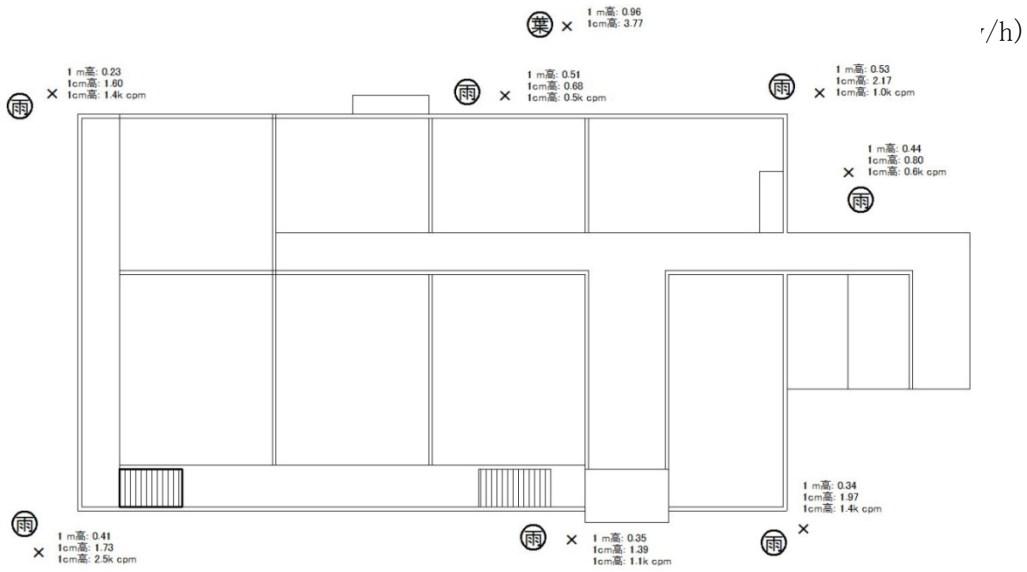


図 37 家屋 C (木造 2 階建) での測定結果

右上○雨印 : 1 cm 高さの空間線量率 $2.17 \mu\text{Sv/h}$ 、直上 1 m 高さの空間線量率 $0.53 \mu\text{Sv/h}$
 1cm/1m の比は約 1/4.1

家屋 D

1 階

(単位 : $\mu\text{Sv/h}$)

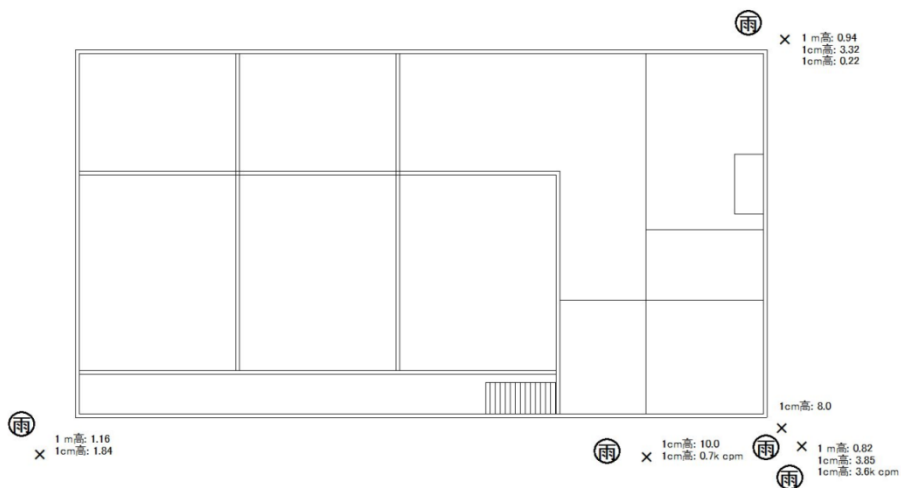


図 38 家屋 D (木造 2 階建) での測定結果

右下○雨印 : 1 cm 高さの空間線量率 $3.85 \mu\text{Sv/h}$ 、直上 1 m 高さの空間線量率 $0.82 \mu\text{Sv/h}$
 1cm/1m の比は約 1/4.7

家屋 E

(単位 : $\mu\text{Sv/h}$)

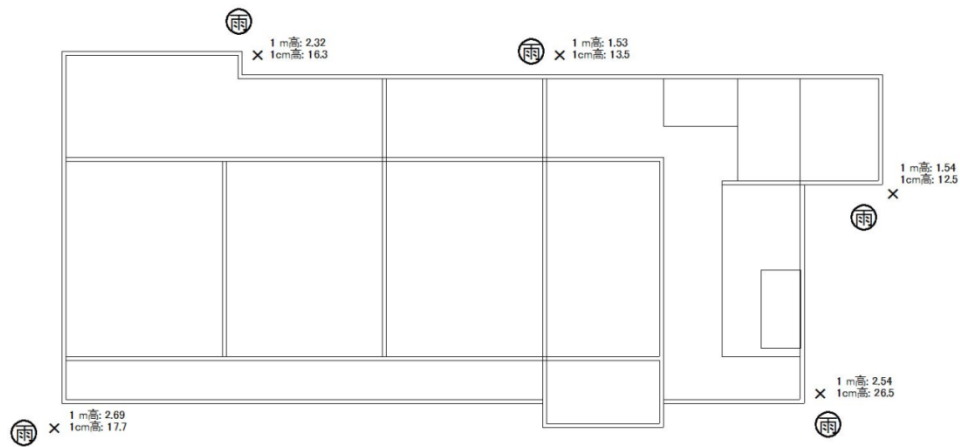


図 39 家屋 E (木造平屋建) での測定結果

右下○雨印 : 1 cm 高さの空間線量率 $26.5 \mu\text{Sv/h}$ 、直上 1 m 高さの空間線量率 $2.54 \mu\text{Sv/h}$
 1cm/1m の比は約 1/10.4

文教施設 A

(単位 : $\mu\text{Sv/h}$)

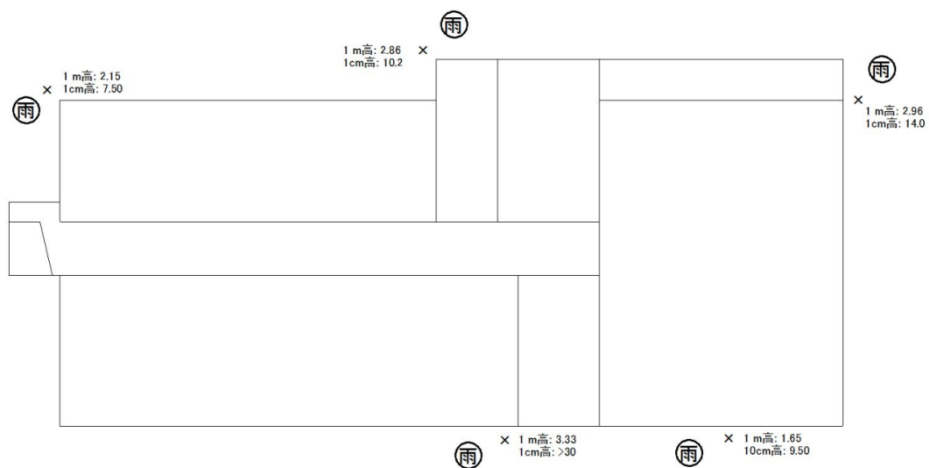


図 40 文教施設 A (プレハブ平屋建) での測定結果

中央下○雨印 : 1 cm 高さの空間線量率 $30 \mu\text{Sv/h}$ 、直上 1 m 高さの空間線量率 $3.33 \mu\text{Sv/h}$
 1cm/1m の比は 1/9.0

文教施設 B

1 階

(単位 : $\mu\text{Sv/h}$)

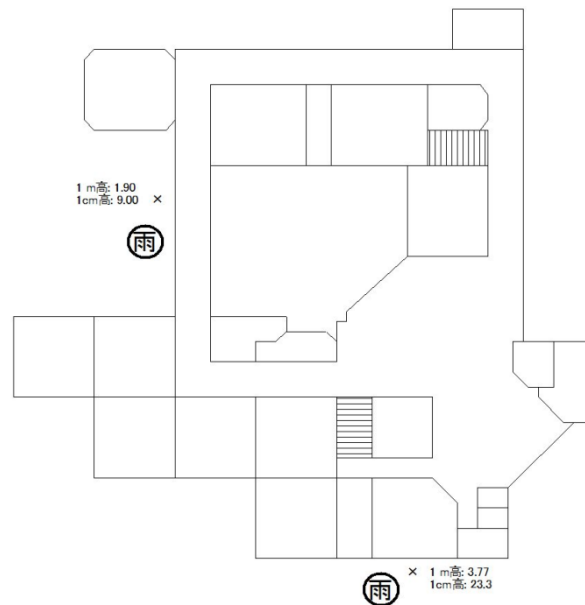


図 41 文教施設 B (コンクリート造 2 階建) での測定結果

中央下○雨印 : 1 cm 高さの空間線量率 23.3 $\mu\text{Sv/h}$ 、直上 1 m 高さの空間線量率 3.77 $\mu\text{Sv/h}$
1cm/1m の比は 1/6.2

商工施設 A

1 階

(単位 : $\mu\text{Sv/h}$)

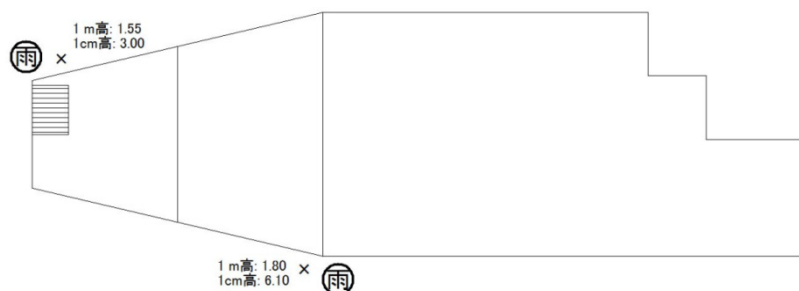


図 42 商工施設 A (コンクリート造 2 階建) での測定結果

中央下○雨印 : 1 cm 高さの空間線量率 6.10 $\mu\text{Sv/h}$ 、直上 1 m 高さの空間線量率 1.80 $\mu\text{Sv/h}$
1cm/1m の比は 1/3.4

商工施設 B

1 階

(単位 : $\mu\text{Sv/h}$)

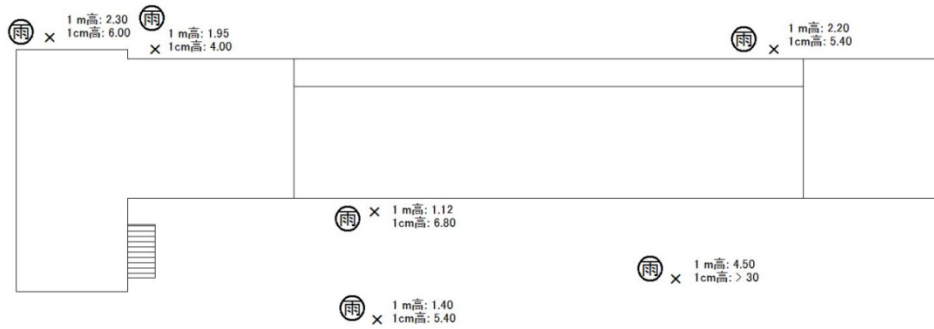


図 43 商工施設 B (プレハブ 2 階建) での測定結果

右下○雨印 : 1 cm 高さの空間線量率 $30 \mu\text{Sv/h}$ 、直上 1 m 高さの空間線量率 $4.50 \mu\text{Sv/h}$
1cm/1m の比は 1/6.7

○Ge 検出器による in-situ 測定の結果

家屋 A

スペクトルファイル名 : S2211

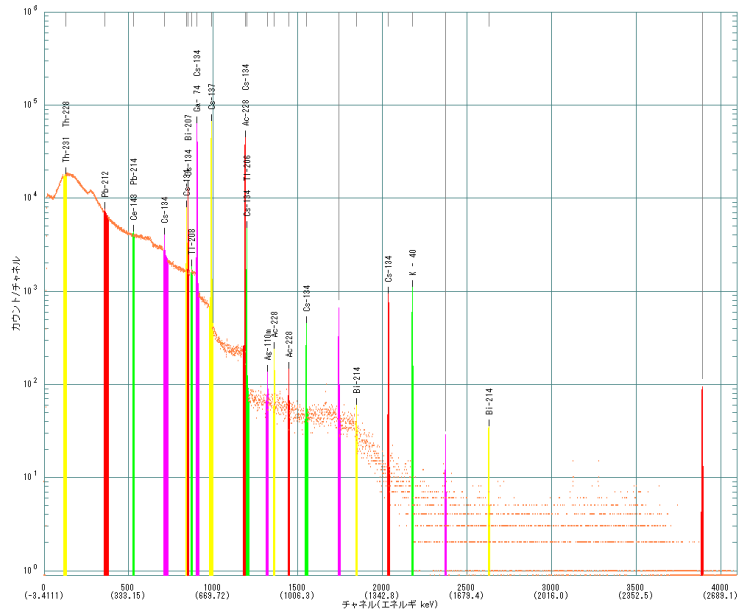


図 44 家屋 A 屋外での in-situ 測定による γ 線スペクトル

| No | ピーク中心 (ch) | ピーク中心 (keV) | FWHM (ch) | FWHM (keV) | ROI 領域 (ch) | グロス面積 (cnt) | ネット面積 \pm err (cnt) | 簡易定性核種 |
|----|---------------|----------------|--------------|---------------|----------------|----------------|---------------------------|---------------|
| 1 | 129.64 | 83.85 | 1.55 | 1.0402 | 117- 131 | 258473.00 | 1230.50 (\pm 718.13) | Th-231 Th-228 |
| 2 | 357.89 | 237.49 | 2.12 | 1.4294 | 355- 380 | 172324.00 | 1209.33 (\pm 586.04) | Pb-212 |
| 3 | 527.02 | 351.34 | 1.72 | 1.1571 | 525- 532 | 31980.00 | 748.00 (\pm 251.42) | Ce-143 Pb-214 |
| 4 | 711.07 | 475.23 | 2.17 | 1.4581 | 708- 734 | 66583.00 | 1783.00 (\pm 362.47) | Cs-134 |
| 5 | 841.95 | 563.33 | 2.16 | 1.4520 | 837- 845 | 29066.00 | 13497.50 (\pm 211.27) | Cs-134 |
| 6 | 850.98 | 569.40 | 2.28 | 1.5321 | 847- 856 | 42435.00 | 26395.00 (\pm 241.82) | Cs-134 Bi-207 |
| 7 | 871.51 | 583.22 | 2.06 | 1.3868 | 866- 875 | 16318.00 | 664.67 (\pm 178.81) | Tl-208 |
| 8 | 903.63 | 604.85 | 2.43 | 1.6336 | 898- 917 | 184327.00 | 160113.67 (\pm 456.66) | Ga- 74 Cs-134 |
| 9 | 988.34 | 661.87 | 2.47 | 1.6628 | 978- 1000 | 184615.00 | 172290.83 (\pm 443.78) | Cs-137 |
| 10 | 1187.88 | 796.18 | 2.56 | 1.7205 | 1177- 1192 | 120222.00 | 114848.67 (\pm 354.39) | Ac-228 Cs-134 |
| 11 | 1196.93 | 802.27 | 2.35 | 1.5802 | 1194- 1209 | 13333.00 | 9141.00 (\pm 132.38) | Cs-134 Tl-206 |
| 12 | 1319.76 | 884.96 | 2.76 | 1.8554 | 1313- 1324 | 955.00 | 243.00 (\pm 40.83) | Ag-110m |
| 13 | 1359.35 | 911.60 | 2.33 | 1.5694 | 1356- 1363 | 919.00 | 429.67 (\pm 37.53) | Ac-228 |
| 14 | 1445.28 | 969.44 | 2.40 | 1.6127 | 1442- 1451 | 763.00 | 244.67 (\pm 35.80) | Ac-228 |
| 15 | 1548.66 | 1039.04 | 2.68 | 1.8060 | 1543- 1558 | 1892.00 | 1220.00 (\pm 50.64) | Cs-134 |
| 16 | 1740.92 | 1168.45 | 2.98 | 2.0086 | 1736- 1749 | 2457.00 | 1934.33 (\pm 54.59) | |
| 17 | 1845.08 | 1238.56 | 2.32 | 1.5585 | 1843- 1848 | 256.00 | 53.00 (\pm 21.42) | Bi-214 |
| 18 | 2033.87 | 1365.64 | 3.00 | 2.0212 | 2027- 2041 | 3062.00 | 2917.00 (\pm 56.63) | Cs-134 |
| 19 | 2175.89 | 1461.24 | 3.17 | 2.1369 | 2170- 2182 | 3715.00 | 3608.83 (\pm 61.82) | K - 40 |
| 20 | 2371.66 | 1593.01 | 2.14 | 1.4416 | 2369- 2377 | 108.00 | 55.50 (\pm 12.67) | |
| 21 | 2626.78 | 1764.74 | 3.34 | 2.2463 | 2622- 2631 | 147.00 | 115.33 (\pm 13.37) | Bi-214 |
| 22 | 3887.78 | 2613.55 | 4.40 | 2.9601 | 3879- 3896 | 440.00 | 440.00 (\pm 20.98) | |

図 45 家屋 A 屋外 in-situ 測定による γ 線スペクトルのピーク情報

スペクトルファイル名 : S2212

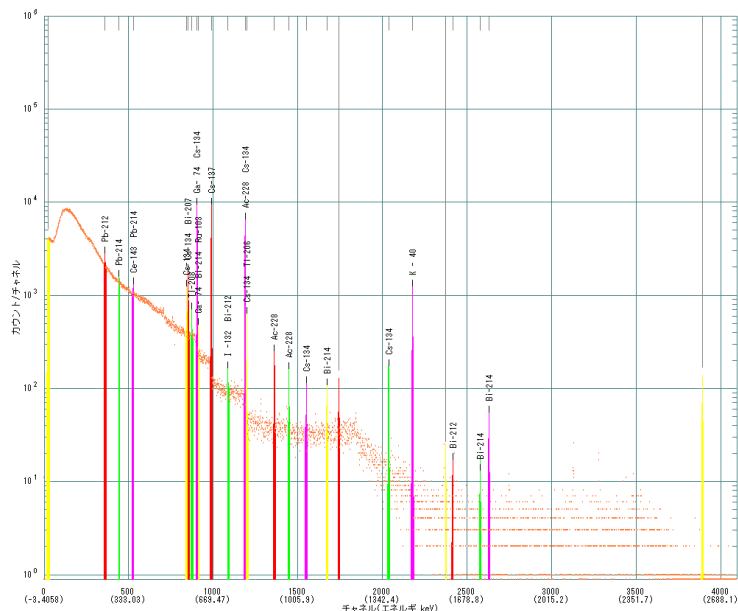


図 46 家屋 A 屋内での in-situ 測定による γ 線スペクトル

| No | ピーク中心 (ch) | ピーク中心 (keV) | FWHM (ch) | FWHM (keV) | ROI 領域 (ch) | グロス面積 (cnt) | ネット面積 \pm err (cnt) | 簡易定性核種 |
|----|---------------|----------------|--------------|---------------|----------------|----------------|--------------------------|---------------------|
| 1 | 26.23 | 14.25 | 9.00 | 6.0568 | 13- 31 | 48848.00 | 10990.50 (\pm 294.46) | |
| 2 | 358.58 | 237.87 | 1.99 | 1.3406 | 356- 367 | 26746.00 | 1748.00 (\pm 227.47) | Pb-212 |
| 3 | 443.36 | 294.92 | 2.00 | 1.3447 | 441- 446 | 8534.00 | 405.00 (\pm 129.09) | Pb-214 |
| 4 | 527.15 | 351.30 | 2.00 | 1.3428 | 521- 530 | 10746.00 | 642.67 (\pm 144.39) | Ce-143 Pb-214 |
| 5 | 842.20 | 563.29 | 2.02 | 1.3621 | 835- 846 | 6424.00 | 1892.00 (\pm 104.67) | Cs-134 |
| 6 | 851.23 | 569.37 | 2.18 | 1.4680 | 848- 859 | 7740.00 | 3150.00 (\pm 111.04) | Cs-134 Bi-207 |
| 7 | 871.88 | 583.27 | 1.89 | 1.2699 | 869- 879 | 4675.00 | 693.00 (\pm 93.04) | Tl-208 |
| 8 | 903.92 | 604.82 | 2.17 | 1.4585 | 897- 908 | 23914.00 | 20326.00 (\pm 165.84) | Ga- 74 Cs-134 |
| 9 | 910.61 | 609.33 | 1.51 | 1.0162 | 910- 916 | 2170.00 | -11.67 (\pm 65.97) | Ga-74 Bi-214 Ru-103 |
| 10 | 988.64 | 661.83 | 2.33 | 1.5671 | 981- 995 | 25015.00 | 22690.00 (\pm 165.35) | Cs-137 |
| 11 | 1086.46 | 727.65 | 1.96 | 1.3187 | 1083- 1094 | 1217.00 | 195.00 (\pm 47.32) | I -132 Bi-212 |
| 12 | 1188.27 | 796.16 | 2.40 | 1.6146 | 1182- 1192 | 17119.00 | 16085.00 (\pm 134.73) | Ac-228 Cs-134 |
| 13 | 1197.30 | 802.23 | 2.58 | 1.7373 | 1194- 1205 | 2199.00 | 1481.00 (\pm 54.01) | Cs-134 Tl-206 |
| 14 | 1359.72 | 911.52 | 2.29 | 1.5376 | 1354- 1366 | 990.00 | 522.00 (\pm 38.18) | Ac-228 |
| 15 | 1445.79 | 969.44 | 2.49 | 1.6726 | 1443- 1452 | 688.00 | 301.33 (\pm 32.78) | Ac-228 |
| 16 | 1549.36 | 1039.13 | 2.33 | 1.5652 | 1540- 1555 | 743.00 | 260.33 (\pm 35.01) | Cs-134 |
| 17 | 1670.86 | 1120.88 | 2.34 | 1.5738 | 1666- 1676 | 562.00 | 213.67 (\pm 30.17) | Bi-214 |
| 18 | 1741.53 | 1168.43 | 2.95 | 1.9849 | 1738- 1745 | 541.00 | 278.33 (\pm 28.35) | |
| 19 | 2034.56 | 1365.61 | 2.92 | 1.9675 | 2030- 2041 | 640.00 | 500.00 (\pm 27.93) | Cs-134 |
| 20 | 2176.62 | 1461.20 | 3.00 | 2.0178 | 2169- 2183 | 3994.00 | 3891.50 (\pm 64.00) | K - 40 |
| 21 | 2372.02 | 1592.68 | 3.05 | 2.0551 | 2370- 2377 | 107.00 | 48.33 (\pm 12.87) | |
| 22 | 2414.28 | 1621.11 | 2.21 | 1.4867 | 2408- 2417 | 66.00 | 26.00 (\pm 10.30) | Bi-212 |
| 23 | 2575.90 | 1729.86 | 2.77 | 1.8646 | 2573- 2580 | 62.00 | 36.67 (\pm 9.35) | Bi-214 |
| 24 | 2627.82 | 1764.80 | 2.91 | 1.9565 | 2623- 2633 | 193.00 | 167.33 (\pm 14.79) | Bi-214 |
| 25 | 3889.25 | 2613.59 | 3.51 | 2.3640 | 3882- 3898 | 541.00 | 535.33 (\pm 23.38) | |

図 47 家屋 A 屋内 in-situ 測定による γ 線スペクトルのピーク情報

川俣町居宅A(屋外)での測定 測定日時: H24/2/21 9:44~

Filename: s2211.cap 測定時間: 3600 sec

| E (keV) | 計数値 net | 換算係数 | | 測定結果 | | 核種名 | Error | | |
|---------|------------|---------|---------|---------------------------|-------|--------|--------|---------------------------|-------|
| | | Factor1 | Factor2 | Ci/km ² , Ba/g | nGy/h | | ± | Ci/km ² , Ba/g | nGy/h |
| 569.3 | 23324 | 2.85 | 0.0174 | 2.273 | 372.3 | | 228 | 0.0222 | 3.64 |
| 604.7 | 153830 | 17.4 | 0.106 | 2.456 | 403.1 | | 437.3 | 0.0070 | 1.15 |
| 662 | 166561 | 14 | 0.219 | 3.305 | 211.3 | Cs-137 | 431.94 | 0.0086 | 0.55 |
| 795.85 | 115115 | 12.6 | 0.0771 | 2.538 | 414.7 | Cs-134 | 349.84 | 0.0077 | 1.26 |
| 1460 | 3532 | 2.02 | 0.04852 | 0.486 | 20.2 | K-40 | 62.09 | 0.0085 | 0.36 |
| 1764 | 101 | 2.85 | 0.00617 | 0.010 | 4.5 | U-238 | 14.68 | 0.0014 | 0.66 |
| 2614 | 434 | 5.48 | 0.00908 | 0.022 | 13.3 | Th-232 | 21.11 | 0.0011 | 0.65 |

| | | kBq/m ² , Ba/g | nGy/h | TTL (nGy/h) | Err (kBq/m ² , Ba/g) |
|------|--------|---------------------------|-------|-------------|---------------------------------|
| 天然核種 | K-40 | 0.486 | 20.2 | 38.0 | 0.0085 |
| | U-238 | 0.010 | 4.5 | | 0.0014 |
| | Th-232 | 0.022 | 13.3 | | 0.0011 |
| 人工核種 | Cs-137 | 122.28 | 211.3 | 626.0 | 0.32 |
| | Cs-134 | 93.90 | 414.7 | | 0.29 |

in-situ 0.664 μGy/h

サーベイメータでの測定

TCS-171 0.67 μGy/h

図 48 家屋 A 屋外 in-situ 測定による空間線量率

川俣町居宅A(屋内)での測定 測定日時: H24/2/21 11:22~

Filename: s2212.cap 測定時間: 3600 sec

| E (keV) | 計数値 net | 換算係数 | | 測定結果 | | 核種名 | Error | | |
|---------|------------|---------|---------|---------------------------|-------|--------|--------|---------------------------|-------|
| | | Factor1 | Factor2 | Ci/km ² , Ba/g | nGy/h | | ± | Ci/km ² , Ba/g | nGy/h |
| 569.3 | 2405 | 2.85 | 0.0174 | 0.234 | 38.4 | | 92.45 | 0.0090 | 1.48 |
| 604.7 | 19131 | 17.4 | 0.106 | 0.305 | 50.1 | | 161.69 | 0.0026 | 0.42 |
| 662 | 21709 | 14 | 0.219 | 0.431 | 27.5 | Cs-137 | 161.07 | 0.0032 | 0.20 |
| 795.85 | 16041 | 12.6 | 0.0771 | 0.354 | 57.8 | Cs-134 | 133.62 | 0.0029 | 0.48 |
| 1460 | 3868 | 2.02 | 0.04852 | 0.532 | 22.1 | K-40 | 63.94 | 0.0088 | 0.37 |
| 1764 | 168 | 2.85 | 0.00617 | 0.016 | 7.6 | U-238 | 14.97 | 0.0015 | 0.67 |
| 2614 | 535 | 5.48 | 0.00908 | 0.027 | 16.4 | Th-232 | 23.38 | 0.0012 | 0.72 |

| | | kBq/m ² , Ba/g | nGy/h | TTL (nGy/h) | Err (kBq/m ² , Ba/g) |
|------|--------|---------------------------|-------|-------------|---------------------------------|
| 天然核種 | K-40 | 0.532 | 22.1 | 46.1 | 0.0088 |
| | U-238 | 0.016 | 7.6 | | 0.0015 |
| | Th-232 | 0.027 | 16.4 | | 0.0012 |
| 人工核種 | Cs-137 | 15.94 | 27.5 | 85.3 | 0.12 |
| | Cs-134 | 13.08 | 57.8 | | 0.11 |

in-situ 0.131 μGy/h

サーベイメータでの測定

TCS-171 0.19 μGy/h

図 49 家屋 A 屋内 in-situ 測定による空間線量率

家屋 B

スペクトルファイル名 : S2213

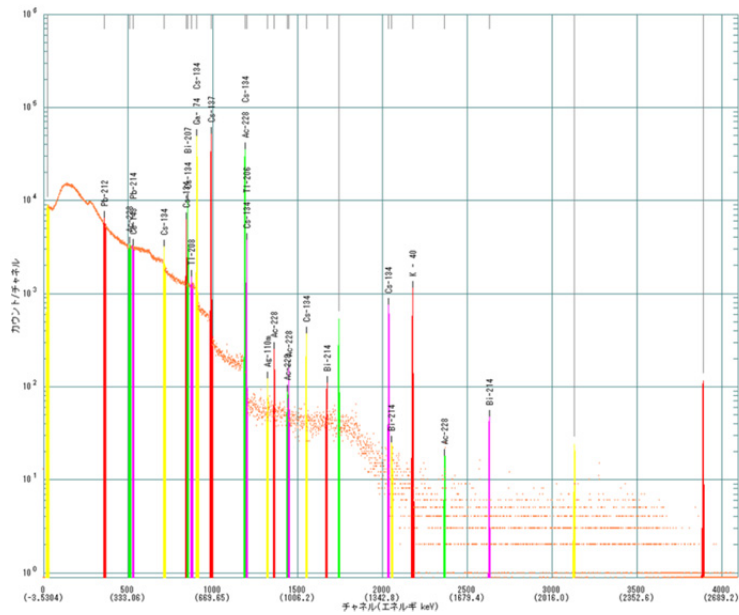


図 50 家屋 B 屋外での in-situ 測定による γ 線スペクトル

| No | ピーク中心 (ch) | ピーク中心 (keV) | FWHM (ch) | FWHM (keV) | ROI 領域 (ch) | グロス面積 (cnt) | ネット面積 \pm err (cnt) | 簡易定性核種 |
|----|---------------|----------------|--------------|---------------|----------------|----------------|---------------------------|---------------|
| 1 | 26.40 | 14.24 | 10.27 | 6.9109 | 13- 32 | 111858.00 | 28304.67 (\pm 442.05) | |
| 2 | 358.53 | 237.82 | 2.24 | 1.5058 | 356- 368 | 72739.00 | 2261.67 (\pm 378.44) | Pb-212 |
| 3 | 507.35 | 338.01 | 4.01 | 2.6964 | 504- 515 | 38350.00 | 1504.00 (\pm 274.22) | Ac-228 |
| 4 | 527.63 | 351.66 | 2.12 | 1.4276 | 525- 532 | 24959.00 | 859.00 (\pm 221.49) | Ce-143 Pb-214 |
| 5 | 710.86 | 475.01 | 1.90 | 1.2773 | 708- 720 | 27803.00 | 2323.00 (\pm 230.83) | Cs-134 |
| 6 | 841.91 | 563.23 | 2.13 | 1.4338 | 838- 845 | 21172.00 | 10593.33 (\pm 178.19) | Cs-134 |
| 7 | 850.95 | 569.32 | 2.23 | 1.5019 | 847- 855 | 31003.00 | 19664.50 (\pm 205.77) | Cs-134 Bi-207 |
| 8 | 871.31 | 583.02 | 2.08 | 1.3974 | 868- 879 | 15171.00 | 961.00 (\pm 171.41) | Tl-208 |
| 9 | 903.59 | 604.75 | 2.39 | 1.6115 | 897- 916 | 140765.00 | 122105.00 (\pm 399.28) | Ga- 74 Cs-134 |
| 10 | 988.31 | 661.78 | 2.39 | 1.6088 | 980- 1000 | 138585.00 | 129677.50 (\pm 384.05) | Cs-137 |
| 11 | 1187.85 | 796.11 | 2.49 | 1.6731 | 1181- 1192 | 90805.00 | 88081.00 (\pm 305.83) | Ac-228 Cs-134 |
| 12 | 1196.92 | 802.21 | 2.31 | 1.5541 | 1194- 1204 | 9955.00 | 7674.33 (\pm 110.61) | Cs-134 Tl-206 |
| 13 | 1320.16 | 885.18 | 2.36 | 1.5866 | 1317- 1323 | 534.00 | 159.50 (\pm 30.14) | Ag-110m |
| 14 | 1359.38 | 911.58 | 2.45 | 1.6475 | 1354- 1364 | 1126.00 | 555.83 (\pm 41.18) | Ac-228 |
| 15 | 1438.96 | 965.15 | 2.45 | 1.6520 | 1433- 1441 | 540.00 | 60.00 (\pm 31.94) | Ac-228 |
| 16 | 1445.30 | 969.42 | 2.46 | 1.6570 | 1443- 1449 | 621.00 | 219.67 (\pm 31.97) | Ac-228 |
| 17 | 1548.66 | 1039.00 | 2.68 | 1.8043 | 1544- 1554 | 1354.00 | 923.17 (\pm 42.25) | Cs-134 |
| 18 | 1670.12 | 1120.76 | 2.49 | 1.6770 | 1664- 1673 | 597.00 | 158.67 (\pm 32.18) | Bi-214 |
| 19 | 1740.90 | 1168.41 | 2.94 | 1.9764 | 1735- 1747 | 1968.00 | 1495.67 (\pm 49.40) | |
| 20 | 2033.85 | 1365.62 | 2.91 | 1.9620 | 2027- 2039 | 2410.00 | 2258.33 (\pm 50.61) | Cs-134 |
| 21 | 2052.45 | 1378.14 | 3.55 | 2.3894 | 2049- 2057 | 131.00 | 57.50 (\pm 14.30) | Bi-214 |
| 22 | 2175.89 | 1461.24 | 3.04 | 2.0475 | 2166- 2183 | 3726.00 | 3615.00 (\pm 61.94) | K - 40 |
| 23 | 2365.34 | 1588.77 | 2.54 | 1.7112 | 2361- 2367 | 81.00 | 22.67 (\pm 11.80) | Ac-228 |
| 24 | 2626.84 | 1764.81 | 3.13 | 2.1051 | 2621- 2631 | 179.00 | 151.50 (\pm 14.37) | Bi-214 |
| 25 | 3130.03 | 2103.55 | 4.57 | 3.0739 | 3122- 3135 | 134.00 | 92.00 (\pm 13.27) | |
| 26 | 3887.76 | 2613.64 | 3.37 | 2.2678 | 3878- 3894 | 459.00 | 453.33 (\pm 21.56) | |

図 51 家屋 B 屋外 in-situ 測定による γ 線スペクトルのピーク情報

スペクトルファイル名 : S2214

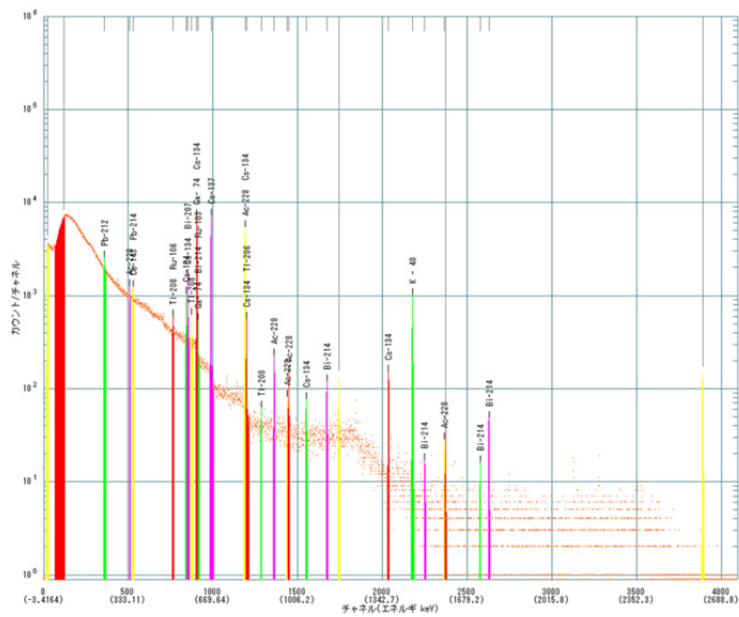


図 52 家屋B屋内での in-situ 測定による γ 線スペクトル

| No | ピーク中心 (ch) | ピーク中心 (keV) | FWHM (ch) | FWHM (keV) | ROI 領域 (ch) | グロス面積 (cnt) | ネット面積 \pm err (cnt) | 簡易定性核種 |
|----|---------------|----------------|--------------|---------------|----------------|----------------|--------------------------|----------------------|
| 1 | 25.12 | 13.49 | 7.87 | 5.2958 | 13- 28 | 31674.00 | 3911.33 (\pm 243.80) | |
| 2 | 118.97 | 76.66 | 5.32 | 3.5777 | 69- 123 | 282817.00 | 6405.33 (\pm 747.82) | |
| 3 | 358.49 | 237.87 | 1.90 | 1.2767 | 356- 369 | 27869.00 | 1521.00 (\pm 232.85) | Pb-212 |
| 4 | 507.18 | 337.95 | 1.54 | 1.0371 | 505- 512 | 8056.00 | 429.33 (\pm 125.23) | Ac-228 |
| 5 | 527.36 | 351.53 | 2.40 | 1.6145 | 524- 532 | 8995.00 | 845.50 (\pm 130.94) | Ce-143 Pb-214 |
| 6 | 764.05 | 510.84 | 2.07 | 1.3902 | 760- 768 | 4150.00 | 518.50 (\pm 88.21) | Tl-208 Ru-106 |
| 7 | 841.87 | 563.21 | 1.85 | 1.2429 | 836- 845 | 4837.00 | 1495.33 (\pm 90.44) | Cs-134 |
| 8 | 850.98 | 569.34 | 1.82 | 1.2282 | 847- 857 | 6294.00 | 2574.17 (\pm 100.07) | Cs-134 Bi-207 |
| 9 | 871.65 | 583.26 | 2.36 | 1.5856 | 869- 879 | 4168.00 | 739.67 (\pm 87.16) | Tl-208 |
| 10 | 903.65 | 604.79 | 2.25 | 1.5154 | 899- 907 | 18526.00 | 15707.50 (\pm 146.10) | Ga- 74 Cs-134 |
| 11 | 910.50 | 609.41 | 1.81 | 1.2208 | 909- 919 | 3134.00 | 98.00 (\pm 78.55) | Ga- 74 Bi-214 Ru-103 |
| 12 | 988.37 | 661.81 | 2.34 | 1.5728 | 980- 1001 | 20320.00 | 17452.67 (\pm 152.27) | Cs-137 |
| 13 | 1187.93 | 796.13 | 2.40 | 1.6130 | 1182- 1192 | 13714.00 | 12922.00 (\pm 120.44) | Ac-228 Cs-134 |
| 14 | 1196.94 | 802.20 | 2.29 | 1.5430 | 1194- 1209 | 1995.00 | 1059.00 (\pm 54.14) | Cs-134 Tl-206 |
| 15 | 1283.00 | 860.12 | 2.64 | 1.7751 | 1282- 1287 | 296.00 | 51.00 (\pm 23.26) | Tl-208 |
| 16 | 1359.44 | 911.57 | 2.77 | 1.8614 | 1355- 1364 | 877.00 | 557.00 (\pm 34.60) | Ac-228 |
| 17 | 1438.90 | 965.05 | 1.84 | 1.2352 | 1434- 1441 | 369.00 | 91.67 (\pm 25.42) | Ac-228 |
| 18 | 1445.38 | 969.41 | 2.62 | 1.7635 | 1443- 1451 | 624.00 | 253.50 (\pm 31.54) | Ac-228 |
| 19 | 1548.71 | 1038.96 | 2.85 | 1.9154 | 1546- 1555 | 449.00 | 139.00 (\pm 27.55) | Cs-134 |
| 20 | 1670.25 | 1120.76 | 2.48 | 1.6676 | 1666- 1676 | 572.00 | 267.67 (\pm 29.60) | Bi-214 |
| 21 | 1741.14 | 1168.48 | 2.37 | 1.5954 | 1737- 1746 | 573.00 | 271.33 (\pm 29.57) | |
| 22 | 2034.09 | 1365.65 | 2.47 | 1.6649 | 2029- 2039 | 508.00 | 407.17 (\pm 24.67) | Cs-134 |
| 23 | 2176.14 | 1461.25 | 3.26 | 2.1961 | 2166- 2185 | 3555.00 | 3405.00 (\pm 60.87) | K - 40 |
| 24 | 2248.38 | 1509.88 | 2.19 | 1.4734 | 2245- 2255 | 83.00 | 40.83 (\pm 11.19) | Bi-214 |
| 25 | 2365.08 | 1588.43 | 1.56 | 1.0471 | 2359- 2367 | 100.00 | 34.00 (\pm 12.88) | Ac-228 |
| 26 | 2371.87 | 1592.99 | 2.65 | 1.7819 | 2369- 2376 | 136.00 | 77.33 (\pm 13.95) | |
| 27 | 2575.84 | 1730.28 | 2.47 | 1.6594 | 2572- 2578 | 56.00 | 25.67 (\pm 9.29) | Bi-214 |
| 28 | 2627.20 | 1764.84 | 3.85 | 2.5946 | 2622- 2632 | 211.00 | 181.67 (\pm 15.50) | Bi-214 |
| 29 | 3888.23 | 2613.59 | 3.82 | 2.5682 | 3879- 3898 | 579.00 | 572.33 (\pm 24.20) | |

図 53 家屋B屋内 in-situ 測定による γ 線スペクトルのピーク情報

川俣町居宅B(屋外)での測定

測定日時: H24/2/21 13:35~

Filename: s2213.cap

測定時間 3600 sec

| E (keV) | 計数値 net | 換算係数 | | 測定結果 | | 核種名 | Error | | |
|---------|------------|---------|---------|---------------------------|-------|--------|--------|---------------------------|-------|
| | | Factor1 | Factor2 | Ci/km ² , Bq/g | nGy/h | | ± | Ci/km ² , Bq/g | nGy/h |
| 569.3 | 17897 | 2.85 | 0.0174 | 1.744 | 285.7 | | 197.86 | 0.0193 | 3.16 |
| 604.7 | 116755 | 17.4 | 0.106 | 1.864 | 306.0 | | 377.78 | 0.0060 | 0.99 |
| 662 | 126603 | 14 | 0.219 | 2.512 | 160.6 | Cs-137 | 374.5 | 0.0074 | 0.48 |
| 795.85 | 87998 | 12.6 | 0.0771 | 1.940 | 317.0 | Cs-134 | 304.66 | 0.0067 | 1.10 |
| 1460 | 3545 | 2.02 | 0.04852 | 0.487 | 20.3 | K-40 | 61.75 | 0.0085 | 0.35 |
| 1764 | 154 | 2.85 | 0.00617 | 0.015 | 6.9 | U-238 | 14.5 | 0.0014 | 0.65 |
| 2614 | 440 | 5.48 | 0.00908 | 0.022 | 13.5 | Th-232 | 21.73 | 0.0011 | 0.66 |

| | | kBq/m ² , Bq/g | nGy/h | TTL (nGy/h) | Err (kBq/m ² , Bq/g) |
|------|--------|---------------------------|-------|-------------|---------------------------------|
| 天然核種 | K-40 | 0.487 | 20.3 | 40.7 | 0.0085 |
| | U-238 | 0.015 | 6.9 | | 0.0014 |
| | Th-232 | 0.022 | 13.5 | | 0.0011 |
| 人工核種 | Cs-137 | 92.94 | 160.6 | 477.6 | 0.27 |
| | Cs-134 | 71.78 | 317.0 | | 0.25 |

in-situ 0.518 μGy/h

サーベイメータでの測定

TCS-171 0.55 μGy/h

図 54 家屋 B 屋外 in-situ 測定による空間線量率

川俣町居宅B(屋内)での測定

測定日時: H24/2/21 14:52~

Filename: s2214.cap

測定時間 3600 sec

| E (keV) | 計数値 net | 換算係数 | | 測定結果 | | 核種名 | Error | | |
|---------|------------|---------|---------|---------------------------|-------|--------|--------|---------------------------|-------|
| | | Factor1 | Factor2 | Ci/km ² , Bq/g | nGy/h | | ± | Ci/km ² , Bq/g | nGy/h |
| 569.3 | 2330 | 2.85 | 0.0174 | 0.227 | 37.2 | | 86.47 | 0.0084 | 1.38 |
| 604.7 | 15708 | 17.4 | 0.106 | 0.251 | 41.2 | | 146.1 | 0.0023 | 0.38 |
| 662 | 17101 | 14 | 0.219 | 0.339 | 21.7 | Cs-137 | 141.96 | 0.0028 | 0.18 |
| 795.85 | 12796 | 12.6 | 0.0771 | 0.282 | 46.1 | Cs-134 | 119.67 | 0.0026 | 0.43 |
| 1460 | 3376 | 2.02 | 0.04852 | 0.464 | 19.3 | K-40 | 60.23 | 0.0083 | 0.34 |
| 1764 | 176 | 2.85 | 0.00617 | 0.017 | 7.9 | U-238 | 15.23 | 0.0015 | 0.69 |
| 2614 | 561 | 5.48 | 0.00908 | 0.028 | 17.2 | Th-232 | 24.35 | 0.0012 | 0.74 |

| | | kBq/m ² , Bq/g | nGy/h | TTL (nGy/h) | Err (kBq/m ² , Bq/g) |
|------|--------|---------------------------|-------|-------------|---------------------------------|
| 天然核種 | K-40 | 0.464 | 19.3 | 44.4 | 0.0083 |
| | U-238 | 0.017 | 7.9 | | 0.0015 |
| | Th-232 | 0.028 | 17.2 | | 0.0012 |
| 人工核種 | Cs-137 | 12.55 | 21.7 | 67.8 | 0.10 |
| | Cs-134 | 10.44 | 46.1 | | 0.10 |

in-situ 0.112 μGy/h

サーベイメータでの測定

TCS-171 0.19 μGy/h

図 55 家屋 B 屋内 in-situ 測定による空間線量率

家屋 C

スペクトルファイル名 : S2221

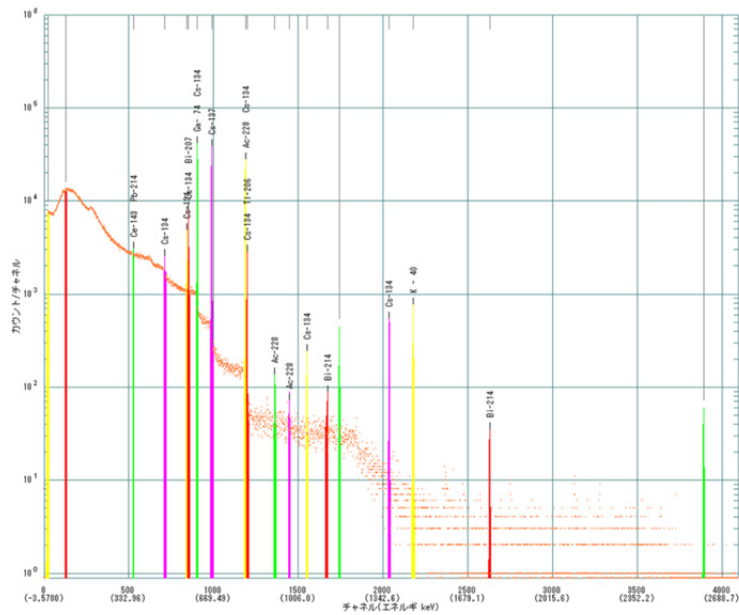


図 56 家屋 C 屋外での in-situ 測定による γ 線スペクトル

| No | ピーク中心 (ch) | ピーク中心 (keV) | FWHM (ch) | FWHM (keV) | ROI 領域 (ch) | グロス面積 (cnt) | ネット面積 ± err (cnt) | 簡易定性核種 |
|----|---------------|----------------|--------------|---------------|----------------|----------------|----------------------|---------------|
| 1 | 25.91 | 13.86 | 7.50 | 5.0492 | 12- 28 | 68471.00 | 4539.67 (± 363.87) | |
| 2 | 128.00 | 82.58 | -0.73 | -0.4913 | 125- 131 | 89592.00 | 848.33 (± 422.30) | |
| 3 | 526.86 | 351.04 | 1.35 | 0.9057 | 522- 529 | 21854.00 | 531.33 (± 207.79) | Ce-143 Pb-214 |
| 4 | 710.91 | 474.92 | 2.39 | 1.6089 | 708- 720 | 23655.00 | 1999.17 (± 212.86) | Cs-134 |
| 5 | 842.06 | 563.19 | 2.24 | 1.5073 | 838- 845 | 17442.00 | 8327.33 (± 162.96) | Cs-134 |
| 6 | 851.10 | 569.28 | 2.29 | 1.5400 | 847- 859 | 29680.00 | 16004.00 (± 208.22) | Cs-134 Bi-207 |
| 7 | 903.75 | 604.71 | 2.35 | 1.5826 | 899- 908 | 108207.00 | 99447.00 (± 342.00) | Ga- 74 Cs-134 |
| 8 | 988.48 | 661.74 | 2.58 | 1.7346 | 981- 996 | 112919.00 | 106985.67 (± 344.75) | Cs-137 |
| 9 | 1188.10 | 796.10 | 2.61 | 1.7574 | 1179- 1192 | 75698.00 | 72487.33 (± 280.91) | Ac-228 Cs-134 |
| 10 | 1197.13 | 802.18 | 2.49 | 1.6756 | 1194- 1206 | 8266.00 | 6459.00 (± 100.36) | Cs-134 Tl-206 |
| 11 | 1359.60 | 911.53 | 2.91 | 1.9605 | 1356- 1366 | 718.00 | 298.17 (± 33.73) | Ac-228 |
| 12 | 1445.48 | 969.34 | 2.35 | 1.5788 | 1443- 1449 | 401.00 | 100.00 (± 26.50) | Ac-228 |
| 13 | 1549.06 | 1039.05 | 3.28 | 2.2051 | 1544- 1553 | 1012.00 | 703.67 (± 36.34) | Cs-134 |
| 14 | 1670.39 | 1120.72 | 3.15 | 2.1201 | 1660- 1674 | 725.00 | 255.00 (± 34.57) | Bi-214 |
| 15 | 1741.27 | 1168.43 | 3.05 | 2.0518 | 1735- 1746 | 1640.00 | 1294.00 (± 44.56) | |
| 16 | 2034.25 | 1365.62 | 3.20 | 2.1548 | 2029- 2043 | 1935.00 | 1817.50 (± 45.30) | Cs-134 |
| 17 | 2176.37 | 1461.28 | 3.34 | 2.2456 | 2166- 2185 | 2764.00 | 2684.00 (± 53.33) | K - 40 |
| 18 | 2627.27 | 1764.77 | 2.80 | 1.8857 | 2620- 2635 | 162.00 | 146.00 (± 13.34) | Bi-214 |
| 19 | 3888.54 | 2613.70 | 3.65 | 2.4589 | 3882- 3896 | 253.00 | 250.50 (± 15.98) | |

図 57 家屋 C 屋外 in-situ 測定による γ 線スペクトルのピーク情報

スペクトルファイル名 : S2222

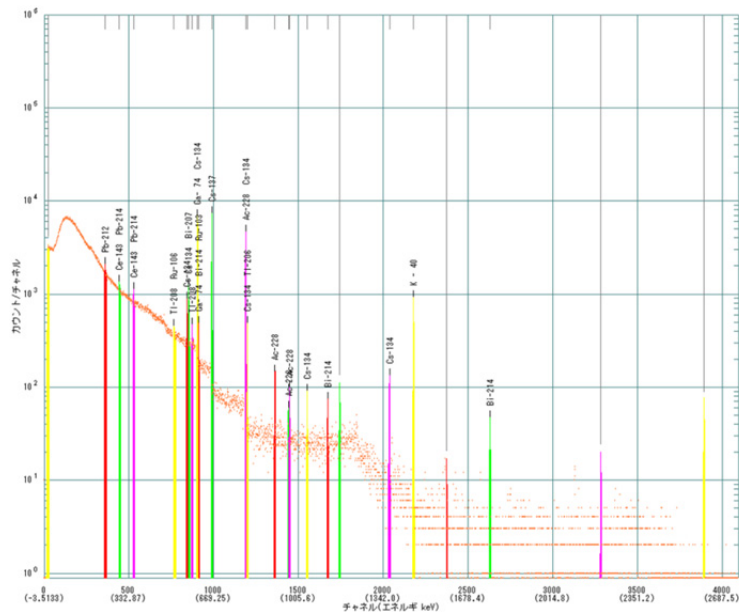


図 55 家屋C屋内での in-situ 測定による γ 線スペクトル

| No | ピーク中心 (ch) | ピーク中心 (keV) | FWHM (ch) | FWHM (keV) | ROI 領域 (ch) | グロス面積 (cnt) | ネット面積 \pm err (cnt) | 簡易定性核種 |
|----|---------------|----------------|--------------|---------------|----------------|----------------|--------------------------|----------------------|
| 1 | 23.00 | 11.96 | 6.54 | 4.3971 | 12- 28 | 29676.00 | 2793.33 (\pm 237.82) | |
| 2 | 358.37 | 237.59 | 2.09 | 1.4056 | 356- 368 | 23014.00 | 1265.00 (\pm 211.57) | Pb-212 |
| 3 | 443.01 | 294.53 | 1.58 | 1.0603 | 441- 451 | 12476.00 | 425.50 (\pm 156.61) | Ce-143 Pb-214 |
| 4 | 527.64 | 351.46 | 2.85 | 1.9207 | 524- 532 | 8038.00 | 946.00 (\pm 123.00) | Ce-143 Pb-214 |
| 5 | 764.44 | 510.77 | 2.41 | 1.6218 | 761- 774 | 5307.00 | 325.33 (\pm 101.43) | Tl-208 Ru-106 |
| 6 | 842.47 | 563.27 | 2.38 | 1.6028 | 837- 846 | 4514.00 | 1514.00 (\pm 86.68) | Cs-134 |
| 7 | 851.50 | 569.35 | 2.41 | 1.6244 | 848- 857 | 5496.00 | 2652.67 (\pm 91.32) | Cs-134 Bi-207 |
| 8 | 872.16 | 583.24 | 2.13 | 1.4325 | 869- 875 | 2366.00 | 383.83 (\pm 65.94) | Tl-208 |
| 9 | 904.22 | 604.81 | 2.33 | 1.5652 | 896- 908 | 19078.00 | 15854.00 (\pm 149.34) | Ga- 74 Cs-134 |
| 10 | 911.07 | 609.42 | 1.50 | 1.0124 | 910- 915 | 1758.00 | 213.00 (\pm 57.47) | Ga- 74 Bi-214 Ru-103 |
| 11 | 988.96 | 661.82 | 2.40 | 1.6172 | 984- 994 | 18956.00 | 17623.17 (\pm 142.44) | Cs-137 |
| 12 | 1188.62 | 796.15 | 2.58 | 1.7356 | 1183- 1193 | 13274.00 | 12656.17 (\pm 117.86) | Ac-228 Cs-134 |
| 13 | 1197.72 | 802.27 | 2.53 | 1.7033 | 1195- 1202 | 1503.00 | 1055.00 (\pm 44.17) | Cs-134 Tl-206 |
| 14 | 1360.32 | 911.66 | 2.78 | 1.8673 | 1355- 1364 | 611.00 | 359.33 (\pm 29.37) | Ac-228 |
| 15 | 1439.65 | 965.03 | 1.92 | 1.2919 | 1435- 1441 | 261.00 | 30.00 (\pm 22.18) | Ac-228 |
| 16 | 1445.90 | 969.23 | 2.59 | 1.7425 | 1443- 1449 | 364.00 | 175.00 (\pm 23.52) | Ac-228 |
| 17 | 1549.74 | 1039.09 | 1.48 | 0.9979 | 1546- 1555 | 383.00 | 133.00 (\pm 25.16) | Cs-134 |
| 18 | 1671.13 | 1120.76 | 3.22 | 2.1658 | 1666- 1675 | 405.00 | 178.33 (\pm 25.13) | Bi-214 |
| 19 | 1742.14 | 1168.53 | 2.98 | 2.0066 | 1736- 1747 | 561.00 | 281.00 (\pm 29.00) | |
| 20 | 2035.15 | 1365.66 | 3.04 | 2.0451 | 2027- 2041 | 517.00 | 419.50 (\pm 24.79) | Cs-134 |
| 21 | 2177.24 | 1461.25 | 2.97 | 1.9994 | 2171- 2183 | 2913.00 | 2845.83 (\pm 54.59) | K - 40 |
| 22 | 2373.18 | 1593.07 | 2.08 | 1.3978 | 2371- 2378 | 64.00 | 26.67 (\pm 10.07) | |
| 23 | 2628.55 | 1764.87 | 3.72 | 2.5008 | 2624- 2634 | 190.00 | 171.67 (\pm 14.43) | Bi-214 |
| 24 | 3281.35 | 2204.05 | 2.14 | 1.4382 | 3277- 3287 | 63.00 | 53.83 (\pm 8.50) | |
| 25 | 3889.94 | 2613.49 | 3.60 | 2.4246 | 3883- 3897 | 316.00 | 311.00 (\pm 17.92) | |

図 59 家屋C屋内 in-situ 測定による γ 線スペクトルのピーク情報

川俣町居宅C(屋外)での測定 測定日時: H24/2/22 8:51~

Filename: s2221.cap 測定時間: 3600sec

| E (keV) | 計数値 net | 換算係数 | | 測定結果 | | 核種名 | Error | | |
|---------|------------|---------|---------|---------------------------|-------|--------|--------|---------------------------|-------|
| | | Factor1 | Factor2 | Ci/km ² , Bq/g | nGy/h | | ± | Ci/km ² , Bq/g | nGy/h |
| 569.3 | 14392 | 2.85 | 0.0174 | 1.403 | 229.7 | | 180.4 | 0.0176 | 2.88 |
| 604.7 | 94622 | 17.4 | 0.106 | 1.511 | 248.0 | | 343.99 | 0.0055 | 0.90 |
| 662 | 103910 | 14 | 0.219 | 2.062 | 131.8 | Cs-137 | 341.35 | 0.0068 | 0.43 |
| 795.85 | 73362 | 12.6 | 0.0771 | 1.617 | 264.3 | Cs-134 | 277.18 | 0.0061 | 1.00 |
| 1460 | 2640 | 2.02 | 0.04852 | 0.363 | 15.1 | K-40 | 53 | 0.0073 | 0.30 |
| 1764 | 146 | 2.85 | 0.00617 | 0.014 | 6.6 | U-238 | 13.34 | 0.0013 | 0.60 |
| 2614 | 247 | 5.48 | 0.00908 | 0.013 | 7.6 | Th-232 | 16.08 | 0.0008 | 0.49 |

| | | kBq/m ² , Bq/g | nGy/h | TTL (nGy/h) | Err (kBq/m ² , Bq/g) |
|------|--------|---------------------------|-------|-------------|---------------------------------|
| 天然核種 | K-40 | 0.363 | 15.1 | 29.3 | 0.0073 |
| | U-238 | 0.014 | 6.6 | | 0.0013 |
| | Th-232 | 0.013 | 7.6 | | 0.0008 |
| 人工核種 | Cs-137 | 76.28 | 131.8 | 396.1 | 0.25 |
| | Cs-134 | 59.84 | 264.3 | | 0.23 |

in-situ 0.425 μGy/h

サーベイメータでの測定

TCS-171 0.45 μGy/h

図 60 家屋 C 屋外 in-situ 測定による空間線量率

川俣町居宅C(屋内)での測定 測定日時: H24/2/22 10:35~

Filename: s2222.cap 測定時間: 3600sec

| E (keV) | 計数値 net | 換算係数 | | 測定結果 | | 核種名 | Error | | |
|---------|------------|---------|---------|---------------------------|-------|--------|--------|---------------------------|-------|
| | | Factor1 | Factor2 | Ci/km ² , Bq/g | nGy/h | | ± | Ci/km ² , Bq/g | nGy/h |
| 569.3 | 1925 | 2.85 | 0.0174 | 0.188 | 30.7 | | 82.24 | 0.0080 | 1.31 |
| 604.7 | 15135 | 17.4 | 0.106 | 0.242 | 39.7 | | 142.69 | 0.0023 | 0.37 |
| 662 | 17479 | 14 | 0.219 | 0.347 | 22.2 | Cs-137 | 142.21 | 0.0028 | 0.18 |
| 795.85 | 12637 | 12.6 | 0.0771 | 0.279 | 45.5 | Cs-134 | 117.46 | 0.0026 | 0.42 |
| 1460 | 2832 | 2.02 | 0.04852 | 0.389 | 16.2 | K-40 | 54.8 | 0.0075 | 0.31 |
| 1764 | 170 | 2.85 | 0.00617 | 0.017 | 7.6 | U-238 | 14.36 | 0.0014 | 0.65 |
| 2614 | 310 | 5.48 | 0.00908 | 0.016 | 9.5 | Th-232 | 17.94 | 0.0009 | 0.55 |

| | | kBq/m ² , Bq/g | nGy/h | TTL (nGy/h) | Err (kBq/m ² , Bq/g) |
|------|--------|---------------------------|-------|-------------|---------------------------------|
| 天然核種 | K-40 | 0.389 | 16.2 | 33.3 | 0.0075 |
| | U-238 | 0.017 | 7.6 | | 0.0014 |
| | Th-232 | 0.016 | 9.5 | | 0.0009 |
| 人工核種 | Cs-137 | 12.83 | 22.2 | 67.7 | 0.10 |
| | Cs-134 | 10.31 | 45.5 | | 0.10 |

in-situ 0.101 μGy/h

サーベイメータでの測定

TCS-171 0.16 μGy/h

図 61 家屋 C 屋内 in-situ 測定による空間線量率

家屋 D

スペクトルファイル名 : S2223

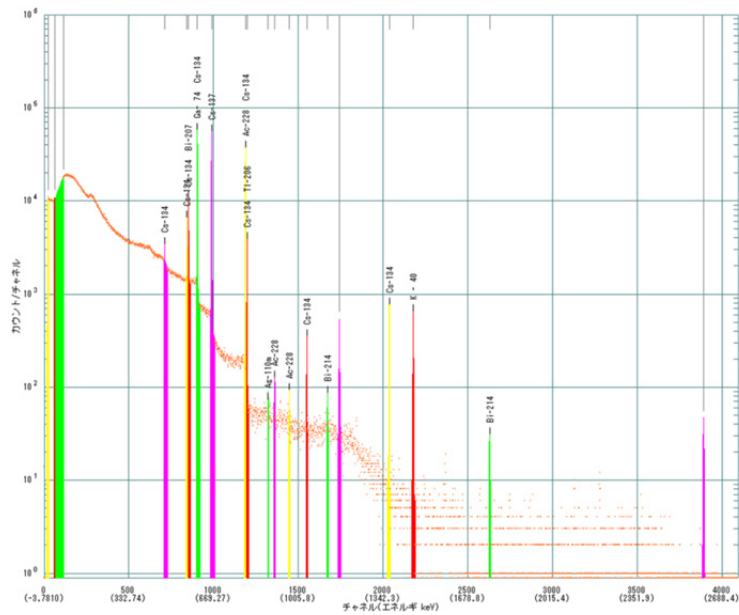


図 62 家屋D屋外での in-situ 測定による γ 線スペクトル

| No | ピーク中心 (ch) | ピーク中心 (keV) | FWHM (ch) | FWHM (keV) | ROI 領域 (ch) | グロス面積 (cnt) | ネット面積 \pm err (cnt) | 簡易定性核種 |
|----|---------------|----------------|--------------|---------------|----------------|----------------|----------------------------|---------------|
| 1 | 23.00 | 11.70 | 6.28 | 4.2296 | 12- 28 | 92001.00 | 3660.50 (\pm 424.67) | |
| 2 | 63.31 | 38.83 | 2.25 | 1.5129 | 57- 64 | 82029.00 | 511.67 (\pm 404.41) | |
| 3 | 114.93 | 73.57 | 1.42 | 0.9582 | 66- 115 | 693288.00 | -11828.67 (\pm 1182.54) | |
| 4 | 711.03 | 474.78 | 2.34 | 1.5767 | 708- 728 | 46432.00 | 2878.00 (\pm 299.98) | Cs-134 |
| 5 | 842.20 | 563.06 | 2.16 | 1.4568 | 837- 846 | 25880.00 | 11736.67 (\pm 200.06) | Cs-134 |
| 6 | 851.24 | 569.14 | 2.21 | 1.4950 | 848- 861 | 40834.00 | 20704.33 (\pm 246.91) | Cs-134 Bi-207 |
| 7 | 903.89 | 604.58 | 2.26 | 1.5219 | 899- 918 | 152801.00 | 132317.67 (\pm 416.27) | Ga- 74 Cs-134 |
| 8 | 988.62 | 661.60 | 2.44 | 1.6452 | 981- 1008 | 155062.00 | 142102.67 (\pm 409.90) | Cs-137 |
| 9 | 1188.27 | 795.98 | 2.49 | 1.6759 | 1181- 1192 | 99548.00 | 95220.00 (\pm 322.30) | Ac-228 Cs-134 |
| 10 | 1197.31 | 802.07 | 2.45 | 1.6521 | 1194- 1205 | 10891.00 | 9175.00 (\pm 112.28) | Cs-134 Tl-206 |
| 11 | 1320.55 | 885.01 | 3.10 | 2.0848 | 1318- 1324 | 430.00 | 109.17 (\pm 27.40) | Ag-110m |
| 12 | 1359.54 | 911.25 | 3.15 | 2.1168 | 1355- 1363 | 709.00 | 256.00 (\pm 34.09) | Ac-228 |
| 13 | 1445.58 | 969.16 | 2.49 | 1.6743 | 1443- 1449 | 428.00 | 111.83 (\pm 27.28) | Ac-228 |
| 14 | 1549.27 | 1038.95 | 2.93 | 1.9731 | 1544- 1553 | 1323.00 | 949.67 (\pm 41.19) | Cs-134 |
| 15 | 1670.90 | 1120.81 | 2.58 | 1.7379 | 1667- 1675 | 470.00 | 125.00 (\pm 28.55) | Bi-214 |
| 16 | 1741.52 | 1168.35 | 2.91 | 1.9584 | 1733- 1750 | 2114.00 | 1607.00 (\pm 51.20) | |
| 17 | 2034.59 | 1365.60 | 2.91 | 1.9572 | 2025- 2042 | 2635.00 | 2503.00 (\pm 52.60) | Cs-134 |
| 18 | 2176.68 | 1461.23 | 2.98 | 2.0079 | 2167- 2190 | 2164.00 | 2080.00 (\pm 47.41) | K - 40 |
| 19 | 2627.76 | 1764.82 | 4.19 | 2.8212 | 2623- 2635 | 155.00 | 135.50 (\pm 13.21) | Bi-214 |
| 20 | 3889.21 | 2613.84 | 4.57 | 3.0756 | 3880- 3898 | 224.00 | 217.67 (\pm 15.18) | |

図 63 家屋D屋外 in-situ 測定による γ 線スペクトルのピーク情報

スペクトルファイル名 : S2224

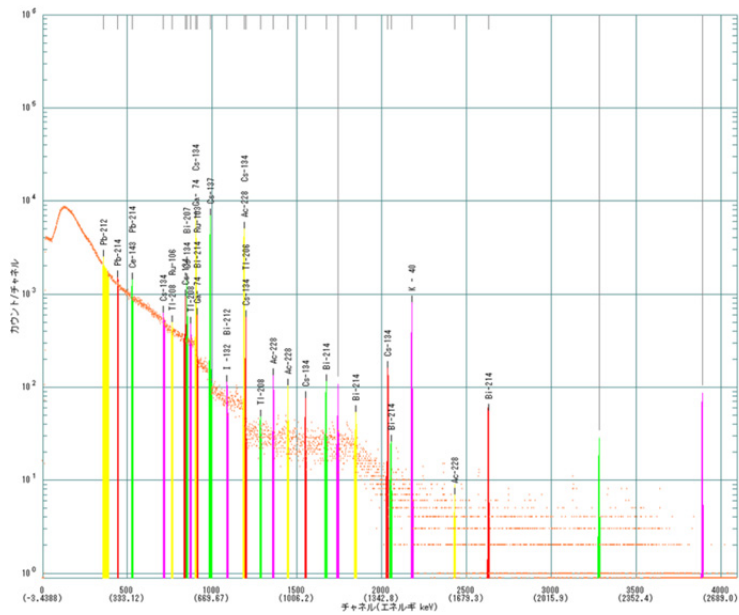


図 64 家屋D屋内での in-situ 測定による γ 線スペクトル

| No | ピーク中心 (ch) | ピーク中心 (keV) | FWHM (ch) | FWHM (keV) | ROI 領域 (ch) | グロス面積 (cnt) | ネット面積 \pm err (cnt) | 簡易定性核種 |
|----|---------------|----------------|--------------|---------------|----------------|----------------|--------------------------|----------------------|
| 1 | 358.40 | 237.80 | 2.01 | 1.3537 | 356- 387 | 59880.00 | 1240.00 (\pm 344.27) | Pb-212 |
| 2 | 442.81 | 294.62 | 2.36 | 1.5916 | 440- 446 | 9387.00 | 612.50 (\pm 134.76) | Pb-214 |
| 3 | 527.27 | 351.47 | 1.91 | 1.2873 | 523- 533 | 10972.00 | 1048.17 (\pm 144.55) | Ce-143 Pb-214 |
| 4 | 710.85 | 475.04 | 1.76 | 1.1872 | 709- 718 | 5338.00 | 229.67 (\pm 102.21) | Cs-134 |
| 5 | 763.48 | 510.47 | 3.49 | 2.3478 | 760- 769 | 4311.00 | 399.33 (\pm 90.68) | Tl-208 Ru-106 |
| 6 | 841.91 | 563.26 | 2.02 | 1.3604 | 834- 845 | 5297.00 | 1373.00 (\pm 96.03) | Cs-134 |
| 7 | 851.00 | 569.38 | 2.01 | 1.3519 | 847- 855 | 5157.00 | 2335.50 (\pm 89.32) | Cs-134 Bi-207 |
| 8 | 871.87 | 583.42 | 2.68 | 1.8029 | 869- 875 | 2577.00 | 443.17 (\pm 68.64) | Tl-208 |
| 9 | 903.63 | 604.80 | 2.29 | 1.5416 | 899- 907 | 17551.00 | 14849.50 (\pm 142.31) | Ga- 74 Cs-134 |
| 10 | 910.39 | 609.35 | 1.82 | 1.2240 | 909- 915 | 2305.00 | 327.50 (\pm 65.44) | Ga- 74 Bi-214 Ru-103 |
| 11 | 988.33 | 661.82 | 2.35 | 1.5786 | 979- 997 | 19304.00 | 17024.00 (\pm 146.91) | Cs-137 |
| 12 | 1086.32 | 727.77 | 2.05 | 1.3823 | 1084- 1092 | 711.00 | 114.00 (\pm 36.17) | I -132 Bi-212 |
| 13 | 1187.88 | 796.14 | 2.41 | 1.6206 | 1181- 1192 | 12996.00 | 12290.00 (\pm 117.06) | Ac-228 Cs-134 |
| 14 | 1196.93 | 802.22 | 2.13 | 1.4357 | 1194- 1201 | 1532.00 | 1122.67 (\pm 44.06) | Cs-134 Tl-206 |
| 15 | 1283.63 | 860.58 | 3.49 | 2.3492 | 1281- 1288 | 289.00 | 63.67 (\pm 22.68) | Tl-208 |
| 16 | 1359.43 | 911.61 | 2.81 | 1.8921 | 1353- 1364 | 659.00 | 317.00 (\pm 31.64) | Ac-228 |
| 17 | 1445.57 | 969.59 | 2.27 | 1.5269 | 1442- 1451 | 479.00 | 209.00 (\pm 27.37) | Ac-228 |
| 18 | 1548.61 | 1038.94 | 2.30 | 1.5450 | 1545- 1554 | 360.00 | 140.00 (\pm 24.08) | Cs-134 |
| 19 | 1670.29 | 1120.85 | 2.36 | 1.5863 | 1663- 1675 | 557.00 | 232.00 (\pm 29.70) | Bi-214 |
| 20 | 1741.19 | 1168.57 | 2.61 | 1.7571 | 1734- 1745 | 526.00 | 272.00 (\pm 27.93) | |
| 21 | 1845.66 | 1238.89 | 4.73 | 3.1867 | 1839- 1852 | 436.00 | 179.33 (\pm 26.32) | Bi-214 |
| 22 | 2034.03 | 1365.69 | 2.68 | 1.8048 | 2025- 2039 | 558.00 | 453.00 (\pm 25.75) | Cs-134 |
| 23 | 2052.54 | 1378.15 | 2.78 | 1.8696 | 2046- 2057 | 153.00 | 71.00 (\pm 15.33) | Bi-214 |
| 24 | 2176.00 | 1461.25 | 3.14 | 2.1141 | 2170- 2183 | 2686.00 | 2620.67 (\pm 52.45) | K - 40 |
| 25 | 2428.44 | 1631.17 | 2.46 | 1.6581 | 2425- 2431 | 33.00 | 17.83 (\pm 6.94) | Ac-228 |
| 26 | 2626.89 | 1764.75 | 3.55 | 2.3867 | 2621- 2635 | 247.00 | 224.50 (\pm 16.42) | Bi-214 |
| 27 | 3278.97 | 2203.67 | 1.61 | 1.0804 | 3270- 3284 | 84.00 | 64.00 (\pm 10.20) | |
| 28 | 3888.02 | 2613.62 | 3.86 | 2.5953 | 3880- 3894 | 341.00 | 341.00 (\pm 18.47) | |

図 65 家屋D屋内 in-situ 測定による γ 線スペクトルのピーク情報

川俣町居宅D(屋外)での測定

測定日時: H24/2/22 14:29~

Filename: s2223.cap

測定時間 3600sec

| E (keV) | 計数値 net | 換算係数 | | 測定結果 | | 核種名 | Error | | |
|---------|------------|---------|---------|---------------------------|-------|--------|--------|---------------------------|-------|
| | | Factor1 | Factor2 | Ci/km ² , Ba/g | nGy/h | | ± | Ci/km ² , Ba/g | nGy/h |
| 569.3 | 20962 | 2.85 | 0.0174 | 2.043 | 334.6 | | 211.71 | 0.0206 | 3.38 |
| 604.7 | 131345 | 17.4 | 0.106 | 2.097 | 344.2 | | 392.81 | 0.0063 | 1.03 |
| 662 | 139197 | 14 | 0.219 | 2.762 | 176.6 | Cs-137 | 393.82 | 0.0078 | 0.50 |
| 795.85 | 96557 | 12.6 | 0.0771 | 2.129 | 347.9 | Cs-134 | 318.74 | 0.0070 | 1.15 |
| 1460 | 2021 | 2.02 | 0.04852 | 0.278 | 11.6 | K-40 | 47.04 | 0.0065 | 0.27 |
| 1764 | 133 | 2.85 | 0.00617 | 0.013 | 6.0 | U-238 | 13.23 | 0.0013 | 0.60 |
| 2614 | 201 | 5.48 | 0.00908 | 0.010 | 6.2 | Th-232 | 15.45 | 0.0008 | 0.47 |

| | | kBa/m ² , Ba/g | nGy/h | TTL (nGy/h) | Err (kBa/m ² , Ba/g) |
|------|--------|---------------------------|-------|-------------|---------------------------------|
| 天然核種 | K-40 | 0.278 | 11.6 | 23.7 | 0.0065 |
| | U-238 | 0.013 | 6.0 | | 0.0013 |
| | Th-232 | 0.010 | 6.2 | | 0.0008 |
| 人工核種 | Cs-137 | 102.19 | 176.6 | 524.4 | 0.29 |
| | Cs-134 | 78.76 | 347.9 | | 0.26 |

in-situ 0.548 μGy/h

サーベイメータでの測定

TCS-171 0.61 μGy/h

図 66 家屋D屋外 in-situ 測定による空間線量率

川俣町居宅D(屋内)での測定

測定日時: H24/2/22 16:01~

Filename: s2224.cap

測定時間 3600sec

| E (keV) | 計数値 net | 換算係数 | | 測定結果 | | 核種名 | Error | | |
|---------|------------|---------|---------|---------------------------|-------|--------|--------|---------------------------|-------|
| | | Factor1 | Factor2 | Ci/km ² , Ba/g | nGy/h | | ± | Ci/km ² , Ba/g | nGy/h |
| 569.3 | 2208 | 2.85 | 0.0174 | 0.215 | 35.3 | | 86.1 | 0.0084 | 1.37 |
| 604.7 | 14757 | 17.4 | 0.106 | 0.236 | 38.7 | | 140.71 | 0.0022 | 0.37 |
| 662 | 16563 | 14 | 0.219 | 0.329 | 21.0 | Cs-137 | 139.18 | 0.0028 | 0.18 |
| 795.85 | 12079 | 12.6 | 0.0771 | 0.266 | 43.5 | Cs-134 | 116.15 | 0.0026 | 0.42 |
| 1460 | 2602 | 2.02 | 0.04852 | 0.358 | 14.9 | K-40 | 52.59 | 0.0072 | 0.30 |
| 1764 | 222 | 2.85 | 0.00617 | 0.022 | 10.0 | U-238 | 16.25 | 0.0016 | 0.73 |
| 2614 | 338 | 5.48 | 0.00908 | 0.017 | 10.3 | Th-232 | 18.54 | 0.0009 | 0.57 |

| | | kBa/m ² , Ba/g | nGy/h | TTL (nGy/h) | Err (kBa/m ² , Ba/g) |
|------|--------|---------------------------|-------|-------------|---------------------------------|
| 天然核種 | K-40 | 0.358 | 14.9 | 35.2 | 0.0072 |
| | U-238 | 0.022 | 10.0 | | 0.0016 |
| | Th-232 | 0.017 | 10.3 | | 0.0009 |
| 人工核種 | Cs-137 | 12.16 | 21.0 | 64.5 | 0.10 |
| | Cs-134 | 9.85 | 43.5 | | 0.09 |

in-situ 0.100 μGy/h

サーベイメータでの測定

TCS-171 0.18 μGy/h

図 67 家屋D屋内 in-situ 測定による空間線量率

家屋 E

スペクトルファイル名 : S2261

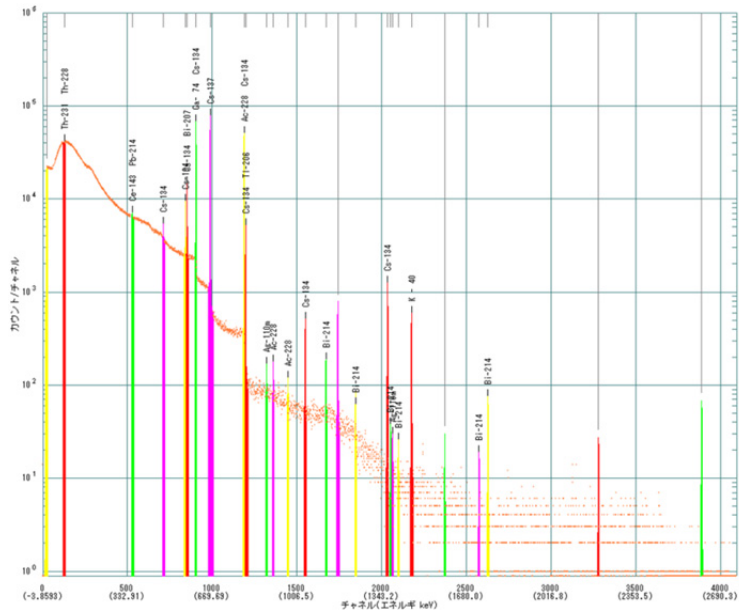


図 68 家屋 E 屋外での in-situ 測定による γ 線スペクトル

| No | ピーク中心 (ch) | ピーク中心 (keV) | FWHM (ch) | FWHM (keV) | ROI 領域 (ch) | グロス面積 (cnt) | ネット面積 \pm err (cnt) | 簡易定性核種 |
|----|---------------|----------------|--------------|---------------|----------------|----------------|---------------------------|---------------|
| 1 | 26.40 | 13.92 | 7.77 | 5.2364 | 12- 28 | 192589.00 | 7830.17 (\pm 614.29) | |
| 2 | 129.98 | 83.69 | 1.93 | 1.3019 | 121- 131 | 439070.00 | 2382.83 (\pm 935.82) | Th-231 Th-228 |
| 3 | 527.06 | 351.14 | 1.92 | 1.2957 | 522- 535 | 90190.00 | 1871.00 (\pm 422.50) | Ce-143 Pb-214 |
| 4 | 711.00 | 475.03 | 2.11 | 1.4181 | 708- 720 | 51644.00 | 3827.83 (\pm 315.37) | Cs-134 |
| 5 | 841.84 | 563.16 | 2.08 | 1.3987 | 834- 845 | 45300.00 | 14898.00 (\pm 275.14) | Cs-134 |
| 6 | 850.87 | 569.24 | 2.17 | 1.4611 | 847- 859 | 58754.00 | 27170.50 (\pm 300.56) | Cs-134 Bi-207 |
| 7 | 903.50 | 604.69 | 2.42 | 1.6294 | 898- 908 | 193690.00 | 170980.50 (\pm 465.19) | Ga- 74 Cs-134 |
| 8 | 988.17 | 661.72 | 2.35 | 1.5808 | 976- 1006 | 215549.00 | 190020.50 (\pm 491.00) | Cs-137 |
| 9 | 1187.63 | 796.06 | 2.49 | 1.6785 | 1180- 1192 | 138640.00 | 133654.50 (\pm 378.98) | Ac-228 Cs-134 |
| 10 | 1196.68 | 802.16 | 2.37 | 1.5968 | 1194- 1209 | 15522.00 | 8847.33 (\pm 148.99) | Cs-134 Tl-206 |
| 11 | 1319.56 | 884.92 | 2.14 | 1.4381 | 1316- 1325 | 1062.00 | 253.67 (\pm 43.25) | Ag-110m |
| 12 | 1358.95 | 911.46 | 2.52 | 1.6998 | 1355- 1362 | 863.00 | 239.00 (\pm 38.56) | Ac-228 |
| 13 | 1444.83 | 969.30 | 1.83 | 1.2311 | 1442- 1451 | 741.00 | 142.67 (\pm 36.60) | Ac-228 |
| 14 | 1548.25 | 1038.96 | 2.90 | 1.9501 | 1542- 1554 | 2076.00 | 1432.50 (\pm 52.15) | Cs-134 |
| 15 | 1669.56 | 1120.66 | 2.46 | 1.6569 | 1666- 1676 | 917.00 | 381.67 (\pm 38.11) | Bi-214 |
| 16 | 1740.45 | 1168.41 | 3.01 | 2.0291 | 1733- 1749 | 3102.00 | 2458.83 (\pm 61.20) | |
| 17 | 1844.70 | 1238.63 | 2.99 | 2.0107 | 1841- 1848 | 360.00 | 136.00 (\pm 24.17) | Bi-214 |
| 18 | 2033.26 | 1365.63 | 3.00 | 2.0184 | 2024- 2039 | 4104.00 | 3944.00 (\pm 65.30) | Cs-134 |
| 19 | 2052.28 | 1378.44 | 2.87 | 1.9322 | 2047- 2056 | 161.00 | 96.00 (\pm 15.03) | Bi-214 |
| 20 | 2062.08 | 1385.05 | 3.65 | 2.4610 | 2058- 2069 | 191.00 | 93.00 (\pm 17.00) | Ag-110m |
| 21 | 2096.87 | 1408.48 | 2.97 | 2.0034 | 2093- 2103 | 151.00 | 64.83 (\pm 15.40) | Bi-214 |
| 22 | 2175.21 | 1461.24 | 2.97 | 1.9991 | 2167- 2184 | 2022.00 | 1884.00 (\pm 46.48) | K - 40 |
| 23 | 2370.86 | 1593.02 | 1.37 | 0.9198 | 2369- 2376 | 91.00 | 41.67 (\pm 11.85) | |
| 24 | 2573.72 | 1729.65 | 2.85 | 1.9179 | 2568- 2577 | 72.00 | 52.00 (\pm 9.59) | Bi-214 |
| 25 | 2625.92 | 1764.81 | 3.30 | 2.2219 | 2618- 2634 | 311.00 | 268.50 (\pm 18.80) | Bi-214 |
| 26 | 3278.37 | 2204.27 | 3.16 | 2.1273 | 3273- 3282 | 96.00 | 81.00 (\pm 10.54) | |
| 27 | 3886.28 | 2613.72 | 4.49 | 3.0271 | 3878- 3895 | 325.00 | 322.00 (\pm 18.11) | |

図 69 家屋 E 屋外 in-situ 測定による γ 線スペクトルのピーク情報

スペクトルファイル名 : S2262

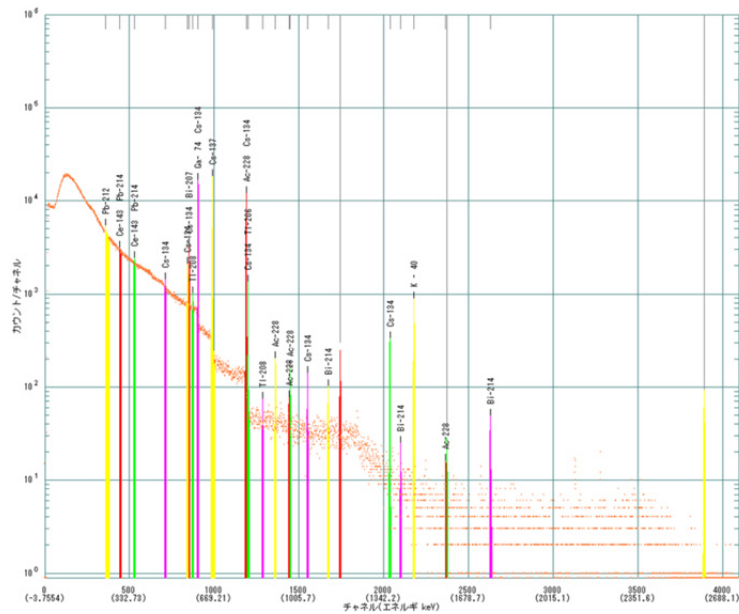


図 70 家屋E屋内での in-situ 測定による γ 線スペクトル

| No | ピーク中心 (ch) | ピーク中心 (keV) | FWHM (ch) | FWHM (keV) | ROI 領域 (ch) | グロス面積 (cnt) | ネット面積 \pm err (cnt) | 簡易定性核種 |
|----|---------------|----------------|--------------|---------------|----------------|----------------|--------------------------|---------------|
| 1 | 358.83 | 237.73 | 1.98 | 1.3311 | 357- 380 | 104391.00 | 747.00 (\pm 456.11) | Pb-212 |
| 2 | 442.83 | 294.26 | 2.15 | 1.4488 | 441- 448 | 23432.00 | 637.33 (\pm 215.00) | Ce-143 Pb-214 |
| 3 | 528.07 | 351.62 | 2.33 | 1.5702 | 525- 532 | 17601.00 | 747.67 (\pm 185.62) | Ce-143 Pb-214 |
| 4 | 711.16 | 474.83 | 2.02 | 1.3617 | 708- 716 | 11273.00 | 725.00 (\pm 147.72) | Cs-134 |
| 5 | 842.56 | 563.26 | 2.42 | 1.6313 | 839- 846 | 9576.00 | 3337.33 (\pm 125.76) | Cs-134 |
| 6 | 851.62 | 569.36 | 2.23 | 1.5023 | 848- 856 | 13038.00 | 6141.00 (\pm 141.19) | Cs-134 Bi-207 |
| 7 | 872.31 | 583.28 | 2.09 | 1.4081 | 869- 875 | 5555.00 | 645.67 (\pm 102.30) | Tl-208 |
| 8 | 904.32 | 604.82 | 2.33 | 1.5698 | 898- 908 | 46007.00 | 38994.50 (\pm 230.26) | Ga- 74 Cs-134 |
| 9 | 989.02 | 661.82 | 2.37 | 1.5966 | 981- 1001 | 49450.00 | 43727.50 (\pm 234.89) | Cs-137 |
| 10 | 1188.62 | 796.14 | 2.58 | 1.7389 | 1182- 1193 | 33955.00 | 32525.00 (\pm 188.11) | Ac-228 Cs-134 |
| 11 | 1197.70 | 802.25 | 2.35 | 1.5832 | 1195- 1205 | 4012.00 | 2644.33 (\pm 73.35) | Cs-134 Tl-208 |
| 12 | 1284.69 | 860.79 | 2.88 | 1.9354 | 1282- 1288 | 360.00 | 82.33 (\pm 25.25) | Tl-208 |
| 13 | 1360.16 | 911.59 | 2.71 | 1.8220 | 1356- 1364 | 806.00 | 446.00 (\pm 34.15) | Ac-228 |
| 14 | 1440.00 | 965.32 | 1.62 | 1.0935 | 1436- 1442 | 367.00 | 76.50 (\pm 25.64) | Ac-228 |
| 15 | 1446.19 | 969.48 | 1.97 | 1.3251 | 1444- 1450 | 529.00 | 215.17 (\pm 29.03) | Ac-228 |
| 16 | 1549.66 | 1039.11 | 3.13 | 2.1059 | 1546- 1553 | 599.00 | 321.67 (\pm 29.60) | Cs-134 |
| 17 | 1670.95 | 1120.74 | 3.01 | 2.0272 | 1667- 1676 | 539.00 | 225.67 (\pm 29.19) | Bi-214 |
| 18 | 1741.87 | 1168.47 | 2.92 | 1.9679 | 1736- 1746 | 995.00 | 677.83 (\pm 36.22) | |
| 19 | 2034.77 | 1365.58 | 3.24 | 2.1782 | 2030- 2040 | 1182.00 | 1083.00 (\pm 35.79) | Cs-134 |
| 20 | 2098.26 | 1408.30 | 2.18 | 1.4686 | 2095- 2102 | 105.00 | 42.33 (\pm 12.95) | Bi-214 |
| 21 | 2177.04 | 1461.32 | 3.34 | 2.2483 | 2170- 2182 | 3176.00 | 3076.33 (\pm 57.23) | K - 40 |
| 22 | 2365.00 | 1587.81 | 2.79 | 1.8761 | 2362- 2368 | 67.00 | 21.50 (\pm 10.61) | Ac-228 |
| 23 | 2372.71 | 1593.00 | 1.68 | 1.1338 | 2370- 2377 | 93.00 | 46.33 (\pm 11.82) | |
| 24 | 2627.93 | 1764.75 | 4.23 | 2.8462 | 2622- 2637 | 227.00 | 187.00 (\pm 16.34) | Bi-214 |
| 25 | 3889.25 | 2613.58 | 4.29 | 2.8864 | 3881- 3898 | 453.00 | 453.00 (\pm 21.28) | |

図 71 家屋E屋内 in-situ 測定による γ 線スペクトルのピーク情報

山木屋地区居宅E(屋外)での測定 測定日時: H24/2/26 14:55~

Filename: s2261.cap 測定時間 3600sec

| E (keV) | 計数値 net | 換算係数 | | 測定結果 | | 核種名 | Error | | |
|---------|------------|---------|---------|---------------------------|-------|--------|--------|---------------------------|-------|
| | | Factor1 | Factor2 | Ci/km ² , Bq/g | nGy/h | | ± | Ci/km ² , Bq/g | nGy/h |
| 569.3 | 24815 | 2.85 | 0.0174 | 2.419 | 396.2 | | 253.56 | 0.0247 | 4.05 |
| 604.7 | 164730 | 17.4 | 0.106 | 2.630 | 431.7 | | 458.24 | 0.0073 | 1.20 |
| 662 | 187473 | 14 | 0.219 | 3.720 | 237.8 | Cs-137 | 459.49 | 0.0091 | 0.58 |
| 795.85 | 133054 | 12.6 | 0.0771 | 2.933 | 479.4 | Cs-134 | 376.84 | 0.0083 | 1.36 |
| 1460 | 1855 | 2.02 | 0.04852 | 0.255 | 10.6 | K-40 | 45.84 | 0.0063 | 0.26 |
| 1764 | 253 | 2.85 | 0.00617 | 0.025 | 11.4 | U-238 | 18.85 | 0.0018 | 0.85 |
| 2614 | 319 | 5.48 | 0.00908 | 0.016 | 9.8 | Th-232 | 18.18 | 0.0009 | 0.56 |

| | | kBq/m ² , Bq/g | nGy/h | TTL (nGy/h) | Err (kBq/m ² , Bq/g) |
|------|--------|---------------------------|-------|-------------|---------------------------------|
| 天然核種 | K-40 | 0.255 | 10.6 | 31.8 | 0.0063 |
| | U-238 | 0.025 | 11.4 | | 0.0018 |
| | Th-232 | 0.016 | 9.8 | | 0.0009 |
| 人工核種 | Cs-137 | 137.63 | 237.8 | | 0.34 |
| | Cs-134 | 109.53 | 479.4 | 717.2 | 0.31 |

in-situ 0.749 μGy/h

サーベイメータでの測定

TCS-171 1.02 μGy/h

図 72 家屋 E 屋外 in-situ 測定による空間線量率

山木屋地区居宅E(屋内)での測定 測定日時: H24/2/26 16:25~

Filename: s2262.cap 測定時間 3600sec

| E (keV) | 計数値 net | 換算係数 | | 測定結果 | | 核種名 | Error | | |
|---------|------------|---------|---------|---------------------------|-------|--------|--------|---------------------------|-------|
| | | Factor1 | Factor2 | Ci/km ² , Bq/g | nGy/h | | ± | Ci/km ² , Bq/g | nGy/h |
| 569.3 | 5915 | 2.85 | 0.0174 | 0.577 | 94.4 | | 136.63 | 0.0133 | 2.18 |
| 604.7 | 37793 | 17.4 | 0.106 | 0.603 | 99.0 | | 223.76 | 0.0036 | 0.59 |
| 662 | 43120 | 14 | 0.219 | 0.856 | 54.7 | Cs-137 | 222.29 | 0.0044 | 0.28 |
| 795.85 | 32350 | 12.6 | 0.0771 | 0.713 | 116.6 | Cs-134 | 187.02 | 0.0041 | 0.67 |
| 1460 | 3078 | 2.02 | 0.04852 | 0.423 | 17.6 | K-40 | 57.34 | 0.0079 | 0.33 |
| 1764 | 179 | 2.85 | 0.00617 | 0.017 | 8.0 | U-238 | 16.54 | 0.0016 | 0.74 |
| 2614 | 445 | 5.48 | 0.00908 | 0.023 | 13.6 | Th-232 | 21.48 | 0.0011 | 0.66 |

| | | kBq/m ² , Bq/g | nGy/h | TTL (nGy/h) | Err (kBq/m ² , Bq/g) |
|------|--------|---------------------------|-------|-------------|---------------------------------|
| 天然核種 | K-40 | 0.423 | 17.6 | 39.3 | 0.0079 |
| | U-238 | 0.017 | 8.0 | | 0.0016 |
| | Th-232 | 0.023 | 13.6 | | 0.0011 |
| 人工核種 | Cs-137 | 31.66 | 54.7 | | 0.16 |
| | Cs-134 | 26.39 | 116.6 | 171.2 | 0.15 |

in-situ 0.210 μGy/h

サーベイメータでの測定

TCS-171 0.39 μGy/h

図 73 家屋 E 屋内 in-situ 測定による空間線量率

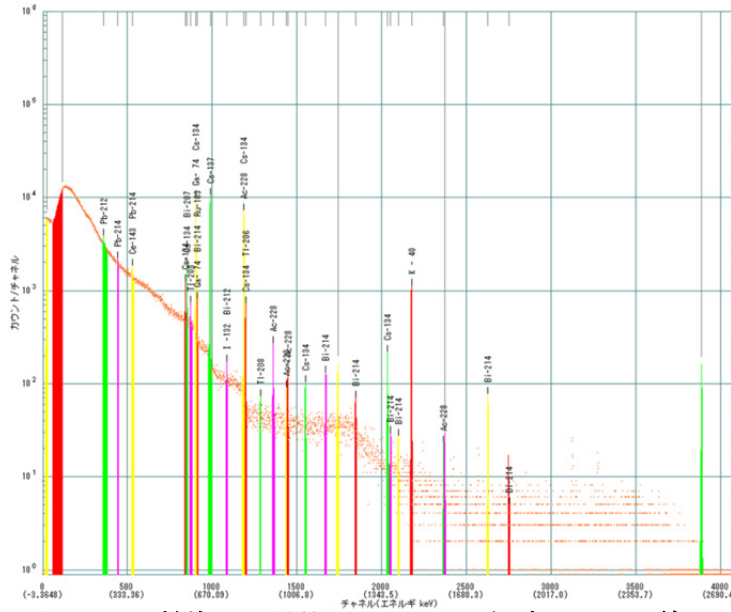


図 74 文教施設 A 屋外での in-situ 測定による γ 線スペクトル

| No | ピーク中心 (ch) | ピーク中心 (keV) | FWHM (ch) | FWHM (keV) | ROI 領域 (ch) | クロス面積 (cnt) | ネット面積 \pm err (cnt) | 簡易定性核種 |
|----|---------------|----------------|--------------|---------------|----------------|----------------|---------------------------|----------------------|
| 1 | 25.38 | 13.73 | 7.60 | 5.1150 | 12- 28 | 53684.00 | 4106.33 (\pm 321.34) | |
| 2 | 114.85 | 73.98 | 1.13 | 0.7611 | 57- 115 | 473806.00 | -36475.17 (\pm 992.01) | |
| 3 | 358.16 | 237.84 | 2.07 | 1.3910 | 356- 380 | 75371.00 | 1462.67 (\pm 386.37) | Pb-212 |
| 4 | 442.73 | 294.79 | 1.92 | 1.2902 | 441- 447 | 13978.00 | 374.67 (\pm 166.08) | Pb-214 |
| 5 | 526.89 | 351.47 | 1.74 | 1.1691 | 524- 535 | 17410.00 | 1140.00 (\pm 183.52) | Ce-143 Pb-214 |
| 6 | 841.48 | 563.33 | 2.28 | 1.5367 | 837- 845 | 6334.00 | 1994.50 (\pm 103.31) | Cs-134 |
| 7 | 850.55 | 569.44 | 2.28 | 1.5330 | 847- 855 | 7578.00 | 3487.50 (\pm 108.02) | Cs-134 Bi-207 |
| 8 | 870.95 | 583.18 | 2.16 | 1.4571 | 866- 879 | 6766.00 | 778.67 (\pm 112.93) | Tl-208 |
| 9 | 903.18 | 604.88 | 2.18 | 1.4660 | 896- 907 | 26311.00 | 21877.00 (\pm 175.34) | Ga- 74 Cs-134 |
| 10 | 909.91 | 609.42 | 1.37 | 0.9225 | 909- 914 | 2782.00 | 235.00 (\pm 73.00) | Ga- 74 Bi-214 Ru-103 |
| 11 | 987.81 | 661.88 | 2.26 | 1.5222 | 977- 999 | 28659.00 | 24572.67 (\pm 180.96) | Cs-137 |
| 12 | 1085.30 | 727.53 | 2.08 | 1.3989 | 1082- 1088 | 880.00 | 143.83 (\pm 40.20) | I -132 Bi-212 |
| 13 | 1187.29 | 796.22 | 2.38 | 1.6060 | 1177- 1191 | 19384.00 | 17754.00 (\pm 144.96) | Ac-228 Cs-134 |
| 14 | 1196.33 | 802.31 | 2.48 | 1.6694 | 1193- 1204 | 2434.00 | 1650.00 (\pm 56.73) | Cs-134 Tl-206 |
| 15 | 1283.44 | 860.97 | 2.43 | 1.6364 | 1280- 1286 | 391.00 | 84.17 (\pm 26.42) | Tl-208 |
| 16 | 1358.67 | 911.63 | 2.42 | 1.6271 | 1355- 1369 | 1204.00 | 631.50 (\pm 42.15) | Ac-228 |
| 17 | 1438.29 | 965.26 | 2.06 | 1.3869 | 1433- 1440 | 435.00 | 81.67 (\pm 28.08) | Ac-228 |
| 18 | 1444.48 | 969.42 | 2.78 | 1.8721 | 1442- 1450 | 637.00 | 254.50 (\pm 31.93) | Ac-228 |
| 19 | 1547.82 | 1039.02 | 2.76 | 1.8609 | 1544- 1553 | 522.00 | 202.00 (\pm 29.02) | Cs-134 |
| 20 | 1669.39 | 1120.89 | 2.56 | 1.7270 | 1664- 1674 | 654.00 | 302.00 (\pm 31.72) | Bi-214 |
| 21 | 1740.16 | 1168.55 | 2.44 | 1.6403 | 1734- 1745 | 786.00 | 368.00 (\pm 34.70) | |
| 22 | 1844.17 | 1238.60 | 2.88 | 1.9413 | 1841- 1849 | 405.00 | 109.50 (\pm 26.47) | Bi-214 |
| 23 | 2032.89 | 1365.69 | 2.48 | 1.6705 | 2027- 2040 | 732.00 | 573.33 (\pm 29.84) | Cs-134 |
| 24 | 2051.46 | 1378.20 | 2.99 | 2.0149 | 2047- 2055 | 179.00 | 72.50 (\pm 16.90) | Bi-214 |
| 25 | 2095.65 | 1407.96 | 3.14 | 2.1162 | 2092- 2101 | 151.00 | 62.67 (\pm 15.47) | Bi-214 |
| 26 | 2174.83 | 1461.28 | 2.95 | 1.9837 | 2167- 2181 | 3606.00 | 3488.50 (\pm 61.02) | K - 40 |
| 27 | 2364.14 | 1588.77 | 2.41 | 1.6208 | 2361- 2366 | 82.00 | 26.00 (\pm 11.75) | Ac-228 |
| 28 | 2370.60 | 1593.12 | 3.04 | 2.0442 | 2368- 2376 | 125.00 | 62.00 (\pm 13.71) | |
| 29 | 2625.62 | 1764.87 | 3.16 | 2.1290 | 2619- 2630 | 285.00 | 239.00 (\pm 18.19) | Bi-214 |
| 30 | 2748.65 | 1847.72 | 1.18 | 0.7949 | 2746- 2753 | 55.00 | 27.00 (\pm 9.11) | Bi-214 |
| 31 | 3886.03 | 2613.70 | 3.45 | 2.3225 | 3874- 3893 | 616.00 | 612.67 (\pm 24.89) | |

図 75 文教施設 A 屋外 in-situ 測定による γ 線スペクトルのピーク情報

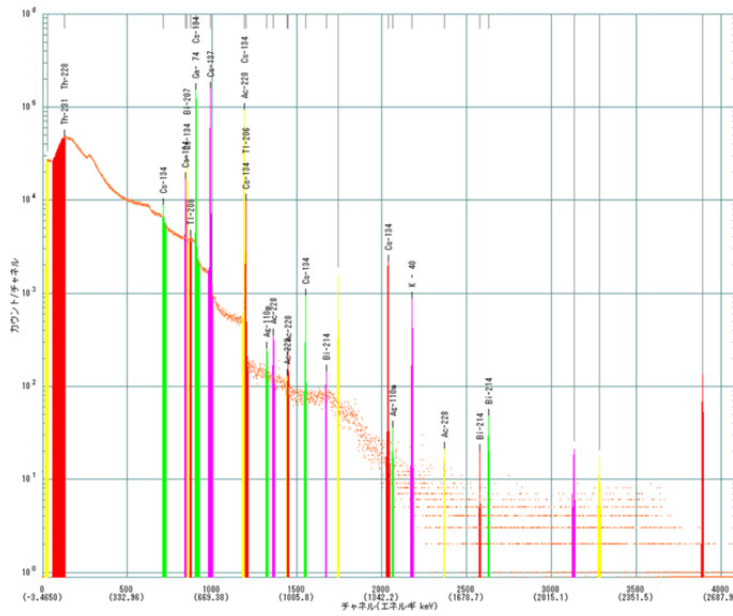


図 76 文教施設 A 屋内での in-situ 測定による γ 線スペクトル

| No | ピーク中心 (ch) | ピーク中心 (keV) | FWHM (ch) | FWHM (keV) | ROI 領域 (ch) | グロス面積 (cnt) | ネット面積 \pm err (cnt) | 簡易定性核種 |
|----|---------------|----------------|--------------|---------------|----------------|----------------|---------------------------|---------------|
| 1 | 27.00 | 14.70 | 11.87 | 7.9860 | 13- 32 | 341829.00 | 81295.67 (\pm 776.12) | |
| 2 | 129.90 | 83.94 | 1.76 | 1.1844 | 57- 131 | 2732921.00 | 46571.00 (\pm 2327.93) | Th-231 Th-228 |
| 3 | 711.35 | 475.17 | 2.48 | 1.6708 | 708- 728 | 127743.00 | 5810.00 (\pm 499.68) | Cs-134 |
| 4 | 842.40 | 563.34 | 2.36 | 1.5904 | 837- 846 | 71532.00 | 32642.00 (\pm 332.30) | Cs-134 |
| 5 | 851.44 | 569.42 | 2.47 | 1.6635 | 848- 859 | 104875.00 | 57753.00 (\pm 389.87) | Cs-134 Bi-207 |
| 6 | 872.06 | 583.30 | 2.18 | 1.4688 | 866- 875 | 37564.00 | 989.00 (\pm 272.28) | Tl-208 |
| 7 | 904.12 | 604.87 | 2.36 | 1.5896 | 898- 924 | 438417.00 | 363496.50 (\pm 716.48) | Ga- 74 Cs-134 |
| 8 | 988.83 | 661.87 | 2.46 | 1.6528 | 977- 1004 | 431675.00 | 395438.33 (\pm 684.04) | Cs-137 |
| 9 | 1188.48 | 796.20 | 2.68 | 1.8019 | 1178- 1193 | 277760.00 | 266410.67 (\pm 537.69) | Ac-228 Cs-134 |
| 10 | 1197.53 | 802.29 | 2.37 | 1.5948 | 1195- 1209 | 30390.00 | 15280.00 (\pm 213.31) | Cs-134 Tl-206 |
| 11 | 1320.75 | 885.20 | 3.14 | 2.1125 | 1316- 1328 | 2187.00 | 425.50 (\pm 62.84) | Ag-110m |
| 12 | 1359.96 | 911.58 | 2.78 | 1.8734 | 1353- 1366 | 2347.00 | 734.67 (\pm 62.92) | Ac-228 |
| 13 | 1439.97 | 965.42 | 2.48 | 1.6677 | 1437- 1441 | 553.00 | 52.17 (\pm 32.46) | Ac-228 |
| 14 | 1446.08 | 969.53 | 2.23 | 1.4987 | 1443- 1450 | 1076.00 | 302.67 (\pm 43.00) | Ac-228 |
| 15 | 1549.42 | 1039.06 | 2.75 | 1.8476 | 1540- 1555 | 3873.00 | 2734.33 (\pm 70.79) | Cs-134 |
| 16 | 1671.28 | 1121.05 | 2.48 | 1.6668 | 1667- 1674 | 811.00 | 157.67 (\pm 38.27) | Bi-214 |
| 17 | 1741.72 | 1168.45 | 2.79 | 1.8759 | 1736- 1747 | 5196.00 | 4456.00 (\pm 77.05) | |
| 18 | 2034.79 | 1365.63 | 3.05 | 2.0500 | 2024- 2044 | 7185.00 | 6884.00 (\pm 86.52) | Cs-134 |
| 19 | 2063.31 | 1384.82 | 2.89 | 1.9419 | 2059- 2069 | 196.00 | 87.83 (\pm 17.44) | Ag-110m |
| 20 | 2176.93 | 1461.27 | 3.27 | 2.1970 | 2168- 2187 | 3143.00 | 2986.33 (\pm 57.44) | K - 40 |
| 21 | 2366.33 | 1588.71 | 1.93 | 1.2957 | 2362- 2368 | 89.00 | 24.83 (\pm 12.38) | Ac-228 |
| 22 | 2576.46 | 1730.09 | 2.47 | 1.6597 | 2573- 2579 | 65.00 | 38.17 (\pm 9.58) | Bi-214 |
| 23 | 2628.02 | 1764.79 | 3.67 | 2.4668 | 2624- 2633 | 203.00 | 166.33 (\pm 15.48) | Bi-214 |
| 24 | 3131.30 | 2103.42 | 3.18 | 2.1372 | 3121- 3137 | 131.00 | 74.33 (\pm 13.70) | |
| 25 | 3280.23 | 2203.63 | 4.20 | 2.8292 | 3274- 3291 | 110.00 | 80.00 (\pm 11.83) | |
| 26 | 3889.40 | 2613.50 | 3.68 | 2.4757 | 3880- 3896 | 554.00 | 542.67 (\pm 23.78) | |

図 77 文教施設 A 屋内 in-situ 測定による γ 線スペクトルのピーク情報

山木屋地区文教施設A(屋外)での測定 測定日時: H24/2/24 12:30~

Filename: s2243.cap 測定時間 3600 sec

| E (keV) | 計数値 net | 換算係数 | | 測定結果 | | 核種名 | Error | | |
|---------|------------|---------|---------|---------------------------|-------|--------|--------|---------------------------|-------|
| | | Factor1 | Factor2 | Ci/km ² , Bq/g | nGy/h | | ± | Ci/km ² , Bq/g | nGy/h |
| 569.3 | 56928 | 2.85 | 0.0174 | 5.549 | 908.8 | | 351.59 | 0.0343 | 5.61 |
| 604.7 | 357858 | 17.4 | 0.106 | 5.713 | 937.8 | | 655.46 | 0.0105 | 1.72 |
| 662 | 389130 | 14 | 0.219 | 7.721 | 493.6 | Cs-137 | 654.77 | 0.0130 | 0.83 |
| 795.85 | 266632 | 12.6 | 0.0771 | 5.878 | 960.6 | Cs-134 | 532.37 | 0.0117 | 1.92 |
| 1460 | 2893 | 2.02 | 0.04852 | 0.398 | 16.6 | K-40 | 57.52 | 0.0079 | 0.33 |
| 1764 | 149 | 2.85 | 0.00617 | 0.014 | 6.7 | U-238 | 15.98 | 0.0016 | 0.72 |
| 2614 | 537 | 5.48 | 0.00908 | 0.027 | 16.4 | Th-232 | 23.73 | 0.0012 | 0.73 |

| | | kBq/m ² , Bq/g | nGy/h | TTL (nGy/h) | Err (kBq/m ² , Bq/g) |
|------|--------|---------------------------|-------|-------------|---------------------------------|
| 天然核種 | K-40 | 0.398 | 16.6 | | 0.0079 |
| | U-238 | 0.014 | 6.7 | | 0.0016 |
| | Th-232 | 0.027 | 16.4 | 39.7 | 0.0012 |
| 人工核種 | Cs-137 | 285.67 | 493.6 | | 0.48 |
| | Cs-134 | 217.49 | 960.6 | 1454.2 | 0.43 |

in-situ 1.494 μGy/h

サーベイメータでの測定

TCS-171 1.47 μGy/h

図 78 文教施設 A 屋外 in-situ 測定による空間線量率

山木屋地区文教施設A(屋内)での測定 測定日時: H24/2/23 9:05~

Filename: s2231.cap 測定時間 3600 sec

| E (keV) | 計数値 net | 換算係数 | | 測定結果 | | 核種名 | Error | | |
|---------|------------|---------|---------|---------------------------|-------|--------|--------|---------------------------|-------|
| | | Factor1 | Factor2 | Ci/km ² , Bq/g | nGy/h | | ± | Ci/km ² , Bq/g | nGy/h |
| 569.3 | 2989 | 2.85 | 0.0174 | 0.291 | 47.7 | | 101.82 | 0.0099 | 1.63 |
| 604.7 | 20076 | 17.4 | 0.106 | 0.321 | 52.6 | | 171.56 | 0.0027 | 0.45 |
| 662 | 23912 | 14 | 0.219 | 0.474 | 30.3 | Cs-137 | 167.35 | 0.0033 | 0.21 |
| 795.85 | 17630 | 12.6 | 0.0771 | 0.389 | 63.5 | Cs-134 | 140.91 | 0.0031 | 0.51 |
| 1460 | 3466 | 2.02 | 0.04852 | 0.477 | 19.8 | K-40 | 60.93 | 0.0084 | 0.35 |
| 1764 | 236 | 2.85 | 0.00617 | 0.023 | 10.6 | U-238 | 18 | 0.0018 | 0.81 |
| 2614 | 599 | 5.48 | 0.00908 | 0.030 | 18.3 | Th-232 | 25.04 | 0.0013 | 0.77 |

| | | kBq/m ² , Bq/g | nGy/h | TTL (nGy/h) | Err (kBq/m ² , Bq/g) |
|------|--------|---------------------------|-------|-------------|---------------------------------|
| 天然核種 | K-40 | 0.477 | 19.8 | | 0.0084 |
| | U-238 | 0.023 | 10.6 | | 0.0018 |
| | Th-232 | 0.030 | 18.3 | 48.8 | 0.0013 |
| 人工核種 | Cs-137 | 17.55 | 30.3 | | 0.12 |
| | Cs-134 | 14.38 | 63.5 | 93.8 | 0.11 |

in-situ 0.143 μGy/h

サーベイメータでの測定

TCS-171 0.28 μGy/h

図 79 文教施設 A 屋内 in-situ 測定による空間線量率

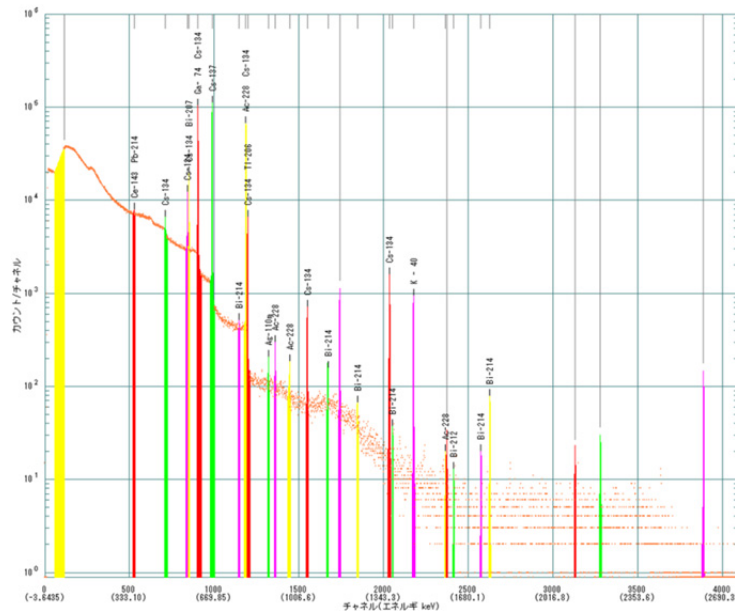


図 80 文教施設 B 屋外での in-situ 測定による γ 線スペクトル

| No | ピーク中心 (ch) | ピーク中心 (keV) | FWHM (ch) | FWHM (keV) | ROI 領域 (ch) | グロス面積 (cnt) | ネット面積 \pm err (cnt) | 簡易定性核種 |
|----|---------------|----------------|--------------|---------------|----------------|----------------|----------------------------|---------------|
| 1 | 114.90 | 73.74 | 1.67 | 1.1269 | 58- 115 | 1571411.00 | -37982.67 (\pm 1783.48) | |
| 2 | 526.69 | 351.08 | 1.55 | 1.0426 | 521- 532 | 86273.00 | 2185.00 (\pm 412.75) | Ce-143 Pb-214 |
| 3 | 710.67 | 474.99 | 2.40 | 1.6188 | 706- 723 | 84149.00 | 4532.00 (\pm 404.68) | Cs-134 |
| 4 | 841.62 | 563.18 | 2.26 | 1.5195 | 834- 845 | 58050.00 | 21536.00 (\pm 307.51) | Cs-134 |
| 5 | 850.66 | 569.27 | 2.33 | 1.5719 | 847- 856 | 69721.00 | 39772.67 (\pm 315.70) | Cs-134 Bi-207 |
| 6 | 903.29 | 604.72 | 2.35 | 1.5836 | 898- 923 | 303264.00 | 246909.00 (\pm 599.68) | Ga- 74 Cs-134 |
| 7 | 987.94 | 661.73 | 2.41 | 1.6249 | 978- 1003 | 296325.00 | 269917.67 (\pm 568.10) | Cs-137 |
| 8 | 1146.44 | 768.47 | 2.56 | 1.7275 | 1143- 1150 | 3595.00 | 275.00 (\pm 83.16) | Bi-214 |
| 9 | 1187.44 | 796.09 | 2.59 | 1.7465 | 1178- 1192 | 193864.00 | 186506.50 (\pm 448.58) | Ac-228 Cs-134 |
| 10 | 1196.48 | 802.18 | 2.42 | 1.6316 | 1194- 1212 | 21989.00 | 8160.17 (\pm 189.26) | Cs-134 Tl-206 |
| 11 | 1319.17 | 884.81 | 2.51 | 1.6925 | 1316- 1323 | 1134.00 | 275.33 (\pm 44.64) | Ag-110m |
| 12 | 1358.71 | 911.43 | 2.37 | 1.5962 | 1353- 1363 | 1575.00 | 572.17 (\pm 50.77) | Ac-228 |
| 13 | 1444.66 | 969.32 | 2.66 | 1.7898 | 1434- 1450 | 1677.00 | 407.67 (\pm 54.28) | Ac-228 |
| 14 | 1548.18 | 1039.04 | 2.67 | 1.7989 | 1543- 1556 | 2764.00 | 1875.00 (\pm 60.44) | Cs-134 |
| 15 | 1669.53 | 1120.77 | 3.16 | 2.1303 | 1665- 1673 | 920.00 | 366.50 (\pm 38.39) | Bi-214 |
| 16 | 1740.30 | 1168.43 | 2.83 | 1.9037 | 1734- 1747 | 3953.00 | 3264.67 (\pm 68.13) | |
| 17 | 1844.51 | 1238.62 | 2.68 | 1.8025 | 1841- 1848 | 411.00 | 105.67 (\pm 26.76) | Bi-214 |
| 18 | 2033.10 | 1365.63 | 2.97 | 2.0036 | 2023- 2040 | 5232.00 | 4965.00 (\pm 74.16) | Cs-134 |
| 19 | 2051.89 | 1378.28 | 2.75 | 1.8533 | 2048- 2055 | 173.00 | 81.00 (\pm 16.28) | Bi-214 |
| 20 | 2175.10 | 1461.26 | 3.03 | 2.0433 | 2169- 2184 | 3062.00 | 2920.67 (\pm 56.60) | K - 40 |
| 21 | 2364.08 | 1588.54 | 2.21 | 1.4949 | 2361- 2366 | 76.00 | 21.00 (\pm 11.45) | Ac-228 |
| 22 | 2370.74 | 1593.03 | 2.31 | 1.5590 | 2368- 2377 | 158.00 | 66.33 (\pm 15.80) | |
| 23 | 2412.00 | 1620.81 | 2.28 | 1.5324 | 2408- 2415 | 57.00 | 25.00 (\pm 9.43) | Bi-212 |
| 24 | 2573.00 | 1729.25 | 3.14 | 2.1142 | 2569- 2578 | 79.00 | 50.67 (\pm 10.36) | Bi-214 |
| 25 | 2625.54 | 1764.63 | 3.55 | 2.3918 | 2619- 2631 | 349.00 | 316.50 (\pm 19.53) | Bi-214 |
| 26 | 3128.81 | 2103.58 | 3.55 | 2.3915 | 3124- 3134 | 128.00 | 84.00 (\pm 13.11) | |
| 27 | 3278.05 | 2204.09 | 2.61 | 1.7596 | 3273- 3284 | 119.00 | 83.00 (\pm 12.45) | |
| 28 | 3886.37 | 2613.79 | 3.39 | 2.2799 | 3876- 3892 | 584.00 | 572.67 (\pm 24.40) | |

図 81 文教施設 B 屋外 in-situ 測定による γ 線スペクトルのピーク情報

スペクトルファイル名：S2232

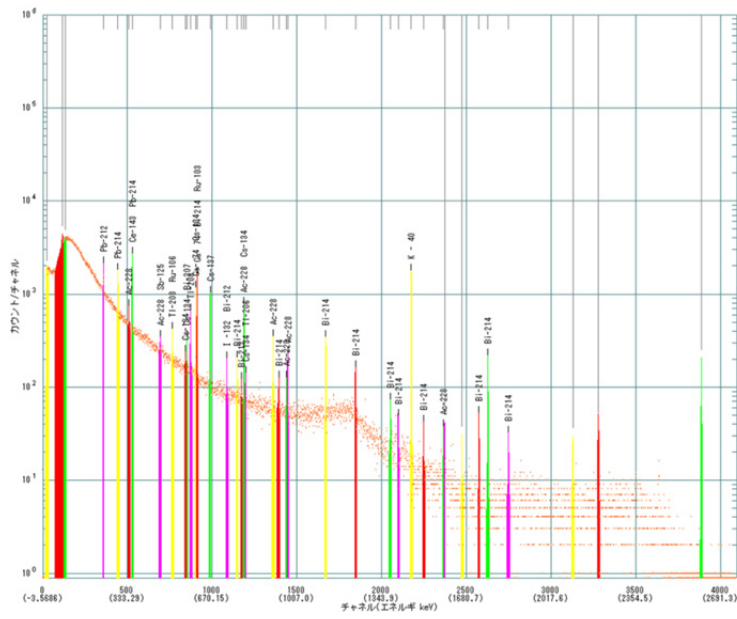


図 82 文教施設 B 屋内での in-situ 測定による γ 線スペクトル

| No | ピーク中心 (ch) (keV) | | FWHM (ch) (keV) | | ROI 領域 (ch) | | グロス面積 (cnt) | ネット面積 ± err (cnt) | | 簡易定性核種 |
|----|---------------------|---------|--------------------|--------|----------------|------|----------------|----------------------|------------|----------------------|
| 1 | 25.34 | 13.50 | 10.21 | 6.8803 | 12- | 31 | 23574.00 | 5707.33 | (± 203.57) | |
| 2 | 117.31 | 75.47 | 2.06 | 1.3847 | 72- | 120 | 129882.00 | 97.33 | (± 509.57) | |
| 3 | 131.91 | 85.30 | 3.86 | 2.5983 | 125- | 135 | 42417.00 | 1678.50 | (± 288.37) | |
| 4 | 358.29 | 237.82 | 1.64 | 1.1061 | 354- | 360 | 9715.00 | 1107.33 | (± 135.36) | Pb-212 |
| 5 | 442.58 | 294.61 | 2.19 | 1.4732 | 439- | 452 | 11518.00 | 2756.33 | (± 142.41) | Pb-214 |
| 6 | 506.73 | 337.83 | 1.80 | 1.2155 | 504- | 516 | 6544.00 | 525.00 | (± 112.08) | Ac-228 |
| 7 | 527.04 | 351.51 | 1.87 | 1.2586 | 522- | 531 | 8896.00 | 4601.00 | (± 114.85) | Ce-143 Pb-214 |
| 8 | 692.12 | 462.73 | 2.10 | 1.4137 | 685- | 697 | 3398.00 | 323.50 | (± 80.45) | Ac-228 Sb-125 |
| 9 | 763.29 | 510.67 | 2.68 | 1.8080 | 757- | 772 | 3734.00 | 710.00 | (± 82.21) | Tl-208 Ru-106 |
| 10 | 841.70 | 563.50 | 2.84 | 1.9124 | 839- | 846 | 1573.00 | 238.33 | (± 53.92) | Cs-134 |
| 11 | 850.43 | 569.38 | 1.92 | 1.2956 | 848- | 855 | 1630.00 | 376.67 | (± 53.70) | Cs-134 Bi-207 |
| 12 | 870.98 | 583.23 | 2.04 | 1.3716 | 867- | 879 | 3079.00 | 1198.33 | (± 70.42) | Tl-208 |
| 13 | 902.99 | 604.80 | 1.90 | 1.2769 | 899- | 905 | 3208.00 | 1518.67 | (± 69.98) | Ga- 74 Cs-134 |
| 14 | 909.82 | 609.40 | 2.05 | 1.3787 | 907- | 917 | 4718.00 | 2970.83 | (± 80.41) | Ga- 74 Bi-214 Ru-103 |
| 15 | 987.62 | 661.81 | 2.46 | 1.6584 | 980- | 991 | 3689.00 | 2317.00 | (± 71.14) | Cs-137 |
| 16 | 1085.00 | 727.42 | 1.85 | 1.2436 | 1082- | 1092 | 1166.00 | 260.33 | (± 45.52) | I -132 Bi-212 |
| 17 | 1146.16 | 768.63 | 2.20 | 1.4799 | 1142- | 1149 | 940.00 | 256.00 | (± 40.30) | Bi-214 |
| 18 | 1171.97 | 786.01 | 2.71 | 1.8259 | 1169- | 1175 | 647.00 | 109.17 | (± 34.42) | Bi-212 |
| 19 | 1186.88 | 796.06 | 2.55 | 1.7193 | 1182- | 1191 | 2602.00 | 1882.00 | (± 57.64) | Ac-228 Cs-134 |
| 20 | 1196.32 | 802.42 | 1.81 | 1.2220 | 1193- | 1199 | 608.00 | 132.00 | (± 32.92) | Cs-134 Tl-206 |
| 21 | 1358.44 | 911.64 | 2.41 | 1.6246 | 1352- | 1366 | 1657.00 | 814.50 | (± 49.99) | Ac-228 |
| 22 | 1392.35 | 934.49 | 2.32 | 1.5642 | 1379- | 1396 | 1197.00 | 285.00 | (± 45.92) | Bi-214 |
| 23 | 1437.93 | 965.19 | 1.75 | 1.1806 | 1434- | 1439 | 503.00 | 56.00 | (± 30.82) | Ac-228 |
| 24 | 1444.17 | 969.40 | 2.72 | 1.8336 | 1441- | 1448 | 913.00 | 442.33 | (± 37.20) | Ac-228 |
| 25 | 1668.94 | 1120.83 | 2.69 | 1.8102 | 1665- | 1674 | 1304.00 | 829.00 | (± 42.18) | Bi-214 |
| 26 | 1843.68 | 1238.56 | 2.68 | 1.8033 | 1840- | 1849 | 833.00 | 301.33 | (± 36.94) | Bi-214 |
| 27 | 2051.02 | 1378.25 | 3.18 | 2.1452 | 2042- | 2055 | 443.00 | 205.00 | (± 26.10) | Bi-214 |
| 28 | 2095.59 | 1408.28 | 3.20 | 2.1574 | 2092- | 2102 | 308.00 | 122.83 | (± 22.21) | Bi-214 |
| 29 | 2174.36 | 1461.34 | 3.00 | 2.0210 | 2168- | 2180 | 5850.00 | 5655.00 | (± 77.75) | K - 40 |
| 30 | 2246.35 | 1509.85 | 2.68 | 1.8040 | 2241- | 2253 | 259.00 | 100.83 | (± 20.42) | Bi-214 |
| 31 | 2363.25 | 1588.61 | 1.99 | 1.3427 | 2360- | 2365 | 139.00 | 40.00 | (± 15.43) | Ac-228 |
| 32 | 2370.04 | 1593.18 | 3.30 | 2.2227 | 2367- | 2374 | 204.00 | 92.00 | (± 17.78) | |
| 33 | 2472.14 | 1661.96 | 1.91 | 1.2859 | 2467- | 2479 | 152.00 | 71.83 | (± 15.24) | |
| 34 | 2573.12 | 1730.00 | 2.88 | 1.9385 | 2567- | 2577 | 202.00 | 143.33 | (± 16.15) | Bi-214 |
| 35 | 2624.90 | 1764.88 | 2.90 | 1.9565 | 2616- | 2631 | 745.00 | 667.67 | (± 28.68) | Bi-214 |
| 36 | 2747.20 | 1847.28 | 2.94 | 1.9817 | 2739- | 2755 | 189.00 | 101.17 | (± 16.64) | Bi-214 |
| 37 | 3126.91 | 2103.10 | 4.79 | 3.2256 | 3119- | 3132 | 187.00 | 110.00 | (± 16.25) | |
| 38 | 3276.90 | 2204.15 | 4.33 | 2.9174 | 3271- | 3285 | 261.00 | 201.00 | (± 17.92) | |
| 39 | 3884.91 | 2613.78 | 3.91 | 2.6376 | 3877- | 3893 | 829.00 | 823.33 | (± 28.89) | |

図 83 文教施設 B 屋内 in-situ 測定による γ 線スペクトルのピーク情報

山木屋地区文教施設B(屋外)での測定 測定日時: H24/2/23 15:25~

Filename: s2233.cap 測定時間 3600 sec

| E (keV) | 計数値 net | 換算係数 | | 測定結果 | | 核種名 | Error | | |
|---------|------------|---------|---------|---------------------------|-------|--------|--------|---------------------------|-------|
| | | Factor1 | Factor2 | Ci/km ² , Ba/g | nGy/h | | ± | Ci/km ² , Ba/g | nGy/h |
| 569.3 | 38744 | 2.85 | 0.0174 | 3.776 | 618.5 | | 298.75 | 0.0291 | 4.77 |
| 604.7 | 244459 | 17.4 | 0.106 | 3.903 | 640.6 | | 545.15 | 0.0087 | 1.43 |
| 662 | 263374 | 14 | 0.219 | 5.226 | 3341 | Cs-137 | 542.85 | 0.0108 | 0.69 |
| 795.85 | 185585 | 12.6 | 0.0771 | 4.091 | 668.6 | Cs-134 | 444.55 | 0.0098 | 1.60 |
| 1460 | 2903 | 2.02 | 0.04852 | 0.399 | 16.6 | K-40 | 56.5 | 0.0078 | 0.32 |
| 1764 | 306 | 2.85 | 0.00617 | 0.030 | 13.8 | U-238 | 19.75 | 0.0019 | 0.89 |
| 2614 | 510 | 5.48 | 0.00908 | 0.026 | 15.6 | Th-232 | 25.3 | 0.0013 | 0.77 |

| | | kBa/m ² , Ba/g | nGy/h | TTL (nGy/h) | Err (kBa/m ² , Ba/g) |
|------|--------|---------------------------|-------|-------------|---------------------------------|
| 天然核種 | K-40 | 0.399 | 16.6 | 46.0 | 0.0078 |
| | U-238 | 0.030 | 13.8 | | 0.0019 |
| | Th-232 | 0.026 | 15.6 | | 0.0013 |
| 人工核種 | Cs-137 | 193.35 | 3341 | 1002.7 | 0.40 |
| | Cs-134 | 151.38 | 668.6 | | 0.36 |

in-situ 1.049 μGy/h

サーベイメータでの測定

TCS-171 1.24 μGy/h

図 84 文教施設 B 屋外 in-situ 測定による空間線量率

山木屋地区文教施設B(屋内)での測定 測定日時: H24/2/23 13:39~

Filename: s2232.cap 測定時間 3600 sec

| E (keV) | 計数値 net | 換算係数 | | 測定結果 | | 核種名 | Error | | |
|---------|------------|---------|---------|---------------------------|-------|--------|-------|---------------------------|-------|
| | | Factor1 | Factor2 | Ci/km ² , Ba/g | nGy/h | | ± | Ci/km ² , Ba/g | nGy/h |
| 569.3 | 274 | 2.85 | 0.0174 | 0.027 | 4.4 | | 51.07 | 0.0050 | 0.82 |
| 604.7 | 2036 | 17.4 | 0.106 | 0.033 | 5.3 | | 66.05 | 0.0011 | 0.17 |
| 662 | 1897 | 14 | 0.219 | 0.038 | 2.4 | Cs-137 | 66.05 | 0.0013 | 0.08 |
| 795.85 | 1699 | 12.6 | 0.0771 | 0.037 | 6.1 | Cs-134 | 56.76 | 0.0013 | 0.20 |
| 1460 | 5616 | 2.02 | 0.04852 | 0.772 | 32.2 | K-40 | 77.92 | 0.0107 | 0.45 |
| 1764 | 640 | 2.85 | 0.00617 | 0.062 | 28.8 | U-238 | 28.52 | 0.0028 | 1.28 |
| 2614 | 823 | 5.48 | 0.00908 | 0.042 | 25.2 | Th-232 | 28.39 | 0.0014 | 0.87 |

| | | kBa/m ² , Ba/g | nGy/h | TTL (nGy/h) | Err (kBa/m ² , Ba/g) |
|------|--------|---------------------------|-------|-------------|---------------------------------|
| 天然核種 | K-40 | 0.772 | 32.2 | 86.2 | 0.0107 |
| | U-238 | 0.062 | 28.8 | | 0.0028 |
| | Th-232 | 0.042 | 25.2 | | 0.0014 |
| 人工核種 | Cs-137 | 1.39 | 2.4 | 8.5 | 0.05 |
| | Cs-134 | 1.39 | 6.1 | | 0.05 |

in-situ 0.095 μGy/h

サーベイメータでの測定

TCS-171 0.12 μGy/h

図 85 文教施設 B 屋内 in-situ 測定による空間線量率

商工施設 A

スペクトルファイル名 : S2244

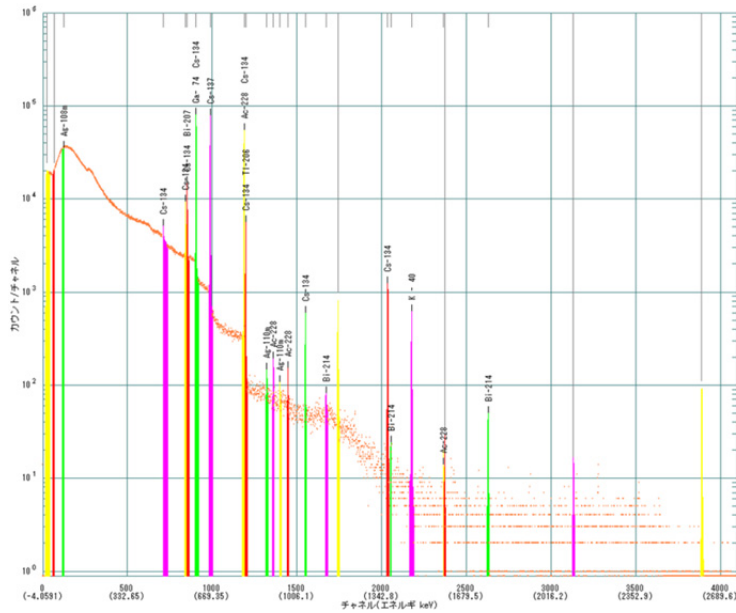


図 86 商工施設 A 屋外での in-situ 測定による γ 線スペクトル

| No | ピーク中心 (ch) | ピーク中心 (keV) | FWHM (ch) | FWHM (keV) | ROI 領域 (ch) | グロス面積 (cnt) | ネット面積 \pm err (cnt) | 簡易定性核種 |
|----|---------------|----------------|--------------|---------------|----------------|----------------|---------------------------|---------------|
| 1 | 26.44 | 13.75 | 14.47 | 9.7460 | 13- 40 | 398384.00 | 138329.33 (\pm 811.44) | |
| 2 | 66.71 | 40.86 | 1.22 | 0.8237 | 59- 67 | 170893.00 | 763.00 (\pm 583.97) | |
| 3 | 122.99 | 78.77 | 1.20 | 0.8107 | 117- 123 | 238991.00 | 548.83 (\pm 690.97) | Ag-108m |
| 4 | 711.31 | 474.95 | 2.29 | 1.5429 | 709- 735 | 96847.00 | 322.00 (\pm 439.74) | Cs-134 |
| 5 | 842.29 | 563.15 | 2.28 | 1.5335 | 838- 846 | 37954.00 | 16544.50 (\pm 243.65) | Cs-134 |
| 6 | 851.32 | 569.23 | 2.31 | 1.5539 | 848- 863 | 67473.00 | 28907.67 (\pm 325.64) | Cs-134 Bi-207 |
| 7 | 903.96 | 604.68 | 2.31 | 1.5582 | 897- 919 | 225473.00 | 185295.83 (\pm 515.41) | Ga- 74 Cs-134 |
| 8 | 988.64 | 661.70 | 2.44 | 1.6404 | 980- 1003 | 220849.00 | 201513.00 (\pm 490.09) | Cs-137 |
| 9 | 1188.18 | 796.07 | 2.48 | 1.6713 | 1178- 1192 | 145948.00 | 137733.00 (\pm 392.64) | Ac-228 Cs-134 |
| 10 | 1197.21 | 802.16 | 2.42 | 1.6301 | 1194- 1208 | 16570.00 | 12062.50 (\pm 145.18) | Cs-134 TI-206 |
| 11 | 1320.35 | 885.08 | 2.79 | 1.8820 | 1317- 1327 | 1039.00 | 203.00 (\pm 43.30) | Ag-110m |
| 12 | 1359.60 | 911.51 | 2.67 | 1.8003 | 1355- 1363 | 1004.00 | 387.50 (\pm 40.26) | Ac-228 |
| 13 | 1399.25 | 938.21 | 2.58 | 1.7378 | 1397- 1406 | 769.00 | 100.67 (\pm 37.91) | Ag-110m |
| 14 | 1445.56 | 969.40 | 2.56 | 1.7221 | 1443- 1449 | 650.00 | 203.17 (\pm 33.12) | Ac-228 |
| 15 | 1548.93 | 1039.01 | 2.75 | 1.8492 | 1545- 1555 | 2025.00 | 1519.00 (\pm 50.31) | Cs-134 |
| 16 | 1669.90 | 1120.47 | 3.14 | 2.1157 | 1667- 1680 | 786.00 | 130.33 (\pm 37.97) | Bi-214 |
| 17 | 1741.07 | 1168.40 | 3.02 | 2.0361 | 1736- 1752 | 3034.00 | 2467.33 (\pm 60.01) | |
| 18 | 2033.98 | 1365.65 | 3.05 | 2.0565 | 2028- 2043 | 4056.00 | 3933.33 (\pm 64.64) | Cs-134 |
| 19 | 2053.11 | 1378.53 | 3.06 | 2.0581 | 2050- 2056 | 110.00 | 40.00 (\pm 13.42) | Bi-214 |
| 20 | 2176.02 | 1461.30 | 3.13 | 2.1092 | 2165- 2190 | 2176.00 | 2020.00 (\pm 48.29) | K - 40 |
| 21 | 2364.69 | 1588.35 | 1.96 | 1.3203 | 2362- 2367 | 65.00 | 26.00 (\pm 10.20) | Ac-228 |
| 22 | 2371.51 | 1592.94 | 2.24 | 1.5062 | 2369- 2376 | 106.00 | 59.33 (\pm 12.36) | |
| 23 | 2626.67 | 1764.77 | 2.44 | 1.6436 | 2620- 2634 | 185.00 | 155.00 (\pm 14.66) | Bi-214 |
| 24 | 3129.49 | 2103.37 | 3.81 | 2.5668 | 3123- 3139 | 105.00 | 73.83 (\pm 11.67) | |
| 25 | 3887.32 | 2613.71 | 4.42 | 2.9783 | 3879- 3897 | 442.00 | 435.67 (\pm 21.17) | |

図 87 商工施設 A 屋外 in-situ 測定による γ 線スペクトルのピーク情報

スペクトルファイル名 : S2245

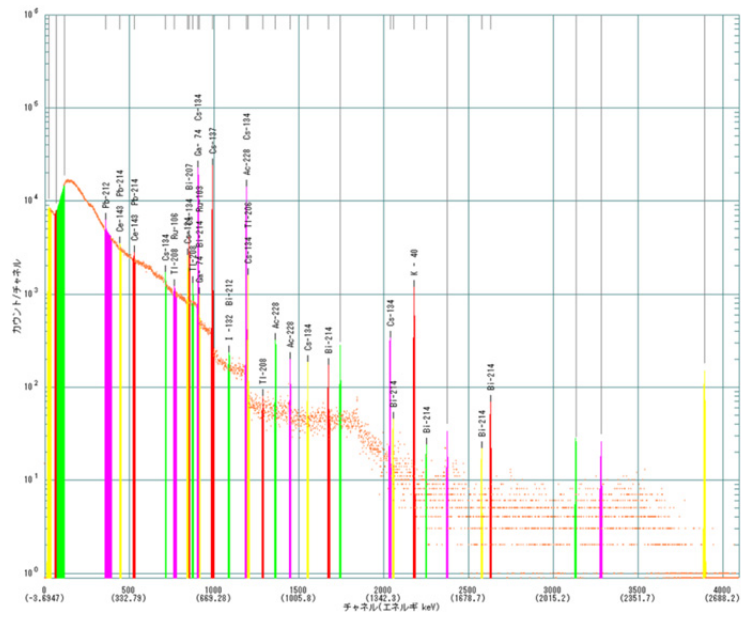


図 88 商工施設 A 屋内での in-situ 測定による γ 線スペクトル

| No | ピーク中心 | | FWHM | | ROI 領域 | | グロス面積 | ネット面積 ± err | | 簡易定性核種 |
|----|---------|---------|-------|--------|--------|------|-----------|-----------------------|--|----------------------|
| | (ch) | (keV) | (ch) | (keV) | (ch) | | (cnt) | (cnt) | | |
| 1 | 22.00 | 11.11 | 10.13 | 6.8153 | 12- | 36 | 140784.00 | 43309.00 (± 488.12) | | |
| 2 | 66.62 | 41.14 | 1.80 | 1.2095 | 58- | 68 | 81287.00 | 624.00 (± 402.43) | | |
| 3 | 114.00 | 73.02 | 1.81 | 1.2203 | 70- | 116 | 508563.00 | -15252.00 (± 1016.06) | | |
| 4 | 358.72 | 237.71 | 1.94 | 1.3030 | 356- | 392 | 165089.00 | 4114.33 (± 571.02) | | Pb-212 |
| 5 | 442.95 | 294.40 | 1.85 | 1.2432 | 441- | 448 | 25202.00 | 796.67 (± 222.73) | | Ce-143 Pb-214 |
| 6 | 527.76 | 351.47 | 2.72 | 1.8289 | 520- | 532 | 31266.00 | 1740.83 (± 246.56) | | Ce-143 Pb-214 |
| 7 | 711.33 | 475.01 | 2.50 | 1.6847 | 709- | 717 | 12789.00 | 931.50 (± 156.99) | | Cs-134 |
| 8 | 764.46 | 510.77 | 3.92 | 2.6379 | 758- | 774 | 17774.00 | 918.50 (± 186.09) | | Tl-208 Ru-106 |
| 9 | 842.49 | 563.28 | 2.44 | 1.6430 | 838- | 846 | 12305.00 | 4739.00 (± 140.96) | | Cs-134 |
| 10 | 851.52 | 569.35 | 2.48 | 1.6680 | 848- | 856 | 16149.00 | 8706.00 (± 153.60) | | Cs-134 Bi-207 |
| 11 | 872.15 | 583.24 | 2.26 | 1.5198 | 869- | 875 | 6676.00 | 1144.83 (± 110.49) | | Tl-208 |
| 12 | 904.19 | 604.80 | 2.33 | 1.5675 | 898- | 908 | 60642.00 | 53009.83 (± 261.29) | | Ga- 74 Cs-134 |
| 13 | 910.99 | 609.38 | 1.33 | 0.8932 | 910- | 917 | 5030.00 | 46.00 (± 100.07) | | Ga- 74 Bi-214 Ru-103 |
| 14 | 988.89 | 661.80 | 2.44 | 1.6406 | 980- | 999 | 64674.00 | 58550.67 (± 266.08) | | Cs-137 |
| 15 | 1086.57 | 727.54 | 2.88 | 1.9356 | 1079- | 1090 | 2173.00 | 301.00 (± 63.60) | | I -132 Bi-212 |
| 16 | 1188.52 | 796.15 | 2.69 | 1.8081 | 1181- | 1193 | 43017.00 | 41255.50 (± 211.61) | | Ac-228 Cs-134 |
| 17 | 1197.58 | 802.24 | 2.38 | 1.6022 | 1195- | 1207 | 5070.00 | 2756.00 (± 85.93) | | Cs-134 Tl-206 |
| 18 | 1284.96 | 861.05 | 2.16 | 1.4553 | 1282- | 1288 | 473.00 | 64.67 (± 29.69) | | Tl-208 |
| 19 | 1360.03 | 911.57 | 3.05 | 2.0534 | 1355- | 1364 | 1332.00 | 815.33 (± 43.00) | | Ac-228 |
| 20 | 1445.97 | 969.40 | 2.44 | 1.6410 | 1443- | 1450 | 805.00 | 333.00 (± 35.74) | | Ac-228 |
| 21 | 1549.57 | 1039.12 | 2.51 | 1.6905 | 1545- | 1554 | 866.00 | 439.33 (± 35.95) | | Cs-134 |
| 22 | 1670.91 | 1120.78 | 2.64 | 1.7767 | 1666- | 1680 | 1031.00 | 461.00 (± 40.01) | | Bi-214 |
| 23 | 1741.58 | 1168.34 | 3.08 | 2.0740 | 1737- | 1747 | 1243.00 | 749.83 (± 41.67) | | |
| 24 | 2034.68 | 1365.59 | 3.22 | 2.1649 | 2028- | 2040 | 1308.00 | 1108.67 (± 38.82) | | Cs-134 |
| 25 | 2053.18 | 1378.04 | 2.47 | 1.6648 | 2048- | 2058 | 238.00 | 113.33 (± 19.04) | | Bi-214 |
| 26 | 2176.81 | 1461.24 | 3.51 | 2.3620 | 2171- | 2183 | 4419.00 | 4280.33 (± 67.51) | | K - 40 |
| 27 | 2248.79 | 1509.68 | 1.66 | 1.1146 | 2245- | 2251 | 98.00 | 37.33 (± 12.60) | | Bi-214 |
| 28 | 2372.22 | 1592.74 | 3.20 | 2.1557 | 2369- | 2377 | 160.00 | 76.00 (± 15.62) | | |
| 29 | 2575.71 | 1729.69 | 3.48 | 2.3393 | 2572- | 2579 | 86.00 | 55.33 (± 10.80) | | Bi-214 |
| 30 | 2627.97 | 1764.86 | 3.98 | 2.6771 | 2622- | 2633 | 341.00 | 295.00 (± 19.67) | | Bi-214 |
| 31 | 3130.94 | 2103.34 | 4.32 | 2.9079 | 3125- | 3135 | 155.00 | 103.67 (± 14.36) | | |
| 32 | 3279.73 | 2203.48 | 3.70 | 2.4895 | 3274- | 3287 | 143.00 | 94.00 (± 13.86) | | |
| 33 | 3889.06 | 2613.54 | 4.90 | 3.2949 | 3880- | 3897 | 774.00 | 768.00 (± 27.93) | | |

図 89 商工施設 A 屋内 in-situ 測定による γ 線スペクトルのピーク情報

山木屋地区商工施設A(屋外)での測定 測定日時: H24/2/24 13:30~

Filename: s2244.cap 測定時間 3600 sec

| E (keV) | 計数值 | 換算係数 | | 測定結果 | | 核種名 | Error | | |
|---------|--------|------|---------|---------|---------------------------|--------|--------|--------|---------------------------|
| | | net | Factor1 | Factor2 | Ci/km ² , Bq/g | | nGy/h | ± | Ci/km ² , Bq/g |
| 569.3 | 29175 | 2.85 | 0.0174 | 2.844 | 465.8 | | 262.61 | 0.0256 | 4.19 |
| 604.7 | 182970 | 17.4 | 0.106 | 2.921 | 479.5 | | 471.45 | 0.0075 | 1.24 |
| 662 | 199107 | 14 | 0.219 | 3.951 | 252.5 | Cs-137 | 469.95 | 0.0093 | 0.60 |
| 795.85 | 139130 | 12.6 | 0.0771 | 3.067 | 501.3 | Cs-134 | 396.27 | 0.0085 | 1.39 |
| 1460 | 1972 | 2.02 | 0.04852 | 0.271 | 11.3 | K-40 | 47.29 | 0.0065 | 0.27 |
| 1764 | 129 | 2.85 | 0.00617 | 0.013 | 5.8 | U-238 | 14.73 | 0.0014 | 0.66 |
| 2614 | 428 | 5.48 | 0.00908 | 0.022 | 13.1 | Th-232 | 21.36 | 0.0011 | 0.65 |

| | | kBq/m ² , Bq/g | nGy/h | TTL (nGy/h) | Err (kBq/m ² , Bq/g) |
|------|--------|---------------------------|-------|-------------|---------------------------------|
| 天然核種 | K-40 | 0.271 | 11.3 | | 0.0065 |
| | U-238 | 0.013 | 5.8 | | 0.0014 |
| | Th-232 | 0.022 | 13.1 | 30.2 | 0.0011 |
| 人工核種 | Cs-137 | 146.17 | 252.5 | | 0.35 |
| | Cs-134 | 113.49 | 501.3 | 753.8 | 0.32 |

in-situ 0.784 μGy/h

サーベイメータでの測定

TCS-171 0.84 μGy/h (2/26測定)

図 90 商工施設 A 屋外 in-situ 測定による空間線量率

山木屋地区商工施設A(屋内)での測定 測定日時: H24/2/24 15:00~

Filename: s2245.cap 測定時間 3600 sec

| E (keV) | 計数值 | 換算係数 | | 測定結果 | | 核種名 | Error | | |
|---------|-------|------|---------|---------|---------------------------|--------|--------|--------|---------------------------|
| | | net | Factor1 | Factor2 | Ci/km ² , Bq/g | | nGy/h | ± | Ci/km ² , Bq/g |
| 569.3 | 8529 | 2.85 | 0.0174 | 0.831 | 136.2 | | 148.92 | 0.0145 | 2.38 |
| 604.7 | 52782 | 17.4 | 0.106 | 0.843 | 138.3 | | 255.96 | 0.0041 | 0.67 |
| 662 | 57167 | 14 | 0.219 | 1.134 | 72.5 | Cs-137 | 255.1 | 0.0051 | 0.32 |
| 795.85 | 40852 | 12.6 | 0.0771 | 0.901 | 147.2 | Cs-134 | 210.22 | 0.0046 | 0.76 |
| 1460 | 4280 | 2.02 | 0.04852 | 0.589 | 24.5 | K-40 | 67.51 | 0.0093 | 0.39 |
| 1764 | 292 | 2.85 | 0.00617 | 0.028 | 13.2 | U-238 | 19.79 | 0.0019 | 0.89 |
| 2614 | 740 | 5.48 | 0.00908 | 0.037 | 22.6 | Th-232 | 28.29 | 0.0014 | 0.87 |

| | | kBq/m ² , Bq/g | nGy/h | TTL (nGy/h) | Err (kBq/m ² , Bq/g) |
|------|--------|---------------------------|-------|-------------|---------------------------------|
| 天然核種 | K-40 | 0.589 | 24.5 | | 0.0093 |
| | U-238 | 0.028 | 13.2 | | 0.0019 |
| | Th-232 | 0.037 | 22.6 | 60.3 | 0.0014 |
| 人工核種 | Cs-137 | 41.97 | 72.5 | | 0.19 |
| | Cs-134 | 33.32 | 147.2 | 219.7 | 0.17 |

in-situ 0.280 μGy/h

サーベイメータでの測定

TCS-171 0.39 μGy/h

図 91 商工施設 A 屋内 in-situ 測定による空間線量率

商工施設 B

スペクトルファイル名 : S2241

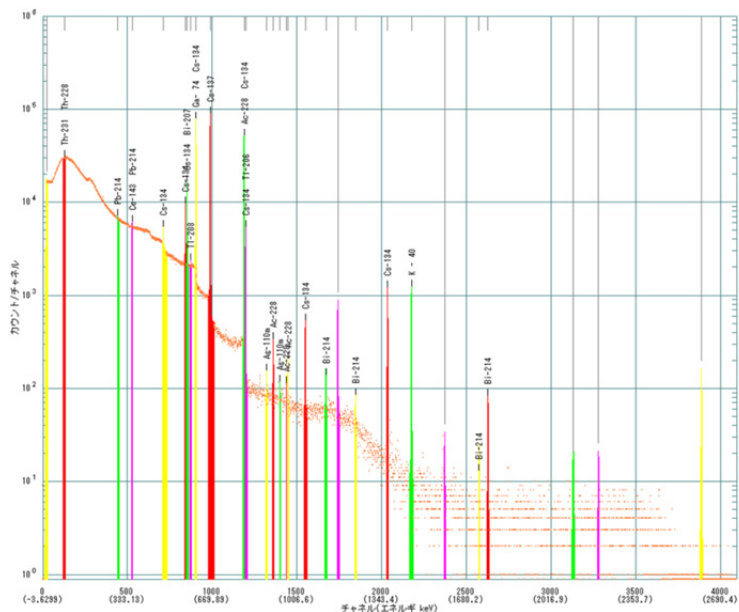


図 92 商工施設 B 屋外での in-situ 測定による γ 線スペクトル

| No | ピーク中心 (ch) | ピーク中心 (keV) | FWHM (ch) | FWHM (keV) | ROI 領域 (ch) | グロス面積 (cnt) | ネット面積 ± err (cnt) | 簡易定性核種 |
|----|---------------|----------------|--------------|---------------|----------------|----------------|----------------------|---------------|
| 1 | 22.64 | 11.62 | 6.72 | 4.5240 | 12- 28 | 168265.00 | 29953.00 (± 553.69) | |
| 2 | 129.65 | 83.69 | 1.99 | 1.3404 | 118- 131 | 409253.00 | 1251.00 (± 904.02) | Th-231 Th-228 |
| 3 | 442.86 | 294.64 | 1.67 | 1.1253 | 441- 448 | 53600.00 | 988.00 (± 325.90) | Pb-214 |
| 4 | 526.67 | 351.09 | 1.77 | 1.1942 | 524- 530 | 38843.00 | 1298.50 (± 276.38) | Ce-143 Pb-214 |
| 5 | 710.85 | 475.14 | 1.96 | 1.3174 | 708- 732 | 83095.00 | 1870.00 (± 405.36) | Cs-134 |
| 6 | 841.77 | 563.31 | 2.24 | 1.5092 | 837- 845 | 36772.00 | 17140.00 (± 237.50) | Cs-134 |
| 7 | 850.80 | 569.39 | 2.22 | 1.4932 | 847- 859 | 60620.00 | 33161.83 (± 296.78) | Cs-134 Bi-207 |
| 8 | 871.33 | 583.23 | 2.72 | 1.8322 | 868- 874 | 15137.00 | 894.33 (± 171.40) | Tl-208 |
| 9 | 903.43 | 604.85 | 2.42 | 1.6318 | 897- 908 | 221629.00 | 199835.00 (± 493.38) | Ga- 74 Cs-134 |
| 10 | 988.08 | 661.86 | 2.40 | 1.6186 | 978- 1013 | 240409.00 | 215065.00 (± 515.51) | Cs-137 |
| 11 | 1187.51 | 796.18 | 2.64 | 1.7766 | 1182- 1192 | 150761.00 | 146751.50 (± 393.41) | Ac-228 Cs-134 |
| 12 | 1196.55 | 802.26 | 2.47 | 1.6658 | 1194- 1205 | 16833.00 | 10489.00 (± 152.24) | Cs-134 Tl-206 |
| 13 | 1319.64 | 885.17 | 2.30 | 1.5490 | 1316- 1324 | 942.00 | 231.00 (± 40.66) | Ag-110m |
| 14 | 1358.95 | 911.64 | 2.88 | 1.9386 | 1354- 1364 | 1605.00 | 792.83 (± 49.16) | Ac-228 |
| 15 | 1398.16 | 938.05 | 2.30 | 1.5489 | 1396- 1404 | 795.00 | 108.00 (± 38.50) | Ag-110m |
| 16 | 1438.63 | 965.31 | 2.60 | 1.7509 | 1435- 1440 | 571.00 | 74.00 (± 32.68) | Ac-228 |
| 17 | 1444.62 | 969.34 | 2.35 | 1.5832 | 1442- 1450 | 967.00 | 280.00 (± 40.67) | Ac-228 |
| 18 | 1548.18 | 1039.09 | 3.03 | 2.0385 | 1540- 1559 | 2687.00 | 1587.00 (± 61.54) | Cs-134 |
| 19 | 1669.52 | 1120.82 | 2.91 | 1.9630 | 1663- 1675 | 1051.00 | 364.17 (± 41.69) | Bi-214 |
| 20 | 1740.19 | 1168.42 | 2.73 | 1.8380 | 1736- 1751 | 3204.00 | 2398.67 (± 63.32) | |
| 21 | 1844.74 | 1238.83 | 2.07 | 1.3967 | 1841- 1849 | 488.00 | 125.00 (± 29.17) | Bi-214 |
| 22 | 2033.02 | 1365.64 | 3.05 | 2.0513 | 2027- 2039 | 3949.00 | 3756.17 (± 64.36) | Cs-134 |
| 23 | 2175.00 | 1461.26 | 3.09 | 2.0828 | 2163- 2184 | 4163.00 | 3983.33 (± 65.90) | K - 40 |
| 24 | 2370.45 | 1592.91 | 2.58 | 1.7383 | 2368- 2376 | 151.00 | 70.00 (± 15.23) | |
| 25 | 2574.12 | 1730.08 | 1.38 | 0.9262 | 2570- 2577 | 78.00 | 50.00 (± 10.30) | Bi-214 |
| 26 | 2625.73 | 1764.84 | 3.33 | 2.2404 | 2618- 2633 | 348.00 | 292.00 (± 20.10) | Bi-214 |
| 27 | 3129.32 | 2104.01 | 3.71 | 2.4973 | 3122- 3136 | 143.00 | 108.00 (± 13.34) | |
| 28 | 3277.35 | 2203.72 | 4.00 | 2.6908 | 3273- 3281 | 101.00 | 71.00 (± 11.45) | |
| 29 | 3885.76 | 2613.49 | 4.10 | 2.7603 | 3875- 3894 | 715.00 | 708.33 (± 26.86) | |

図 93 商工施設 B 屋外 in-situ 測定による γ 線スペクトルのピーク情報

スペクトルファイル名 : S2242

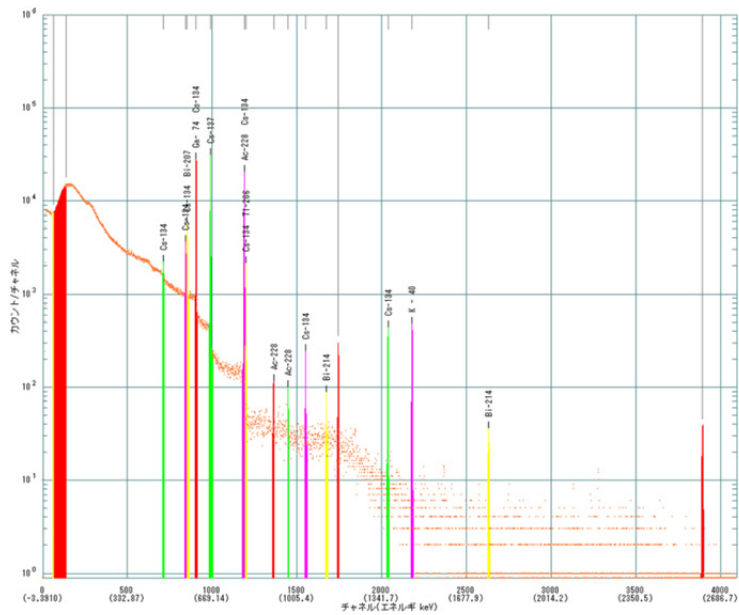


図 94 商工施設 B 屋内での in-situ 測定による γ 線スペクトル

| No | ピーク中心 (ch) | ピーク中心 (keV) | FWHM (ch) | FWHM (keV) | ROI 領域 (ch) | グロス面積 (cnt) | ネット面積 \pm err (cnt) | 簡易定性核種 |
|----|---------------|----------------|--------------|---------------|----------------|----------------|--------------------------|---------------|
| 1 | 62.92 | 38.93 | 2.97 | 1.9975 | 57- 64 | 58158.00 | 492.67 (\pm 340.33) | |
| 2 | 134.62 | 87.14 | 2.31 | 1.5539 | 66- 136 | 771820.00 | 4487.50 (\pm 1240.63) | |
| 3 | 711.54 | 475.14 | 2.38 | 1.6032 | 706- 717 | 20231.00 | 1817.00 (\pm 196.58) | Cs-134 |
| 4 | 842.68 | 563.34 | 2.35 | 1.5836 | 838- 846 | 15369.00 | 6361.50 (\pm 156.13) | Cs-134 |
| 5 | 851.74 | 569.43 | 2.37 | 1.5959 | 848- 864 | 28026.00 | 11929.83 (\pm 210.05) | Cs-134 Bi-207 |
| 6 | 904.44 | 604.87 | 2.54 | 1.7049 | 898- 909 | 83140.00 | 73862.00 (\pm 304.00) | Ga- 74 Cs-134 |
| 7 | 989.21 | 661.88 | 2.49 | 1.6755 | 981- 1002 | 87599.00 | 80273.00 (\pm 308.10) | Cs-137 |
| 8 | 1188.91 | 796.19 | 2.71 | 1.8210 | 1177- 1193 | 58651.00 | 55724.17 (\pm 248.15) | Ac-228 Cs-134 |
| 9 | 1197.94 | 802.26 | 2.67 | 1.7929 | 1195- 1203 | 6276.00 | 4936.50 (\pm 87.27) | Cs-134 Tl-206 |
| 10 | 1360.57 | 911.63 | 3.01 | 2.0252 | 1356- 1365 | 598.00 | 259.67 (\pm 30.60) | Ac-228 |
| 11 | 1446.37 | 969.33 | 1.89 | 1.2686 | 1444- 1450 | 380.00 | 117.50 (\pm 25.35) | Ac-228 |
| 12 | 1549.88 | 1038.95 | 2.62 | 1.7596 | 1546- 1557 | 938.00 | 602.00 (\pm 35.69) | Cs-134 |
| 13 | 1671.60 | 1120.81 | 2.78 | 1.8686 | 1668- 1680 | 544.00 | 212.50 (\pm 29.59) | Bi-214 |
| 14 | 1742.39 | 1168.42 | 3.49 | 2.3437 | 1736- 1747 | 1276.00 | 1014.00 (\pm 39.22) | |
| 15 | 2035.52 | 1365.55 | 3.69 | 2.4840 | 2030- 2043 | 1728.00 | 1620.67 (\pm 42.84) | Cs-134 |
| 16 | 2177.76 | 1461.22 | 3.52 | 2.3693 | 2171- 2184 | 1846.00 | 1778.33 (\pm 43.75) | K - 40 |
| 17 | 2628.86 | 1764.60 | 4.76 | 3.2013 | 2623- 2636 | 188.00 | 162.33 (\pm 14.62) | Bi-214 |
| 18 | 3891.45 | 2613.72 | 5.33 | 3.5844 | 3880- 3899 | 252.00 | 252.00 (\pm 15.87) | |

図 95 商工施設 B 屋内 in-situ 測定による γ 線スペクトルのピーク情報

山木屋地区商工施設B(屋外)での測定 測定日時: H24/2/24 9:21~

Filename: s2241.cap 測定時間 3600 sec

| E (keV) | 計数値 net | 換算係数 | | 測定結果 | | 核種名 | Error | | |
|---------|------------|---------|---------|---------------------------|-------|--------|--------|---------------------------|-------|
| | | Factor1 | Factor2 | Ci/km ² , Ba/g | nGy/h | | ± | Ci/km ² , Ba/g | nGy/h |
| 569.3 | 29350 | 2.85 | 0.0174 | 2.861 | 468.6 | | 258.56 | 0.0252 | 4.13 |
| 604.7 | 195595 | 17.4 | 0.106 | 3.123 | 512.6 | | 486.4 | 0.0078 | 1.27 |
| 662 | 211641 | 14 | 0.219 | 4.199 | 268.4 | Cs-137 | 494.11 | 0.0096 | 0.61 |
| 795.85 | 146785 | 12.6 | 0.0771 | 3.236 | 528.8 | Cs-134 | 394.1 | 0.0087 | 1.42 |
| 1460 | 3703 | 2.02 | 0.04852 | 0.509 | 21.2 | K-40 | 65.99 | 0.0091 | 0.38 |
| 1764 | 265 | 2.85 | 0.00617 | 0.026 | 11.9 | U-238 | 20.08 | 0.0020 | 0.90 |
| 2614 | 675 | 5.48 | 0.00908 | 0.034 | 20.6 | Th-232 | 27.29 | 0.0014 | 0.83 |

| | | kBq/m ² , Ba/g | nGy/h | TTL (nGy/h) | Err (kBq/m ² , Ba/g) |
|------|--------|---------------------------|-------|-------------|---------------------------------|
| 天然核種 | K-40 | 0.509 | 21.2 | 53.8 | 0.0091 |
| | U-238 | 0.026 | 11.9 | | 0.0020 |
| | Th-232 | 0.034 | 20.6 | | 0.0014 |
| 人工核種 | Cs-137 | 155.37 | 268.4 | 797.3 | 0.36 |
| | Cs-134 | 119.73 | 528.8 | | 0.32 |

in-situ 0.851 μGy/h

サーベイメータでの測定

TCS-171 1.00 μGy/h

図 96 商工施設 B 屋外 in-situ 測定による空間線量率

山木屋地区文教施設B(屋内)での測定 測定日時: H24/2/24 10:46~

Filename: s2242.cap 測定時間 3600 sec

| E (keV) | 計数値 net | 換算係数 | | 測定結果 | | 核種名 | Error | | |
|---------|------------|---------|---------|---------------------------|-------|--------|--------|---------------------------|-------|
| | | Factor1 | Factor2 | Ci/km ² , Ba/g | nGy/h | | ± | Ci/km ² , Ba/g | nGy/h |
| 569.3 | 10303 | 2.85 | 0.0174 | 1.004 | 164.5 | | 164.2 | 0.0160 | 2.62 |
| 604.7 | 70334 | 17.4 | 0.106 | 1.123 | 184.3 | | 298.77 | 0.0048 | 0.78 |
| 662 | 78467 | 14 | 0.219 | 1.557 | 99.5 | Cs-137 | 297.31 | 0.0059 | 0.38 |
| 795.85 | 55539 | 12.6 | 0.0771 | 1.224 | 200.1 | Cs-134 | 243.9 | 0.0054 | 0.88 |
| 1460 | 1782 | 2.02 | 0.04852 | 0.245 | 10.2 | K-40 | 43.78 | 0.0060 | 0.25 |
| 1764 | 162 | 2.85 | 0.00617 | 0.016 | 7.3 | U-238 | 14.71 | 0.0014 | 0.66 |
| 2614 | 245 | 5.48 | 0.00908 | 0.012 | 7.5 | Th-232 | 16.02 | 0.0008 | 0.49 |

| | | kBq/m ² , Ba/g | nGy/h | TTL (nGy/h) | Err (kBq/m ² , Ba/g) |
|------|--------|---------------------------|-------|-------------|---------------------------------|
| 天然核種 | K-40 | 0.245 | 10.2 | 25.0 | 0.0060 |
| | U-238 | 0.016 | 7.3 | | 0.0014 |
| | Th-232 | 0.012 | 7.5 | | 0.0008 |
| 人工核種 | Cs-137 | 57.60 | 99.5 | 299.6 | 0.22 |
| | Cs-134 | 45.30 | 200.1 | | 0.20 |

in-situ 0.325 μGy/h

サーベイメータでの測定

TCS-171 0.45 μGy/h

図 97 商工施設 B 屋内 in-situ 測定による空間線量率